

М. В. ТОПЧИШВИЛИ

СТРАТИГРАФИЯ И ФАУНА
НИЖНЕЮРСКИХ
ОТЛОЖЕНИЙ
ДЗИРУЛЬСКОГО
МАССИВА

«МЕЦНИЕРЕБА»
ТБИЛИСИ - 1969

АКАДЕМИЯ НАУК ГРУЗИНСКОЙ ССР
ГЕОЛОГИЧЕСКИЙ ИНСТИТУТ

Труды, новая серия, вып. 21

М. В. ТОПЧИШВИЛИ

**СТРАТИГРАФИЯ И ФАУНА НИЖНЕЮРСКИХ
ОТЛОЖЕНИЙ ДЗИРУЛЬСКОГО МАССИВА**

ИЗДАТЕЛЬСТВО «МЕЦНИРЕБА»
ТБИЛИСИ
1969

В работе описываются наиболее хорошо охарактеризованные фауной разрезы, в которых приводятся данные о характере залегания нижнеюрских отложений, контакте с нижележащими и покрывающими осадками, литологическом составе, мощностях и комплексах фауны. Здесь же дается характеристика отложений по ярусам.

Анализ полученных результатов позволил восстановить палеогеографическую обстановку Дзирильского массива в раннеюрское время.

В работе также дается описание фауны головоногих, группирующихся в 13 семействах.

Редактор В. И. Зесашвили

2—9—3

19—69 мест.

ВВЕДЕНИЕ

Исследованный район расположен на периферии приподнятой части кристаллического субстрата Грузинской глыбы. С запада и востока он ограничен Колхидской и Картлийской равнинами, с юга — Ахалцихско-Имеретинским, а с севера — Рачинским хребтом.

Первые сведения о нижнеюрских отложениях интересующего нас района встречаются в трудах Г. В. Абиха (Abich, 1865), Э. Фавра (Favre, 1875), Л. Ф. Бацевича (1877), А. И. Сорокина и С. Е. Симоновича (1885), где красные известняки без достаточных оснований были отнесены к верхней юре. Немного позже М. Неймайру и В. Улигу (Neumayr und Uhlig, 1892), изучившим фауну, собранную Г. В. Абихом из красных известняков средней части долины Дзирилы, удалось впервые установить здесь наличие нижней юры. В 1933 г. нижнеюрский возраст рассматриваемых отложений был подтвержден П. Д. Гамкрелидзе и С. С. Чихелидзе. Впоследствии вопросам палеонтологии и стратиграфии нижнеюрских отложений был посвящен ряд работ, среди которых необходимо отметить труды А. И. Джанелидзе (1946), И. Р. Каходзе (1947, 1948) и К. Ш. Нуцубидзе (1949, 1951, 1962).

Несмотря на такую большую работу немалого числа исследователей, изучение нижней юры Дзирильского массива все же не соответствовало современному уровню стратиграфии. Богатая фауна, известная из этих отложений, собиралась не систематически, и поэтому не давала возможности точно определить их возраст. В результате датирование отдельных горизонтов не было основано палеонтологически, а стратиграфическая схема расчленения нижней юры требовала дальнейшей детализации.

В период 1961—1963 гг. автору пришлось исследовать нижнеюрские отложения Дзирульского массива. Постойные сборы довольно богатой фауны позволили впервые палеонтологически охарактеризовать кварцево-слюдистые песчаники юго-западной периферии массива, установить синемюрский ярус и карикский подъярус, а в нижнем тоаре отметить наличие зоны *Harpoceras falcifer* и в то же время на основании новых фаунистических данных подтвердить присутствие отмеченных ранее зон и ярусов нижней юры. Наконец, новые результаты стратиграфического исследования несколько изменили существующее представление о палеогеографической обстановке Дзирульского массива в раннеюрское время.

В палеонтологической части работы дается описание синемурских, плинсбахских, тоарских и нижнеааленских форм. Всего определено 97 видов фауны моллюсков, из которых описываются только представители головоногих (47 форм). Некоторые из них являются новыми для Грузии, а два—вообще новыми.

Оригиналы изученного палеонтологического материала хранятся в монографическом музее Геологического ин-та АН Грузинской ССР, номер коллекции—70.

СТРАТИГРАФИЯ

ОПИСАНИЕ РАЗРЕЗОВ

Нижнеюрские отложения Дзирульского массива распространены в виде прерывистых полос (рис. 1). Их выходы приурочены к юго-западной (I), южной (II), восточной (III), северо-восточной (IV) и северной (V) перифериям массива.

В целях изучения нижнеюрских отложений нами было составлено несколько десятков стратиграфических разрезов. Особого внимания заслуживают нижеописанные разрезы, из которых самые полные и фаунистически хорошо охарактеризованные встречаются на юго-западной части массива. Описание разрезов начинаем именно с этого участка.

Но прежде чем обратиться к поставленной задаче, необходимо отметить, что в данной работе принята стратиграфическая схема, рекомендованная Постоянной стратиграфической комиссией

по юрским отложениям МСК СССР (1963 г.). Исключение составляет ааленский ярус, включение которого в нижний отдел юрской системы нам кажется более приемлемым. Что же касается его

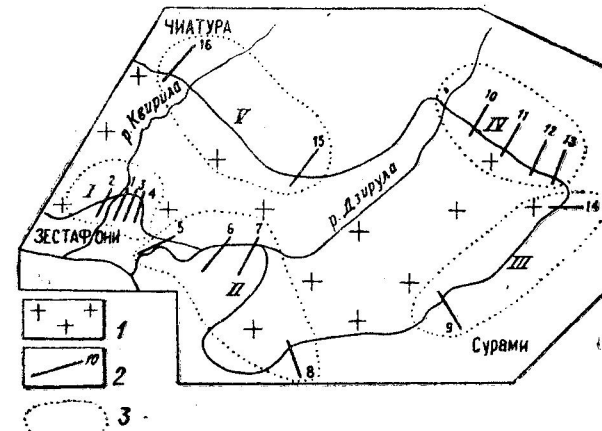


Рис. 1. Обзорная схема района: 1—кристаллический массив; 2—расположение разрезов; 3—границы периферии.

зонального расчленения, то мы придерживаемся точки зрения Э. Ога, и зону *Dumortieria pseudoradiosa* рассматриваем в ааленском ярусе.

Схема подразделения нижнеюрских отложений Дзирульского массива

Система	Отдел	Ярус	Подъярус	Зона
Ю р ск а я	нижний	ааленский	верхний	<i>Leioceras opalinum</i>
			нижний	<i>Dumortieria pseudoradiosa</i>
		тоарский	верхний	<i>Pseudogrammoceras fallaciosum</i>
			средний	<i>Hildoceras bifrons</i>
		плинсбах-ский	нижний	<i>Harpoceras falcifer</i>
			верхний (домер)	<i>Pleuroceras spinatum</i>
		синемюрский	нижний (карикс)	<i>Amaltheus margaritatus</i>
			верхний (лотаринг)	
		геттингский	нижний	

Юго-западная и южная периферии

1. Разрез по ущелью р. Квирилы

На правом берегу р. Квирилы, вдоль железнодорожной полотна, около с. Мартотубани, на нижние туффиты (с двухметровым перерывом в обнажении) трангрессивно налегают (рис. 2):

- J_{1s}* 1. Бурые алевритовые кварцево-слюдистые песчаники с растительными остатками. В основании пачки собраны *Spiriferina* c f. *walcotti* (Sow.), *Pholadomya* c f. *idea* d'Orb., *Pleuromya* sp., *Pleurotomaria* sp., *Arnioceras ceratitoides mexicanum* Erb., *Vermiceras* sp. Стратиграфически выше в этой же пачке нами найдены *Spiriferina* sp., *Pinna* sp., *Aequipecten priscus* (Schloeth.), *Microderoceras* sp. ind. 33—35 м.

Выше следует пластовая жила диорита-порфирита мощностью до 50 м, а затем

2. Толстослоистые кварцево-слюдистые песчаники бурого цвета. В пачке встречаются *Pinna* sp., *Aequipecten* c f. *priscus* (Schloeth.) и *Pleuromya* sp. Аз. пад. сл. ЮЗ—250°, ↗ 15—20°.

- J_{1pl1}* 3. Толстослоистые зеленовато-серые известняки, содержащие *Zeilleria subdigona* (Opp.) и *Z. mutabilis* (Opp.).

Далее следует пластовая жила диорита-порфирита мощностью 45 м, а затем

4. Чередование фиолетовых, местами зеленовато-серых песчанистых кластических известняков с мергелистыми породами. Известняки богаты остатками криноидей и губок. Пачка содержит следующую фауну: „*Rhynchonella*“ *plicatissima* Quenst., *Lobothyris punctata* (Sow.), *Zeilleria mutabilis* (Opp.), *Chlamys* sp., *Acanthopleuroceras* sp. и неопределимые остатки белемнитов.

5. Мергелистые породы зеленоватого цвета с прослойями фиолетовых кластических известняков, богатых остатками криноидей.

- J_{1pl2}* 6. Те же породы. Низы пачки содержат *Calliphylloceras emeryi* (Bett.). 6—8 м.

7. Красные с фиолетовым оттенком мраморовидные известняки с богатой фауной *Juraphyllites libertus* (Gemm.), J. sp., *Phylloceras bonarelli* Bett., *Ph. hebertinum* (Reyn.), *Calliphylloceras emeryi* (Bett.), *Amaltheus margaritatus* Montf., *Harpoceras isseli* (Fuc.). 7—8 м.

- J_{1t1}* 8. Светло-красные мраморовидные известняки с фауной *Dactylioceras* sp. и *Harpoceras falcifer* (Sow.). 2,5 м
- J_{1t2}* 9. Те же горизонты с богатой фауной *Nautilus* sp., *Coeloceras raquinianum* (d'Orb.), *P. ronoceras subarmatum* (Y. et B.), *Hildoceras bifrons* (Brug.), *Phymatoceras comense evoluta* (Renz), *Ph. c f. tirolense* (Haueg.), *Praehaploceras zwieselei* Monest. 2,5 м
- J_{1t3}* 10. Красные мраморовидные известняки со следующей фауной: *Mytiloides gryphoides* (Schloeth.), *M. cinctus* (Goldf.), *Calliphylloceras thevenini* (Monest.), *C. avayronnense* (Men.), *C. nilssoni* (Heb.), *Lytoceras aff. sepositum* Men., *L. Kvirilensis* Thoplich., *L. sp.*, *Polyplectus* c f. *discooides* (Ziet.), *Grammoceras thouarsense* (d'Orb.), *G. quadratum* (Haug.), *G. saemanni* (Dum.), *Pseudogrammoceras bingmanni* (Denk.), *Mesotethis tripartita* (Schloeth.). 3 м
11. Толстослоистые красные с розоватым оттенком мраморовидные известняки. Встречены „*Rhynchonella*“ *striata* Noutz., *Mytiloides amygdaloïdes* (Goldf.), *M. quenstedti* Pčel., *M. dzirulensis* Kakh., *M. gryphoides* (Schloeth.), *Calliphylloceras nilssoni* (Heb.), *C. dzirulensis* (Jan.), *C. imereticum* (Neum.) и *Polyplectus* c f. *subplanatus* (Opp.). 2—2,5 м
- J_{1a1}* 12. Слоистые красные мраморовидные известняки со следующей фауной: *Mytiloides amygdaloïdes* (Goldf.), *M. quenstedti* Pčel., *Modiolus giganteus* (Quenst.), *Calliphylloceras nilssoni* (Heb.), *Tatrophylloceras tetricum* (Pusch), *Hammatoferas* c f. *tenuinsigne* Vač., *H. (Erycites) fallax* (Benn.). 5 м
13. Трангрессивно расположенные туфогенные породы байоса, которые также включают нижнеюрские отложения, срезаны кварцевыми песчаниками миоценена.

Из форм, встреченных в пачке 1, *Spiriferina* c f. *walcotti* (Sow.) и *Pholadomya* c f. *idea* d'Orb. характеризуются широким вертикальным распространением. Первая в Западной Европе известна с нижнего синемюра до средней части нижней юры, вторая же достигает и нижнего байоса. *Vermiceras* sp. встречается во всем синемюре, а *Arnioceras ceratitoides mexicanum* Erb. характерен для нижнего синемюра. *Aequipecten priscus* (Schloeth.) распространен в Западной Европе и на Северном Кавказе в нижней и средней частях нижней юры, поэтому мы не пользуемся этой формой для точного определения возраста. Что же касается *Microderoceras*, то этот род характерен для синемюра (лотаринг).

Исходя из вышесказанного, пачка 1 относится к нижнему и верхнему синемюру (лотаринг).

Фауна, обнаруженная в пачке 2, не может быть использована для стратиграфических выводов, поэтому ее условно, по литологическому сходству с нижележащими отложениями также относим к верхнему синемиору (лотаринг). Фауна пачек 3 и 4 датирует их кариксом. На это указывает и характерный для нижнего плинсбаха род *Acanthopleuroceras* и *Zeilleria subdigona* (Opp.), известная в Западной Европе, на Северном Кавказе и в Грузии в пределах плинсбахского яруса. Пачка 5 ископаемой фауны не содержит, но по аналогии с последующим разрезом по ущелью р. Нарулы ее условно следует отнести также

к кариксю. Пачки 6 и 7 на основании найденной в них фауны *Calliphylloceras emeryi* (Bett.), *Juraphyllites libertus* (Gemm.) и *Harpoceras isseli* (Fuc.) относятся к домеру, т. к. возраст этих видов в Западной Европе, Грузии не выходит за пределы домера. В этих же отложениях встречается *Amaltheus margaritatus* Montf.—руководящая форма для одноименной зоны домера. Пачка 8 относится к нижнему тоару, на что указывает найденный в ней *Harpoceras falcifer* (Sow.)—характерный для нижней зоны тоара вид. Пачка 9, кроме *Coeloceras raquinianum* (d'Orb.), встречающегося в нижнем и верхнем тоаре Западной Европы, содержит и характерные для среднего тоара формы—*Peronoceras subarmatum* (Y. et B.), *Hildoceras bifrons* (Brug.), *Phymatoceras comense evoluta* (Renz), *Ph. tirolense* (Haug), *Praehaploceras zwieselei* Monest. Исходя из этого комплекса фауны, присутствие в этой пачке среднетоарской зоны *Hildoceras bifrons* можно считать несомненным. В пачках 10—11 обнаружены верхнетоарские *Calliphylloceras thevenini* (Monest.), *Polyplectus c.f. discoides* (Ziet.), *P. c.f. subplanatus* (Opp.), *Grammoceras thouarsense* (d'Orb.), *G. quadratum* (Haug), *G. saemanni* (Dum.), *Pseudogrammoceras bingmanni* (Denk.), доказывающие наличие в данной пачке зоны *Pseudogrammoceras fallaciosum* верхнего тоара. Из фауны, содержащейся в пачке 12, в стратиграфическом отношении самыми интересными являются *Tatrophylloceras taticum* (Pusch), *Hammatooceras tenuinsigne* Vac., известные из нижнего и верхнего аалена, и *N. (Erycites) fallax* (Benn.) ограниченный своим вертикальным распространением нижнеааленской зоной *Licoceras opalinum*.

В красных известняках, обнажающихся в окрестностях с. Сагвина—Санахшире, на правом берегу ущелья р. Квирилы, нами были собраны (сборы, ввиду отсутствия хороших обнажений не были послойными) формы, встречающиеся в верхней части нижней юры: *M. dzirulensis minimus* Kakh., *Calliphylloceras nilssonii* (Heb.), *C. dzirulensis* (Djan.), а также среднетоарские *Thysanoceras cornucopiae guilhomardensis* (Monest.), *Peronoceras c.f. subarmatum* (Y. et B.), *Hildoceras bifrons* (Brug.), *Praehaploceras zwieselei* Monest., верхнетоарские *Polyplectus c.f. subplanatus* (Opp.), *Grammoceras c.f. thouarsense* (d'Orb.) и ааленские *Tatrophylloceras taticum* (Pusch) и *Lytoceras vacaki* Thopatch.

К. Ш. Нуцубидзе (1966) из красных известняков указанного участка определила довольно богатую фауну: *Phylloceras heberlinum* (Reyn.), встречающийся в домере Западной Европы и Грузии, тоарский *Phymatoceras comense multicosta* (Renz) и *Dumortieria gundershofensis* Haug, характерный для нижнего аалена.

Анализируя вышеприведенные списки фауны, можно заключить, что в красных известняках окрестностей с. Сагвина—Санахшире, наряду с домером, средним и верхним тоаром (зоны *Hildoceras bifrons* и *Pseudogrammoceras fallaciosum*), присутствует и нижний аален.

2. Разрез по ущелью р. Нарулы

Р. Нарула впадает в р. Квирилу у ст. Шэрпани. В трех километрах от места слияния этих рек, в окрестностях села Мартот-

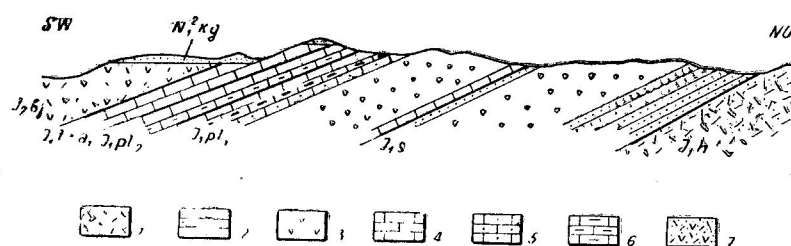


Рис. 2. Схематический разрез по р. Квириле: 1—кварц-порфировые и альбитофоровые пирокластолиты; 2—кварцевые и слюдистые песчаники; 3—порфирит; 4—известники; 5—карбонатные песчаники; 6—мергели; 7—порфиритовые пирокластолиты.

к кариксю. Пачки 6 и 7 на основании найденной в них фауны *Calliphylloceras emeryi* (Bett.), *Juraphyllites libertus* (Gemm.) и *Harpoceras isseli* (Fuc.) относятся к домеру, т. к. возраст этих видов в Западной Европе, Грузии не выходит за пределы домера. В этих же отложениях встречается *Amaltheus margaritatus* Montf.—руководящая форма для одноименной зоны домера. Пачка 8 относится к нижнему тоару, на что указывает найденный в ней *Harpoceras falcifer* (Sow.)—характерный для нижней зоны тоара вид. Пачка 9, кроме *Coeloceras raquinianum* (d'Orb.), встречающегося в нижнем и верхнем тоаре Западной Европы, содержит и характерные для среднего тоара формы—*Peronoceras subarmatum* (Y. et B.), *Hildoceras bifrons* (Brug.), *Phymatoceras comense evoluta* (Renz), *Ph. tirolense* (Haug), *Praehaploceras zwieselei* Monest. Исходя из этого комплекса фауны, присутствие в этой пачке среднетоарской зоны *Hildoceras bifrons* можно

убани, над нижними туффитами (аз. пад. сл. ЮЗ—200—230° \Rightarrow 15—20°) трансгрессивно залегают:

- J_{1s}* 1. Толстослоистые желтовато-белые крупнозернистые аркозовые песчаники с линзами конгломератов, сложенных из окатанного или слабо окатанного щебнистого материала кристаллического массива и нижних туффитов. В 5 метрах от подошвы пачки найдена *Phioladomya* s p. Аз. пад. сл. ЮЗ—220°, \Rightarrow 15—20°.
2. Беловато-серые мелкозернистые кварцевые песчаники с растительными остатками. Найдена *Pleurotoma* s p.
3. Слоистые алевритовые кварцево-слюдистые песчаники бурого цвета с растительным детритусом. 25—30 м
- J_{1pl1}* 4. Пачка среднеслоистых зеленовато-серых известковистых песчаников и песчанистых кластических известняков. Здесь найдены маленькие неопределимые аммониты.
5. Фиолетовые, местами сероватые мергелистые породы с редкими прослойками кластических известняков, богатых остатками криноидей и губок. В этой пачке определена следующая фауна: „*Rhynchonella*“ *plicatissima* Quenst., *Spiriferina* cf. *alpina* Opp., *Lobothyris punctata* (Sow.) и *Lima punctata* (Sow.). В верхней части данной толщи собраны *Juraphyllites planispira* (Reyn.), *Phylloceras aff. tenuistriatum* Men., *Calliphylloceras* s p. и *Polymorphites* s p. ind.
- J_{1pl2}* 6. Снова пачка мергелистых пород и кластических известняков. Найден *Calliphylloceras emeryi* (Bett.). Выше следует пластовая жила порfirита мощностью 4—5 м, а далее опять
7. Породы, аналогичные пачке 6, с фауной плохой сохранности: *Phylloceras* s p., *Calliphylloceras* s p.
8. Красные мраморовидные известняки с *Calliphylloceras emeryi* (Bett.), *Amaltheus subnodosus* (Y. et B.), *A. subnodosus howarthi* Steph.
- J_{1t}* 9. Аналогичные породы. Встречаются *Mytiloides amygdaloides* (Goldf.) и *Calliphylloceras dzirulensis* (Djan.). 3,5—4 м

Выше следуют трансгрессивно расположенные байосские отложения.

Пачки 1—3 не содержат руководящих форм, но по аналогии с предыдущим разрезом по ущелью р. Квирилы их следует отнести к синемюру. Аммониты, найденные в пачке 4, из-за плохой сохранности не поддаются определению, поэтому эта пачка условно, по своему стратиграфическому положению, относится к кариксу. Это предположение в некоторой степени подтверждается находкой по р. Мачарулы (см. ниже), в сходных отложениях и на том же стратиграфическом уровне, плинсбахской фауны. В пачке 5 найдена „*Rhynchonella*“ *plicatissima*

8 м
5 м
10 м
26 м
5 м
3 м
4 м

Quenst., которая в Западной Европе встречается в нижней и средней части нижней юры. *Spiriferina alpina* Opp. распространена в нижней юре, включая ее верхнюю часть. *Lima punctata* (Sow.), так же как и *Juraphyllites planispira* (Reyn.), в Западной Европе известна из нижней и средней части нижней юры, а в Грузии—только из средней. Здесь же обнаружен характерный для нижнего плинсбаха род *Polymorphites*. Пачки 6, 7 и 8 датируются домером по найденным в них *Calliphylloceras emeryi* (Bett.), *Amaltheus subnodosus* (Y. et B.) и *A. subnodosus howarthi* Steph. Последние две формы являются руководящими для зоны *Amaltheus margaritatus*. Пачка 9 по содержащейся фауне и стратиграфическому положению (следует за домерскими отложениями) принадлежит к тоару. Что же касается аалена, то он в описанном разрезе, по-видимому, отсутствует.

3. Разрез в окрестностях с. Циплаваке

Несколько западнее с. Циплаваке у начала маленьского оврага, там где проходит автомобильная дорога, отложениями нижней юры сложено несколько мелких складок.

В северном крыле одной из синклинали над нижними туффитами трансгрессивно залегают:

- J_{1s}* 1. Слоистые крупнозернистые аркозовые песчаники белого, местами розоватого цвета, с частыми включениями маленьких галек. Эта пачка в контакте с нижними туффитами образует небольшую флексуру. Аз. пад. сл. ЮЗ—240°, \Rightarrow 45—50°. 6 м
2. Мелкозернистые кварцево-слюдистые песчаники бурого цвета. В 20—25 м от подошвы взяты „*Rhynchonella*“ cf. *variabilis* Dav., *Spiriferina* s p., а также обломок гастроподы. 45—50 м
- J_{1pl1}* 3. Чередование фиолетовых кластических известняков с известковистыми слюдистыми песчаниками. Найден неопределенный блемнит. 10 м
4. Чередование мергелистых пород фиолетового цвета с тонкослоистыми кластическими известняками, богатыми губками и криноидеями. Пачка содержит следующую фауну: *Spiriferina alpina* Opp., *Lobothyris* cf. *punctata* (Sow.), *Chlamys* s p., *Juraphyllites planispira* (Reyn.), *Phylloceras* aff. *tenuistriatum* Men. Аз. пад. сл. ЮЗ—250°, \Rightarrow 15—20°. 8—10 м

Фауна, взятая из пачек 1 и 2, непригодна для определения возраста содержащих пород, но если принять во внимание синемюрскую фауну, найденную в аналогичных слоях по ущелью р. Квирилы, то тогда и эти пачки можно датировать как синемюр.

Пачки 3,4 по содержащейся в них фауне, стратиграфическому положению, а также по аналогии с разрезами в ущельях рек Квирилы—Нарулы—датируются нижним плинсбахом (карик).

Из красных известняков, обнажающихся по левому склону оврага, собрана довольно разнообразная фауна: *Mytiloides dzirulensis minimus* Kak h., *M. amygdaloides* (Gold f.), *Juraphyllites* sp., *Phylloceras hebertinum* (Reyn.), *Calliphylloceras dzirulensis* (Djan.), *Narpoceras isseli* (Fuc.).

По этой фауне, отмеченной в породах, можно выделить домер и верхнюю часть нижней юры.

4. Разрез на правом берегу ущелья р. Глиновисгеле

Выходы красных известняков хорошо прослеживаются по правому склону ущелья р. Глиновисгеле, которая протекает восточнее с. Циплаваке и соединяется с р. Дзирулой у железнодорожной платформы с. Цеви.

В развитых здесь красных мраморовидных известняках выделяются следующие пачки:

- | | | |
|-------------------------------------|-----------------------------------------------------------------------------------------------------------------------------------------------------------------------------------------------------------------------------------------------------------------------------------------------------------------------|-------|
| <i>J_{1pl}</i> ₂ | 1. Мраморовидные известняки красно-фиолетового цвета с „ <i>Rhynchonella</i> “ c f. <i>tripartita</i> Phil., <i>Mytiloides</i> c f. <i>falgeri</i> (Esch.), <i>Phylloceras</i> c f. <i>hebertinum</i> (Reyn.) и <i>Narpoceras isseli</i> Fuc. | 7 м |
| <i>J_{1t}</i> ₁ | 2. Красные мраморовидные известняки, содержащие <i>Mytiloides dzirulensis</i> Kak h., <i>M. samebensis</i> Kak h., <i>M. fuscus</i> (Quenst.), <i>Calliphylloceras</i> sp. | 3,5 м |
| <i>J_{1t}</i> ₂ | 3. Те же породы. Найдены: <i>Hildoceras bifrons</i> (Brug.), <i>Phymatoceras</i> sp. и <i>Praechaploceras zwieselei</i> Monest. | 3 м |
| <i>J_{1t}</i> ₃ | 4. Схожие породы с довольно богатой фауной: <i>Mytiloceramus liasicus</i> Kak h., <i>Mytiloides dzirulensis minimus</i> Kak h., <i>M. cinctus</i> (Gold f.), <i>M. amygdaloides</i> (Gold f.), <i>Calliphylloceras nilssonii</i> (Heb.), <i>Polyplectus subplanatus</i> (Opp.) и <i>Grammoceras quadratum</i> (Haug). | 3,5 м |
| <i>J_{1a}</i> ₁ | 5. Известняки темно-красного цвета, из которых взяты <i>Mytiloceramus a f f. liasicus</i> Kak h., <i>Mytiloides amygdaloides</i> (Gold f.), <i>M. dubius</i> (Sow.), <i>Calliphylloceras dzirulensis</i> (Djan.), <i>Tatrophylloceras taticum</i> (Pusch). | 3 м |
| <i>N²kg</i> | 6. Трансгрессивно расположенные караганские спаниодонтелловые кварцевые песчаники. | |

В пачке 1 найден *Mytiloides falgeri* (Esch.), который в Грузии известен в домере, а в Европе—в верхней части нижней юры. В этой же пачке имеются *Phylloceras c f. hebertinum* (Reyn.)

и *Narpoceras isseli* Fuc., указывающие на домерский возраст имеющих пород. Fauna, имеющаяся в пачке 2, не дает возможности точно определить возраст, но по стратиграфическому положению эта пачка должна быть нижнетоарского возраста. Формы, содержащиеся в пачке 3, являются руководящими для зоны *Hildoceras bifrons*—среднего тоара. Пачка 4 содержит формы, имеющие как широкое вертикальное распространение, так и виды *Polyplectus subplanatus* (Opp.) и *Grammoceras quadratum* (Haug), характеризующие верхнетоарскую зону *Pseudogrammoceras fallaciosum*. Поэтому упомянутая пачка датируется верхним тоаром. Пачка 5 по комплексу содержащейся в ней фауны должна быть нижнеааленского возраста.

5. Разрез по ущельям рр. Дзирулы и Мачарулы

Р. Мачарула является правым притоком р. Дзирулы. У слияния этих рек, вблизи с. Шроша обнажаются нижние горизонты нижней юры, верхние же прослеживаются по левому берегу р. Дзирулы. В этом разрезе, на нижних туффитах, мощность которых исчисляется 25—30 м (аз. пад. сл. С—180°, 45°), трансгрессивно расположены (рис. 3):

- | | | |
|-------------------------------------|-------------------------------------------------------------------------------------------------------------------------------------------------------------------------------------------------------------------------------------------------------------------------------------------------------------------------------------------------|---------|
| <i>J_{1s}</i> | 1. Конгломераты и крупнозернистые кварцевые песчаники с растительными остатками. Составной частью конгломератов является окатанный материал кварц-порфиров, туффитов и кристаллических пород. | 8 м |
| | 2. Чередование слоистых и массивных серовато-белых крупно- и среднезернистых аркозовых песчаников. Изредка встречаются пропластки тонкослоистых глин. | 20—25 м |
| | 3. Слоистые мелкозернистые слюдистые песчаники бурого цвета, богатые растительным детритусом. | 27—30 м |
| | 4. Серые, местами красноватые кварцево-слюдистые песчаники. | 5—6 м |
| <i>J_{1pl}</i> ₁ | 5. Известковистые песчаники красного цвета с частыми вкраплениями зерен гематита. Найдены <i>Zeilleria subdigona</i> (Opp.) и <i>Z. c f. mutabilis</i> (Opp.).
Перерыв в обнажении. | 3 м |
| | 6. Слоистые известняки красного цвета с криноидиями. Найдена следующая фауна: „ <i>Rhynchonella</i> “ <i>plicatissima</i> Quenst., „ <i>R. variabilis</i> “ Dav., <i>Lobothyris punctata</i> (Sow.), <i>Zeilleria mutabilis</i> (Opp.), <i>Z. subdigona</i> (Opp.), <i>Juraphyllites planispira</i> (Reyn.), <i>Phylloceras bonarelli</i> Bett. | 2 м |
| | 7. Чередование красных и сероватых мергелистых глин. Местами встречаются тонко- и толстослоистые серовато-белые пелито- | 3—4 м |

морфные известняки с фауной брахиопод и белемнитов плохой сохранности. Аз. пад. сл. ЮЗ—200°, \angle 70°.

8. Толстослоистые фиолетово-серые брекчиеидные известняки с *Lobothyris punctata* (Sow.) и *Zeilleria subdigona* (Opp.).
Перерыв в обнажении.



Рис. 3. Ущелье р. Мачарулы; контакт с гемюрских конгломератов с нижними туффитами.

*J_{1pl}*₂ 9. Чередование темно-красных, местами серых мергелистых пород с средне- и толстослоистыми брекчиеидными известняками того же цвета. Найдены *Juraphyllites libertus* (Gemm.), *Phylloceras pergesetus* Monest., *Ph. aff. hebertinum* (Reyn.) и обломки неопределенной фауны. Аз. пад. сл. ЮЗ—220°, \angle 60—65°. 7 м

10. Те же породы с фауной. „*Rhynchonella borissiaki* Mois., *Spiriferina alpina* Opp., *Juraphyllites libertus* (Gemm.), *Phyllo-*

- ceras
- s p., *Amaltheus c. f. subnodosus* (Y. et B.), *Arieticeras* s p. и *Passaloteuthis apici curvata* (Bain.). 10 м
11. Сильно смятые, темно-красные трещиноватые известняки. Здесь взяты неопределенные двусторонки и аммониты. В верхней части пачки найден *Mytiloides amygdaloides* (Goldf.). 8 м
12. Толстослоистые мраморовидные известняки с *Mytiloceramus aff. liasicus* Kakh., *Mytiloides gryphoides* (Schloth.), *M. quenstedti* Pčel., *M. amygdaloides* (Goldf.), *Calliphylloceras nilssoni* (Heb.), *C. dzirulensis* (Djan.). 6,5 м
- J_{2bj}* 13. Порfirитовый покров с столбчатой отдельностью (рис. 4). 5 м
14. Туфогенные песчаники бурого цвета. В подошве найден *Mytiloides quenstedti* Pčel.



Рис. 4. Ущелье р. Дзирулы; 1—красные известняки тоара, 2—порfirитовый покров со столбчатой отдельностью (*J_{2bj}*).

Пачки 1—4 не содержат ископаемой фауны, но по аналогии с другими разрезами (рр. Квирила, Нарула) они должны

2. М. В. Топчишвили

считаться синемюрскими. По стратиграфическому положению содержанию фауны, которая в предыдущих разрезах встречается совместно с нижнеплисбахскими формами, пачки 5—8 относятся к караксу. В пачках 9—10 среди форм, имеющих широкое вертикальное распространение, встречаются также домерские *Juraphyllites libertus* (Gemm.), *Phylloceras perzetes* Monest. *Amaltheus* cf. *subnodosus* (Y. et B.). Здесь же найден *Passaloteuthis apicicurvata* (B. I. p.), встречающийся в Западной Европе, на Северном Кавказе и в Грузии во всей средней части нижней юры.

Исходя из вышесказанного, эти пачки нужно отнести к домерскому подъярусу. Фауна, указанная в пачках 11—12, недостаточна для точной стратиграфии, ибо она охватывает всю верхнюю часть нижней юры. Поэтому, принимая во внимание стратиграфическое положение пачек (расположены выше домерских слоев) и их малую мощность, мы относим данные пачки лишь к тоару, хотя не исключена возможность, что их верхняя часть содержит и нижний аален.

Возраст пачек 13—14 по их стратиграфическому положению и фациальному характеру определяется как байос.

На правом берегу р. Дзирулы, у т. н. Самебского моста, в байосской порfirитовой свите прослеживаются зеленовато-серые мергелистые породы и кластические известняки того же цвета. За последними следуют красные известняки (мощностью в несколько м), из которых А. И. Джанелидзе (1946) определил руководящие формы нижней зоны домера—*Amaltheus margaritatus* Montf., *A. margaritatus coronatus* (Quenst.), и верхней зоны—*Pleuroceras spinatum* (Brug.). В этой же пачке, в 1,5 м от подошвы, нами найдены *Spiriferina alpina falloti* Corroy, *Zeilleria subdigona* (Opp.), *Entolium demissum* (Phill.) и *Velopecten tenuidius* (Ziet.). В результате анализа вышеперечисленной фауны и по аналогии с другими разрезами, в красных известняках данного участка можно выделить домер, тоар и нижнеааленский подъярус.

И. Р. Каходзе (1948) дается описание нескольких форм из ущелья р. Дзирулы (Самеба): *Mytiloceramus liasicus* Kakh., *Mytiloides samebensis* Kakh.; *M. dzirulensis* Kakh., *M. tshalensis* Kakh. *M. fuscus* (Quenst.), *M. quenstedti* Pelsl. Все эти формы известны из верхней части нижней юры.

Таким образом, можно заключить, что у Самебского моста, в красных известняках становится возможным фаунистически выделить домерский подъярус и верхнюю часть нижней юры.

В окрестностях Шрошинского месторождения оgneупорных глин и карьера красных известняков, отложения нижней юры в основном представлены кварцево-слюдистыми песчаниками и красными мраморовидными известняками. Переход от песчаников к известнякам постепенный.

К. Ш. Нуцубидзе (1966) описывает из красных известняков указанных мест нижне- и среднетоарский *Coeloceras* cf. *taquinianni* (d' Ogb.), верхнетоарский *Hammatoeceras speciosum* Jan., встречающийся в нижнем аалене *Pleydellia aalense* (Ziet.) и ааленский *Hammatoeceras tenuinsigne* Vac.

Отсюда же нами собраны *Spiriferina möschi krimstoneroepkei* Mois., Sp. *alpina* Opp., Sp. *alpina falloti* Corroy, *Zeilleria subdigona* (Opp.), *Entolium demissum* (Phill.) и *Velopecten tenuidius* (Ziet.). В результате анализа вышеперечисленной фауны и по аналогии с другими разрезами, в красных известняках данного участка можно выделить домер, тоар и нижнеааленский подъярус.

6. Разрез в окрестностях с. Убиса

К югу от с. Убиса, примерно в двух км., нижнеюрские отложения опрокинуты на юг. Здесь имеется следующая последовательность:

- | | | |
|----------------------------------|--------------------------------------------------------------------------------------------------------------------------------------------------------------------------------------------------------------------------------|---------|
| 1. | 1. Кварцевые песчаники белого цвета. | 2 м |
| | 2. Мелкозернистые кварцево-слюдистые песчаники белого цвета с красноватым оттенком. Встречены остатки неопределенных брахиопод и двустворчатых. | 20—22 м |
| J ₁ / J ₂ | 3. Песчанистые органогенные богатые гематитом известняки темно-красного цвета. Найдены: <i>Spiriferina</i> cf. <i>walcotti</i> (Sow.), <i>Chlamys</i> cf. <i>substriata</i> (Roe m.), <i>Aequipecten</i> sp. и <i>Lima</i> sp. | 20—25 м |
| | Перерыв в обнажении. | 9 м |
| J ₂ / ?J ₃ | 4. Красные мраморовидные известняки. В 2 м от подошвы найдены „ <i>Rhynchonella</i> “ <i>triplicata</i> Phill., <i>Mytiloides</i> cf. <i>Salgeri</i> (Esch.). Аз. пад. сл. СВ—20—30°, ∠ 65—70°. | 9 м |
| | 5. Порfirитовая свита байоса (контакт с нижележащими слоями закрыт наносами). | |

Пачки 1—2 находятся на том же стратиграфическом уровне, что и слои в соседних разрезах, датированные синемуром.

Следовательно, данные пачки мы также можем отнести к этому ярусу. Взраст *Chlamys subsirata* (Roem.), взятый из пачки 3, плинсбахский. Вторая форма *Spiriferina walcotti* (Sow.), как уже было указано, не пригодна для точной датировки. Поэтому обращаясь к стратиграфическому методу и сравнивая эту пачку с соседними разрезами, надо считать ее стратиграфически эквивалентной породам, расположенным под красными известняками, а ее возраст определить нижнеплисбахским (карикс). По содержащейся фауне и стратиграфическому положению пачку 4 надо отнести к домерскому возрасту, хотя, возможно, ее верхние горизонты охватывают и верхнюю часть нижней юры.

7. Разрез по ущелью р. Чхриалетисгеле, в окрестностях с. Верхквилисчала

Река Чхриалетисгеле впадает в р. Дзирулу у с. Верхквилисчала. Здесь, недалеко от селения, там где упомянутая река разветвляется, обнажаются:

Pz 1. Граниты.

- J₁*²⁺² 2. Алевритовые известковистые кварцево-слюдистые песчаники зеленовато-бурого цвета. В местах контакта с массивом песчаники сильно смяты. 24 м
3. Среднесплоистые песчаники бурого цвета, богатые растительным детритусом. Найдены неопределенные белемниты. 15 м
4. Кластические песчанистые известняки зеленовато-бурого цвета. 4—5 м
- J₁t* 5. Красные органогенные известняки с *Nucleata aspasia* (Men.), *Inoceramus* cf. *lokiensis* Sesasch., *Mytiloides gryphoides* (Schloth.). *M. cinctus* (Goldf.), *M. quenstedti* Pels., *M. amygdaloides* (Goldf.), *M. dzirulensis minimus* Kakh., *Calliphylloceras* sp., *Lytoceras* sp. и *Mesoteuthis sulcata* (Quenst.). 12—13 м
- J_{1a1}* 6. Сходные породы, содержащие *Lima* sp., *Mytilloceramus* aff. *liaicus* Kakh., *Homaloteuthis subreviformis* (Liss.). 4—5 м
- J_{2bj}* 7. Трансгрессивно расположенные агломератовые туфы байоса.

Как видно из описания разреза, здесь не наблюдается той последовательности отложений, которая характерна для выше описанных разрезов Дзирульского массива. Это обстоятельство значительно затрудняет увязку 2—4 пачек с соседними разрезами. Поэтому мы эти пачки условно, исходя из их стратиграфического положения, датируем нижней и средней частью нижней юры.

Однако вполне возможно, что нижняя часть нижней юры выклинивается, и пачки охватывают только плинсбахский ярус.

тем более, что в скважине пачки 2, в известковистых песчаниках хорошо видны следы тектонического нарушения.

В пачке 5, совместно с видами, характеризующимся широким вертикальным распространением, встречается *Mesoteuthis sulcata* (Quenst.), который в Западной Европе известен из тоарских отложений. Исходя из этого, рассматриваемую пачку относим к этому ярусу. *Homaloteuthis subreviformis* (Liss.), взятый из пачки 6, во Франции не выходит за пределы нижнего аалена, а на Северном Кавказе встречается и в верхнем аалене.

Таким образом, стратиграфическое положение пачки 6 (между фаунистически охарактеризованными тоарским и байосским ярусами) и присутствие в ней этой формы спределено указывают на ее принадлежность к нижнему подъярусу аалена.

8. Разрез по ущелью р. Циагисгеле, западнее ст. Молити

Река Циагисгеле является правым притоком р. Чхримелы и впадает в нее между станциями Марелиси и Молити. Здесь имеется следующая последовательность:

- Pz* 1. Граниты, над которыми следуют трансгрессивно расположенные отложения нижней юры.
- J₁*¹⁺³ 2. Конгломераты (непосредственного контакта с массивом не видно). 89 см—1 м
3. Грубозернистые арковые песчаники бурого цвета. 3 м
4. Толстослоистые мелкозернистые арковые песчаники. Аз. пад. сл. Ю—180°, ↗ 50°. 14 м
5. Чередование слоистых, местами массивных, мелко- и крупнозернистых кварцевых песчаников желтовато-белого цвета. 7 м
6. Бурые алевритовые песчаники, богатые растительным детритусом. 35 м
Перерыв в обнажении.
7. Те же породы с линзами известковистых слюдистых песчаников. Отсюда определены *Mytiloides gryphoides* (Goldf.), *Pleurotula goldfussi* Roll. и обломки неопределенных брахионид. 20—23 м
8. Слоистые известняки светло- и темно-серого цвета. 10 м
Перерыв в обнажении.
9. Аналогичные породы. Аз. пад. сл. Ю—180—190°, ↗ 15—20°. 14 м
- Pz* 10. Тектонически приподнятые граниты. В местах соприкосновения хорошо видна тектоническая брекчия.

Второй выход известняков прослеживается на правом склоне ущелья р. Циагисгеле, в окрестностях молитского месторождения мрамора. Здесь известняки мраморизованы и имеют розоватый оттенок. Они включают в себя жесды кальцита. В них найден неопределенный до вида *Chlamys*.

Западнее балки Циагисгеле, по арабной дороге, ведущей к селу Чартали, в верхних горизонтах слюдистых песчаников взяты *Rhynchonella* cf. *variabilis* Dav., *Mytiloides amygdalooides* (Goldf.), *M. quinstedti* Pöhl., *M. gryphoides* (Schlothe.), *M. cf. cinctus* (Goldf.), *Pleuromya goldfussi* Roll. Все эти формы, кроме первой, характерны для верхней части нижней юры.

В нижней части описанного разреза, в слюдистых песчаниках, отсутствие фауны не дает возможности провести границу между отдельными ярусами и точно определить возраст. Но литологическое сходство с отложениями по рр. Нарула—Квирила и их большая мощность заставляют предполагать, что нижние горизонты слюдистых песчаников данного разреза охватывают синемюрский ярус. В то же время надо отметить, что слюдистые песчаники подоны Нарула Убиса относятся только к нижней части нижней юры, а средней и верхней частям соответствует карбонатная фауна. Здесь же, как видно из списка вышеуказанной фауны, в слюдистых песчаниках присутствуют и элементы верхней части нижней юры.

Что же касается известняков, обнаруживающихся в этом разрезе, то они, по-видимому, ограничены в верхних ярусах нижней юры.

Восточная и северо-восточная периферии

9. Разрез по хребту, расположенному к северо-западнее с. Биджинис

Западнее с. Биджинис, на хребте, расположенном между ущельями рек Орхези и Шугеде, отложения нижней части нижней юры в результате тектонических движений носят прерывистый характер. Здесь, вдоль дороги, ведущей по направлению к с. Чумателети, наблюдается следующий восходящий разрез (рис. 6):

- | | |
|------------------------------------------------------------------------------------------------------------------------------------------------------------------------------------------------------------------------------------------------------------------------------------------------------------------------------------------------------------|----------|
| 1. Породы кристаллического массива. | |
| 2. Конгломерат, в котором в виде линз встречаются крупно- и среднезернистые кварцевые песчаники. Обломочный материал конгломерата представлен альбитофирами, кварц-порфирами и кварцем. Непосредственного соприкосновения конгломератов с массивом не видно. Затруднено также определение элементов залегания, что вызывает неточное определение мощности. | 50--60 м |
| 3. Слоистые крупно- и среднезернистые, почти что гравелитозового характера кварцевые песчаники; поставлены на голову. | 5 м |

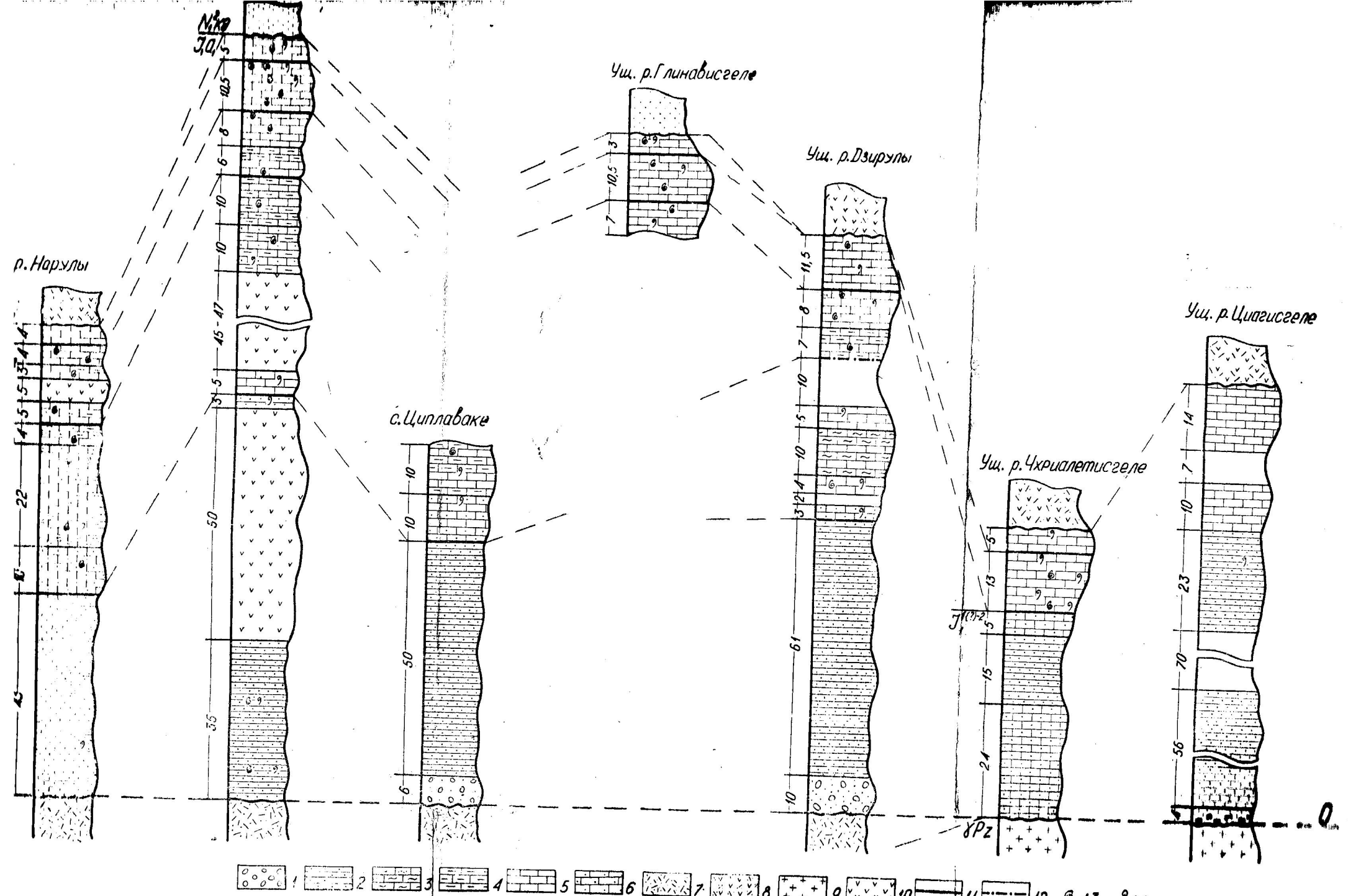


Рис. 6. Сопоставление разрезов карбонатно-терригенных отложений южной и юго-западной периферии Дзирульского массива; 1 — конгломераты; 2 — кварцевые и сплошные песчаники; 3 — мергелистые глины; 4 — мергели; 5 — известники; 6 — песчанистые известники и карбонатные песчаники; 7 — кварц-порфировые и альбитофи-ровые пирокластолиты; 8 — порфиритовые широкластилиты; 9 — граниты; 10 — порфирит; 11 — границы между ярусами; 12 — условные границы между ярусами; 13 — иммолиты; 14 — другие представители фауны.

4. Толстослоистые мелко- и среднезернистые кварцевые песчаники белого и красноватого цветов. Аз. пад. сл. СЗ—320°, \angle 65—70°. 7 м
 5. Алевритовые слюдистые песчаники бурого цвета. 5 м
 Перерыв в обнажении. 45 м
 6. Среднезслоистые песчаники светлого цвета. 17 м
 7. Алевритовые кварцево-слюдистые песчаники, обогащенные растительным дегритусом. 10 м
 Перерыв в обнажении. 15—20 м
 8. Тонко- и среднезслоистые кварцевые песчаники белого, местами красноватого цвета. 25 м
 9. Сланцевые глинисто-аргиллитовые породы зеленоватого цвета, с конкрециями и линзами песчанистых известняков. Найдена неопределимая до вида *Lima* sp. ind. 5—6 м
 Перерыв в обнажении. 70 м
 10. Порфиры фиолетового цвета.

Пачки 2—8 по стратиграфическому положению должны соответствовать синемюру и нижнему плинсбаху. Пачка 9, как будет видно из описания

разрезов, приведенных ниже, стратиграфически официально эквивалентна глинистым породам домерского возраста северо-восточной периферии массива. Следовательно ее возраст также определяется домером.

На восточной периферии массива нижняя трапа встречается также по долине Орхеви, где она представлена конгломератами и песчаниками. Совершенно иная картина наблюдается в ущелье р. Цеданисцкали. Здесь в области распространения байосских отложений встречается несколько линз красных известняков. В одной из них Н. А. Канделаки найдена фауна, характерная для верхней части нижней юры—*Inoceramus seudoinconstans* Kakh., определенная И. Р. Каходзе (1947). Из этих же мест Д. Г. Джигаури и Р. И. Торозов указывают *Aptyloides cf. quenstedti* Rösl. (определение К. Ш. Нуцубидзе).

В окрестностях с. Цедани вдоль балки Сакирегеле опять обнажаются выходы красных известняков, расположенных среди

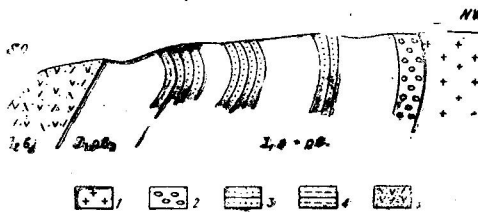


Рис. 6. Схематический разрез по хребту, расположенному северо-западнее с. Биджиниси: 1—граниты; 2—конгломераты; 3—кварцевые и слюдистые песчаники; 4—аргиллитовые породы; 5—порфирированные пирокластолиты.

байосских туфогенных пород. Из этих известняков взяты *Mylloides quenstedti* Pčel., *M. cf. samebensis* Kakh. и *Inosurgens cf. pseudoinconstans* Kakh., которые также указывают на принадлежность к верхней части нижней юры.

10. Разрез по ущелью р. Отрия

Р. Отрия является левым притоком р. Дзирулы. Здесь вдоль берегов упомянутой реки, у с. Отрия обнажаются:

J_1^{Pz}	1. Розовые граниты.	15
$J_1^{pl_2}$	2. Крупнозернистые кварцевые песчаники белого, местами желтоватого цвета.	
J_1^3	3. Ломкие мергелистые глины серого цвета. По всей пачке встречаются <i>Amaltheus margaritatus</i> (Montf.) и неопределенные беминты.	100—110
	4. Тонкослоистые аргиллитовые глины. Найдены <i>Mytiloides quenstedti</i> Pčel. и <i>Partschiceras</i> sp. Аз. пад. сл. СВ—40°, Δ 20°.	50—60
	5. Зеленовато-серые ломкие аргиллиты с прослойками тонкослоистых в нижней части и среднеслоистых—в верхней части алевритовых песчаников.	60 м
	Перерыв в обнажении.	10 м
	6. Темно-коричневые аргиллиты.	12—15 м
	7. Чередование среднеслоистых, в верхней же части толстослоистых карбонатных песчаников и аргиллитов. Аз. пад. сл. СВ—40°, Δ 35—40°.	50 м
	8. Толстослоистые кварцево-слюдистые песчаники и аргиллиты серого цвета. Последние носят подчиненный характер.	20 м
	9. Коричневые ломкие аргиллиты и песчаники.	20—25 м
J_2^{bi}	10. Туфогенные породы.	

Пачка 2 представляет собой базальную формацию фаунистически охарактеризованного домерского подъяруса, поэтому и возраст ее также должен быть домерским. В пачке 3 найден *Amaltheus margaritatus* Montf., наличие которого указывает на домерский возраст вмещающих пород. По стратиграфическому положению пачек 4—9 (между домером и байосом), а также по найденной в их подошве фауне митилоид, эти пачки датируются верхней частью нижней юры (тоар—аален).

Описанные отложения тянутся непрерывной полосой по ущелью р. Дзирулы и обнажаются в окрестностях с. Чонто. Здесь крупнозернистые кварцевые песчаники сменяются мергелистыми глинами, содержащими *Amaltheus margaritatus* Montf., которые, в свою очередь, перекрываются глинисто-аргиллитово-

полистей, относимой к верхней части нижней юры. Их выходы прослеживаются в виде отдельных участков и поэтому определение мощностей несколько затруднено.

11. Разрез в окрестностях с. Джвари

Нижние горизонты нижней юры хорошо прослеживаются в ущелье р. Джварисгеле, а верхние—в окрестностях с. Джвари и несколько севернее. В этом районе они трансгрессивно налегают на породы кристаллического массива и согласно переходят в туфогенную свиту байоса (рис. 7).

- | | | |
|--------------|------------------------------------------------------------------------------------------------------------------------------------------------------------------------------------------------------------------------------------------|------------|
| J_1^{Pz} | 1. Розовые граниты. | |
| $J_1^{pl_2}$ | 2. Толстослоистые, почти массивные белые кварцевые песчаники. В нижней части пачки песчаники грубозернистые, местами переходят в конгломераты. | 25—30 м. |
| J_1^3 | 3. Мергели и аргиллитовые глины серого и зеленоватого цветов. Части конкреции глинистого сидерита и растительные остатки. В пачке найдены многочисленные <i>Amaltheus margaritatus</i> Montf. | 110—125 м. |
| J_1^t | 4. Те же породы. В 15 м от подошвы софраны <i>Mytiloides quenstedti</i> Pčel., <i>M. gryphoides</i> (Schioth.) и <i>M. amygdalooides</i> (Goldf.). В верхней части пачки обнаружен <i>Pseudolioceras</i> cf. <i>lythense</i> (Y. et B.). | 90 м. |
| $J_1^{pl_1}$ | 5. Аргиллиты зеленовато-серого цвета, с прослойками вначале тонкослоистых, а далее среднеслоистых мелкозернистых слюдистых песчаников. | 80 м. |
| | Пластовая жила диабаза. | 15—18 м. |
| J_1^{bi} | 6. Чередование аргиллитов и слоистых мелкозернистых слюдистых песчаников. | 40 м. |
| | 7. Порfirитовая свита байоса. | |

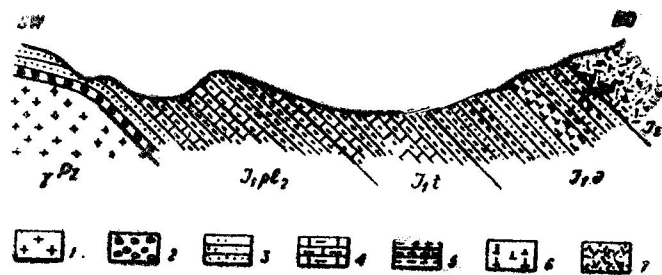


Рис. 7. Схематический разрез в окрестностях с. Джвари: 1—граниты; 2—конгломераты; 3—кварцевые и слюдистые песчаники; 4—мергели; 5—аргиллиты; 6—оливиновый диабаз; 7—порfirитовые пирокластолиты.

Пачка 2 представляет собой базальную формацию домерского подъяруса. По всей мощности пачки 3 встречаются *Amaltheus margaritatus* Montf. В этих же отложениях И. Р. Каходзе (1947) также указывает на нахождение этой формы. Исходя из этого пачка 3 по содержащейся в ней руководящей фауне относится к домерскому подъярусу. В пачке 4 вместе с митилоидами, характеризующими верхнюю часть нижней юры, встречается *Pseudoliteseras lythense* (Y. et B.). Эта форма известна из тоарских отложений Западной Европы, а в Грузии упомянута в верхнем тоаре. Из этой же пачки И. Р. Каходзе (1947) отмечает *Mytiloides aff. gryphoides* (Schloth.), *M. quenstedti* Pčel., *Phylloceras* sp., *Lytoceras* sp. и *Grammoceras thouarsense* (d'Orb.) руководящую для верхней зоны тоара.

Исходя из вышесказанного, пачка 4 причисляется к тоарскому ярусу. Пачки 5—6 не содержат фауны. Однако, принимая во внимание их стратиграфическое положение и согласный переход в байосские туфогенные породы, мы датируем их ааленом, хотя вполне возможно, что нижняя часть включает и тоар.

12. Разрез по ущелью р. Чератхеви

Вдоль дороги, идущей по направлению к г. Сачхере, на левом берегу р. Чератхеви, отложения нижней юры трансгрессивно налегают на породы кристаллического массива. Здесь наблюдается следующий господящий разрез:

J_1^{γ}	1. Аплитовые граниты, имеющие гнейсовую текстуру.	
$J_1^{pl_2}$	2. Слой конгломерата, переходящий в грубозернистые песчаники. 5 м	
	3. Толстослоистые срезнителные, мелкозернистые аркоэзозые песчаники белого цвета. 15 м	
	4. Песчанистые мергели серого цвета. В средней части пачки встречаются известняки с включениями гранита. В мергелях найдены <i>Chlamys</i> sp. и <i>Amaltheus margaritatus</i> Montf. 5—6 м	
	5. Зеленовато-серые, местами коричневые мергелистые породы. По всей мощности пачки встречаются <i>Amaltheus margaritatus</i> Montf. и неопределенные белемниты. 85—90 м	
J_1^3	6. Серые, местами коричневатые мергелистые породы, переходящие в верхней части в аргиллитовые глины. Слой поставлены почти на голову. Из этой пачки взяты <i>Mytiloides quenstedti</i> Pčel., <i>Partschiceras</i> sp. 40—44 м	
	7. Пелитовые аргиллиты с прослойками мелкозернистых слюдистых песчаников. 45 м	
	Пластовая жила днагаза. 130 м	
	8. Чередование аргиллитов с мелкозернистыми слоистыми песчаниками. 45 м	

Табл. 9. Байосские туфогенные породы, согласно перекрывающие нижележащие пачки.

Пачки 2—5 по содержащейся в них фауне относятся к домеру. Пачки 6—8 по своему стратиграфическому положению и встречающейся *Mytiloides quenstedti* Pčel., нижняя возрастная граница которого не выходит за пределы тоара, должны относиться к верхней части нижней юры.

13. Разрез по ущелью р. Лопанисцкали

Разрез составлен по ущелью реки Лопанисцкали у с. Гвердина, где между породами кристаллического массива и нижнеюрскими мергелями внедрено дайковидное альбитофировое тело, в котором в виде ксенолитов встречаются кварцевые песчаники. Н. А. Канделаки в альбитофирах отмечает также и ксенолиты морфолистых пород.

На этом участке наблюдается следующий восходящий разрез (рис. 8):

1.	Кварцевый альбитофир (с ксенолитами кварцевых песчаников). 120 м	
	Перерыв в обнажении.	6—8 м
1 ₁	2. Глинистые известняки и мергели зеленого и серого цветов с <i>Rosidonia</i> sp., <i>Phylloceras</i> sp., <i>Lytoceras gauthieri</i> (Reyn.), <i>Amaltheus margaritatus</i> Montf. 60 м	
1 ₁	3. Чередование фиолетовых и серых мергелистых пород. Собранные в пачке фауна содержит следующие формы: <i>Chlamys</i> sp., <i>Mytiloides quenstedti</i> Pčel., <i>M. cinctus</i> (Goldf.), <i>Partschiceras</i> sp. и <i>Grammoceras</i> sp. (ex gr. <i>thouarsense</i> d'Orb.). Аз. над. сл. СВ—20°, ↗ 55°. 10 м	
	Пластовая жила андезито-базальтового порфирита. 30—40 м	
1 ₁	4. Пачка пелитовых пород, в которой видно чередование зеленых и коричневых аргиллитовых глин. Найдены <i>Velopecten</i> sp. и <i>Mytiloides amygdaloides</i> (Goldf.). 60 м	
1 ₁	5. Пачка сложена аргиллитами с прослойками мелкозернистых слюдистых песчаников. 30 м	
	Пластовая жила оливинового диабаза мощностью в 100 м.	
	6. Пелитовые аргиллиты зеленовато-серого цвета с прослойками тонкослоистых и среднеслоистых мелкозернистых слюдистых песчаников. 70—80 м	
	Пачка совершенно согласно переходит в порfirитовую свиту байоса.	

Наличие ксенолитов кварцевых песчаников в пачке 1, указывает на то, что она является формацией последующей средней части нижней юры или собственно средней части.

Lytoceras gauthieri (Reyn.), найденный в пачке 2, встречается в домерском подъярусе Западной Европы. На тот же возраст указывает и *Amaltheus margaritatus* Montf.

Исходя из этого, слои, содержащие вышеуказанную фауну, должны датироваться домером. Фауна из пачки 3 определяет их тоарский возраст. Митиллоиды пачки 4 не дают возможности точно определить возраст вмещающих пород, но на том же стратиграфическом уровне С. С. Чихелидзе (1948) отмечает нахождение

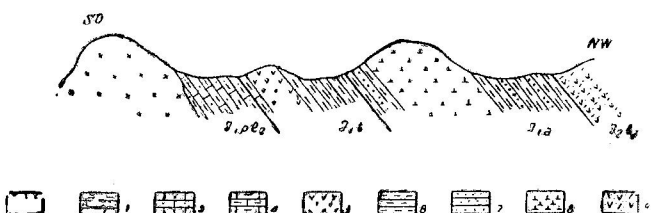


Рис. 8. Схематический разрез по р. Лопаницкали: 1—кварцевый альбитофибр; 2—песчанистые мергели; 3—песчанистые известняки; 4—мергели; 5—порфирит; 6—аргиллиты; 7—слидистые песчаники; 8—оливиновый диабаз; 9—порфиритовые микрокластолиты.

Grammoceras thouarsense (d'Orb.), подтверждающий наличие верхнего тоара. Судя по согласному переходу пачек 5—6 в вышележащую свиту, они должны охватывать весь ааленский ярус.

14. Разрез по ущелью р. Хевагеле, между сс. Чорчана и Цнелиси

В одном километре от слияния р. Хевагеле с р. Лопаницкали обнажается следующая последовательность пород:

- | | | |
|---------------------------------|--------------------------------------------------------------------------------------------------------------------------------------------------------------------------------------------------------------------------------------------------------------------------------------------------------------------------------------------------------------------------------------------------------------------------------------------------------------------------------------------------------------------------------------------------------------------------------------------------------------|-----------------------------------|
| P_2
J_{1pl}
J_{2bj} | 1. Розовые, местами красноватые кварц-порфиры.
2. Серые, местами желтоватые слоистые кварцевые песчаники.
3. Серые песчанистые известняки, в верхней части пачки, постепенно переходящие в красноватые и коричневые пелитоморфные известняки. Обнаруженные в пачке формы по нашим определениям оказались <i>Spiriferina alpina falloti</i> Соггоу, <i>Zenillaria</i> c f. <i>mutabilis</i> (Opp.), <i>Chlamys</i> s.p.
Перерыв в обнажении.
4. Бrekция-конгломерат, материала которого представлен кварц-порфирами, гранитами, кварцевыми дисритами и другими породами кристаллического массива. | 5 м
5 м
10 м
8 м
10 м |
|---------------------------------|--------------------------------------------------------------------------------------------------------------------------------------------------------------------------------------------------------------------------------------------------------------------------------------------------------------------------------------------------------------------------------------------------------------------------------------------------------------------------------------------------------------------------------------------------------------------------------------------------------------|-----------------------------------|

Породы пачки 2 легко увязываются с аналогичными домерскими отложениями северо-восточной периферии массива. Фауна

из пачки 3, не определяет точного возраста, но если сравнять эти слои с разрезами, где пачку кварцевых песчаников продолжают слои с *Amaltheus margaritatus* Montf., можно заключить, что их возраст также соответствует домерскому подъярусу.

Относительно слоев, составляющих пачку 4, мнения исследователей расходятся. По данным С. С. Чихелидзе (1948), вышеотмеченный бrekция-конгломерат является байосским, а Г. С. Цзоценидзе, Н. И. Схиртладзе, И. Д. Чечелашвили (1953) считают их составной частью нижней юры, образовавшихся в результате поднятия массива. По нашим же наблюдениям, бrekция-конгломерат постепенно переходит в туфогенные породы байоса, что позволяет предполагать большую оправданность мнения о принадлежности их к байосу.

Северная периферия

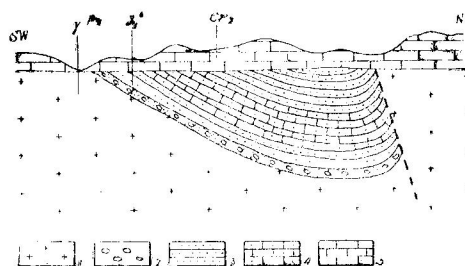
15. Разрез по ущелью р. Думалы

Разрез составлен западнее с. Беретиса, в русле р. Думалы, являющейся правым притоком р. Дзиулы. Выходы нижней юры связаны с верховьями данной речки и обнажаются вдоль ее берегов. К югу рассматриваемые отложения расположены трансгрессивно на породы кристаллического массива, к северу же, в результате доверхнемелового разрыва, соприкасаются с гранитами (рис. 9). Восходящий разрез нижнеюрских отложений этого района характеризуется следующей последовательностью:

- | | | |
|-------------------------|------------------------------------------------------------------------------------------------------------------------------------------------------------------------------------------------------------------------------------------------------------------------------------------------------------------------------------------------------------------------------------------------------------------------------------------------------------------------------------------------------------------------------------------------------------------------------------------------------------------------------------------------------------------------------------------------------------------------------------------------------------------------------------------------------------------------------------------------------------------------------------------|------------------------------------|
| P_2
J_1
J_2 | 1. Розовые граниты.
2. Конгломерат, представленный гальками средних размеров.
3. Розовый мелкогалечный конгломерат и грубозернистые кварцевые песчаники. Гальки конгломерата, сложенные породами кварц-порfirov и кварцевых диоритов.
4. Беловато-желтые среднезернистые arkозовые песчаники.
5. Мелкозернистые, обогащенные растительным детритусом карбонатные слюдистые песчаники, которые изредка содержат в виде линз и конкреций плотные известковистые песчаники. В основании пачки найдены <i>Entolium</i> c f. <i>demissum</i> (Phill.), <i>Aequirostes</i> s.p., <i>Camptonectes</i> s.p. и <i>Mytiloides amygdalooides</i> (Goldf.). Аз. пад. сл. СВ—30°, ↗ 25°.
6. Среднеслоистые карбонатные слюдистые песчаники с прослоями сланцеватых слюдистых песчаников. В подошве пачки собраны <i>Mytiloides gryphoides</i> (Schloth.) и <i>M. cinctus</i> (Goldf.). | 4 м
7 м
20 м
40 м
10 м |
|-------------------------|------------------------------------------------------------------------------------------------------------------------------------------------------------------------------------------------------------------------------------------------------------------------------------------------------------------------------------------------------------------------------------------------------------------------------------------------------------------------------------------------------------------------------------------------------------------------------------------------------------------------------------------------------------------------------------------------------------------------------------------------------------------------------------------------------------------------------------------------------------------------------------------|------------------------------------|

7. Чередование крупно- и среднезернистых кварцево-слюдистых песчаников. 50—60 м
 γ_{P_2} 8. Розовые граниты.

Пачки 2—4 представляют собой базальную формацию фаунистически охарактеризованных отложений верхней части нижней юры. Следовательно, их возраст также должен соответствовать



в красных известняках с. Кацхи выделил домер, тоар и нижний аален. Несколько позднее А. А. Чикозани в окрестностях с. Кацхи и ст. Салиети была собрана фауна брахиопод и двустворчатых, среди которых, по определению К. Ш. Нуцубидзе, оказались: нижнеюрский *Chlamys textoria* (Schloeth.), плинсбахские *Velata cf. davoei* (Dum.), „*Rhynchonella*“ *plana* Nutz., *Salgirella alberti* (Opp.), *Zeilleria numismalis* (Lam.) и формы, которые известны как в нижней части нижней юры, так и в средней—*Septaliporia curviceps* (Quenst.) и *Spiriferina tumida* Buch.

Изучив дополнительный палеонтологический материал и составив детальный разрез, мы получили возможность уточнить стратиграфическое положение отдельных пачек.

Chlamys cf. *textoria* (Schloeth.), найденный в пачках 3—5, нижнеюрский вообще, из фауны пачки 6 *Salgirella paronai* Haas и *Zeilleria subdigona* Opp. встречаются во всем плинсбахе и не указывают на какой-нибудь его подъярус. Однако так как породы аналогичного литологического состава юго-западной и южной периферии начинаются домерским подъярусом, то, естественно и здесь они должны соответствовать ему. В пачке 7 вместе с митилоидами найдены *Calliphylloceras nilssoni* (Heb.) и *Mesotethis tripartita* (Schloeth.). Первая форма известна в Западной Европе в верхней части нижней юры, а в Германии—и в байосе. Вторая встречается в Западной Европе в тоэр, на Северном Кавказе—в тоаре-нижнем аалене. В нашем случае находка этих видов в породах, размещающихся между домером и нижним ааленом, указывает на тоарский ярус.

Пачка 8 содержит нижнеааленский *Leioceras* cf. *costosum* (Quenst.) и ааленские *Tatryphylloceras* cf. *tatricum* (Pusch.), *Hammatooceras tenuinsigne* Vač. Здесь же надо отметить, что две последние формы на Дзириульском массиве всюду встречаются в нижнем аалене. Следовательно, нижнеааленский возраст этой пачки не вызывает сомнений.

В южном крыле антиклинального поднятия, в окрестностях ст. Салиети, нижнеюрские известняки (мощн. 150 м) располагаются непосредственно на кристаллическом массиве. Падение известняков юго-западное— 210° , $\pm 20^\circ$.

В нескольких метрах от подошвы, в массивных брекчевидных известняках встречаются обломки гранитного материала. Последние в некоторых местах так часты, что переходят в конгломерат. В

ущ. р. Лопанискалоу

ущ. р. Отрио

с. Джвари

ущ. р. Чератхеви

ущ. р. Кацхуры

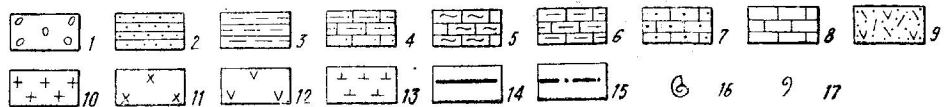


Рис. 10. Сопоставление разрезов карбонатно-терригенных отложений северной и северо-восточной периферий Дзирульского массива: 1 — конгломераты; 2 — кварцевые и слюдистые песчаники; 3 — аргиллиты; 4 — песчанистые мергели; 5 — мергелистые глины; 6 — мергели; 7 — карбонатные песчаники и песчанистые известняки; 8 — известняки; 9 — порфиритовые пирокластолиты; 10 — граниты; 11 — кварцевый альбитофир; 12 — порфирит; 13 — оливиновый диабаз; 14 — границы между ярусами; 15 — условные границы между ярусами; 16 — аммониты; 17 — другие представители фауны.

Верхней части известняки становятся слоистыми и более кристаллическими. Из довольно бедной фауны, собранной в этой зоне, можно отметить: „*Rhynchonella*“ *striata* Noutz., „*R.*“ s. f. *nasica* Noutz., *Lobothyris punctata* (Sow.), плинсбахскую форму *Zeilleria mutabilis* (Opp.), *Mytiloides fuscus* (Quenst.), известный в верхней части нижней юры, *Chlamys aff. phillips* (d'Orb.), южноааленско-байосский *Camptonectes aratus* (Waag.) и ааленский *Lytoceras rasile* Vac.

Таким образом, по приведенной фауне и по аналогии с асными известняками с. Кацхи, можно допустить наличие средней и верхней частей нижней юры в данном участке.

ОБЗОР ОТЛОЖЕНИЙ ПО ЯРУСАМ

Геттанский ярус

На кристаллические породы юго-западной периферии Дзицьского массива несогласно налегает вулканогенно-континентальная свита, названная П. Д. Гамкрелидзе и С. С. Чихелидзе нижними туффитами. Свита слагается конгломератами, грубозернистыми кварцевыми песчаниками, туфами, туфобрекчиями, туфоконгломератами, покровами кислых и реже основных лав. В песчаниках встречаются линзы оgneупорных глин и окремненные растительные остатки. Мощность свиты весьма изменчива — от нескольких до сотен метров.

Изучение этой свиты не являлось задачей данной работы, но нижнесинемюрская фауна, собранная в кварцево-слюдистых песчаниках (Топчишвили, 1965₂), непосредственно перекрывающих нижние туффиты, дает возможность высказать мнение и о возрасте нижних туффитов.

По-видимому, возраст нижних туффитов следует считать геттансским, так как они расположены под трансгрессивными, фаунистически охарактеризованными нижнесинемюрскими отложениями. Что нижняя возрастная граница нижних туффитов не выходит за пределы данного яруса, подтверждается флорой, найденной А. Л. Канчавели (1964) в основании свиты нижних туффитов ущелья р. Нарулы. Это *Cladophlebis denticulata* (Brongn.) Font., *Nilssonia mediana* (Leck. et Bean.) Foxst., *Nilssonia* s. p., встречающиеся во всей юре и *Dictyophyllum rugosum* Z. et H., *Anomozamites* s. p., вертикальное распространение которых ограничено нижним отделом юры.

Из кварцевых песчаников свиты нижних туффитов в окрестностях с. Шроша Ц. И. Сванидзе (1965) описала довольно разнообразную юрскую флору—*Cladophlebis denticulata* (Brongn.) Font., *Cladophlebis cf. whitbiensis* Brongn., *Nilssonia mediana* (Leck. et Beal.) Fox-str., *Ginkgo digitata* (Brongn.) Heer, *Ginkgo sibirica* Heer, *Phoeniocopsis cf. angustifolia* Heer, *Podozamites lanceolatus* (L. et H.) Braun, *Podozamites lanceolatus* gen. inus Heer.

Все перечисленные формы не спускаются ниже юры, а это в свою очередь, опять-таки указывает на происхождение свиты в нижнем отделе юрской системы.

Синемюрский ярус

Синемюрские отложения прослеживаются на юго-западной, южной и восточной перифериях Дзиурльского массива, где они трансгрессивно налегают на кристаллические породы массива, а местами на вулканогенную толщу нижних туффитов. Литологически эти отложения однообразны. Они почти везде начинаются крупнозернистыми кварцевыми песчаниками или конгломератами, которые выше переходят в мелкозернистые кварцево-слюдистые песчаники.

Первую попытку установить возраст этих песчаников встречаем в работах М. Неймайра и В. Улига (1892), П. Д. Гамкрелидзе и С. С. Чихелидзе, в которых они условно датированы нижней частью нижней юры.

В 1947 г., учитывая стратиграфическое положение этих песчаников под отложениями домера, И. Р. Каходзе предполагал, что они должны соответствовать нижнему плинебаху (карикс).

Позднее П. Д. Гамкрелидзе (1949), опять-таки исходя из стратиграфического положения, пришел к выводу, что место для кварцево-слюдистых песчаников остается в нижней части нижней юры или в нижнем плинебахе (карике), ввиду того, что эта толща согласно подстилает красные известняки и трансгрессивно перекрывает нижние туффиты и породы кристаллического массива. Здесь же П. Д. Гамкрелидзе заключает: в том случае, если в красных известняках окажется нижнеплинебахский подъярус (карикс), тогда вполне естественно отнести базальную формацию мощностью в 200 м к нижней части нижней юры.

Нам удалось собрать в кварцево-слюдистых песчаниках довольно богатую фауну, и на основании некоторых форм определить возраст вмещающих пород синемюром.

На правом берегу ущелья р. Квирилы, у с. Мартотубани, в основании пачки бурых алевритовых кварцево-слюдистых песчаников мощностью в 80—88 м, найдены *Spiriferina walcotti* (Gow.), *Pholadomya cf. idea* d'Orb., *Pleuroniya* sp., *Pleurotomaria* sp., *Arnioceras ceratitoides mexicanum* Eg., *Vermiceras* sp. В слоях, расположенных над породами, содержащими вышеуказанную фауну, собраны *Spiriferina* sp., *Pinna* sp., *Aequirocten* cf. *risensis* (Schloeth.), *Microderoceras* sp. ind. Интересно отметить, что мощность этой пачки значительно увеличивается из-за внедрения 50-метровой пластовой жилы диорит-порфирита.

Как видно из приведенного списка фауны, наряду с индифферентными формами найден *Arnioceras ceratitoides mexicanum* Eg., встречающийся в нижнем синемюре Мексики. Кроме того, здесь же обнаружены неопределимые до вида *Vermiceras* sp. и *Microderoceras* sp. ind., вертикальное распространение которых ограничено синемюром, причем род *Microderoceras* встречается только в верхнем синемюре (лотаринг.).

Западнее, в ущелье р. Нарулы, синемюрские отложения мощностью в 43 м представлены в той же фации, что и в ущелье р. Квирилы, но здесь в основании появляются конгломераты в гравийные песчаники с *Pholadomya* sp., которые, по-видимому, являются базальными образованиями слюдистых песчаников.

Синемюр, представленный аналогичными сложениями мощностью в 56 м, прослеживается восточнее ущелья р. Квирилы, в окрестностях с. Циллаваке, где в кварцево-слюдистых песчаниках встречается „*Rhynchonella*“ cf. *variabilis* Dav.—форма широкого вертикального распространения. В ущелье р. Мачарула мощность синемюра достигает 64—69 м, а в окрестностях с. Убиса—79 м.

Южнее описанной полосы, в Циагисгеле и на восточной периферии массива, в окрестностях с. Биджиниси, синемюрский ярус опять-таки представлен крупнозернистыми и алевритовыми кварцево-слюдистыми песчаниками. Во всех вышеуказанных районах, ввиду отсутствия руководящих форм, синемюрские отложения устанавливаются по их стратиграфическому положению и

литологическому сходству с породами разреза в ущелье р. Квирилы.

Плинсбахский ярус

В плинсбахских отложениях Дзирульского массива на основании фаунистического материала хорошо выделяются оба подъяруса—нижний (карикс) и верхний (домер).

Выходы нижнеплинсбахских отложений связаны с южной, юго-западной и восточной перифериями Дзирульского массива. Здесь они согласно налагаются на симурекские отложения и, в свою очередь согласно же перекрываются осадками димерского возраста.

В ущелье р. Квирилы кариеские отложения слагаются толстостоистыми зеленовато-серыми известняками и мергелистыми известняками с прослойями фиолетовых кластических известняков мощностью в 75 м. В нижней части этой почки встречается 45-метровая пластовая жила диорит-пирофилита. Из этих отложений определены „Rhynchonella“ plicatissima Quenst., Lobotheiris punctata (Sow.), Zeilleria mutabilis (Opp.), Z. subdigona (Opp.). „Chlamys“ sp., Acanthopleuroceras sp. В пользу кариеского возраста рассматриваемых отложений говорит род Acanthopleuroceras, вертикальное распространение которого не выходит за пределы этого подъяруса.

В ущелье р. Нарулы кариекс представлен среднеслоистыми зеленовато-серыми известковисто-слюдистыми песчаниками с фиолетовыми, местами серогатыми мергелями с прослойями фиолетовых кластических известняков, богатых остатками крионид и губок, мощностью в 36 м. В них содержится следующая фауна: „Rhynchonella“ plicatissima Quenst., Spiriferina cf. alpina Opp., Lobotheiris punctata (Sow.), Lima punctata (Sow.), Juraphyllites planispira (Reyn.), Phylloceras aff. tenuistriatum Men., Polymorphites sp. ind. Последняя форма является характерной для кариеского подъяруса.

В окрестностях с. Циплаваке нижний плинсбах представлен аналогичными отложениями мощностью в 20 м, в которых имеется комплекс фауны, мало чем отличающийся от найденного по р. Наруле.

Кариеские отложения прослеживаются и в ущельях рр. Мачарулы и Дзирулы, где в известковистых, обогащенных гематитом

песчаниках, слоистых известняках и мергелистых породах с прослойями пелитоморфных известняков мощностью в 30 м найдены „Rhynchonella“ plicatissima Quenst., „R.“ variabilis Dav., Lobotheiris punctata (Sow.), Zeilleria mutabilis (Opp.), Z. subdigona (Opp.), Juraphyllites planispira (Reyn.), Phylloceras bonarelli Bett.

Все перечисленные формы встречаются как в нижней, так и в средней части нижней юры, исключение составляет лишь Zeilleria subdigona (Opp.), чей возраст в Крыму, на Северном Кавказе и в Западной Европе не выходит за пределы плинсбаха и Phylloceras bonarelli Bett., распространение которого ограничивается этим же ярусом.

Несмотря на то, что вышеупомянутая фауна не содержит доминирующих форм кариеского подъяруса, по стратиграфическому положению и по аналогии с соседними разрезами эти отложения все же следует отнести к кариексу.

В окрестностях с. Убиса, в зеленоватых органогенных известняках мощностью в 30 м, собраны Spiriferina cf. alpina (Sow.), Chlamys cf. substriata (Reyn.). Первая форма встречается в нижней и средней части нижней юры, вторая—только в средней. Таким образом, на основании этих форм точнее определить в возраст вмещающих слоев невозможно. В то же время, между тем, что в соседних разрезах в отложениях, расположенных на таком же стратиграфическом уровне, фиксируется наличие кариеса, не исключено, что и здесь, в этих зеленоватых известняках присутствует нижнеплинсбахский подъярус.

Восточнее, в р. Чхриалетисгеле, а также южнее описанной подсы, в р. Циагисгеле, карбонатные отложения кариеского возраста фактически замещаются бурыми кварцево-слюдистыми песчаниками с растительными остатками.

На восточной периферии массива кариеские отложения представлены белыми кварцевыми песчаниками. В вышеупомянутых районах этот подъярус обосновывать палеонтологически не удалось, но, исходя из стратиграфических сознаний, нам кажется допустимым существование данного подъяруса в отложениях этих районов.

Верхнеплинсбахские отложения развиты на всей изученной территории; на южной, юго-западной и восточной перифериях Дзирульского массива они согласно следуют за кариескими от-

отложениями, а на северной и северо-восточной трангрессионно залегают на породах кристаллического массива.

В ущелье р. Нарулы дамер представлен фиолетовыми мергелистыми известняками с прослоями кластических известняков и красными мраморовидными известняками мощностью в 17 м. Они содержат дамерские аммониты, характерные для зоны *Amaltheus margaritatus*: *Amaltheus subnodosus* (Y. et B.), *A. subnodosus howarthi* Steph.

В ущелье р. Квирилы, у с. Мартутубани, дамер представлен такими же отложениями мощностью в 16 м. В них найдены дамерские *Juraphyllites libertus* (Gemm.), *Phylloceras hebertinum* (Reyn.), *Calliphylloceras emeryi* (Bett.), *Nigroceras isseli* (Fuc.) и *Phylloceras bonarelli* Bett.

В этой же начке встречается *Amaltheus marginatus* Montf.

В красных известняках, обнажающихся в Глинистомеле, в окрестностях с. Циплаваке, дамерский подъярус устанавливается на основании „*Rhynchonella*“ cf. *triplicata* Phil., *Mytiloides falgeri* (Esch.), *Polytoceras* cf. *hebertinum* (Reyn.) и *Nigroceras isseli* (Fuc.).

В ущелье р. Дзирулы, около с. Шрона, дамерские отложения представлены чередованием темно-красных мергелистых известняков с тонко- и среднеслонистыми брекчиевидными известняками мощностью в 15 м. Здесь вместе с индифферентными формами „*Rhynchonella*“ *borealis* Mois., *Spiriferina alpina* Opp., *Passaloteuthis apicicurvata* (Blaen.) встречаются формы, распространение которых ограничивается только дамерским подъярусом. Это *Juraphyllites libertus* (Gemm.), *Phylloceras perzeles* Monest. и *Amaltheus* cf. *subnodosus* (Y. et B.).

Несколько южнее от описанного участка, у Самебского моста, в области распространения вулканогенной свиты байоса, благодаря еебросо-надигу, выходит вторая полоса красных известняков. Наличие дамерского подъяруса в этих известняках констатируется находкой *Calliphylloceras emeryi* (Bett.), *Amaltheus marginatus* Montf., *A. cf. subnodosus* (Y. et B.). Из этих же мест определен (Джанелидзе, 1946) *Pleuroceras spinatum* (Bug.), указывающий на присутствие в данных отложениях одноименной зоны дамера.

В окрестностях с. Убиса дамер слагается красными мраморовидными известняками с „*Rhynchonella*“ *triplicata* Phil., *Mytiloid-*

es (Phil.), которые в Западной Грузии встречаются в верхней части нижней юры, а на Цириульском массиве только в

зеленой.

В южной р. Чхриалегистеле и Цилистеле дамер представлен кварцево-слюдистыми песчаниками. Fauna здесь не найдена, но стратиграфическое положение этих отложений дает возможность предполагать о наличии в них дамерского подъяруса.

Такая картина наблюдается на северо-восточной периферии Цириульского массива. Здесь, от ущелья р. Дзирулы (окрестности с. Чонто) до водораздела рр. Лопаницкали и Чератхеви, дамерские отложения представлены мощной (90—120 м) глинистомергелистой толщей. Эти отложения везде, за исключением села Джвари и ущелья р. Чератхеви, где появляются маломощные кварцевые, начинаются кварцевыми песчаниками измечивой мощности (15—30 м). Во всей полосе северо-восточной периферии Цириульской (ущелье р. Дзирулы, окрестности с. Чонто, ущелье р. Отхара, окрестности с. Джвари, ущелье р. Чератхеви) дамерский подъярус выделяется на основании находки *Amaltheus marginatus* Montf. Причем, отмеченный вид встречается почти во всем толще, от подоны до кровли.

В ущелье р. Лопаницкали в мергелях мощностью в 70 м, дамерский подъярус констатируется итходкой *Lytoceras gauthieri* (Kup.) и *Amaltheus marginatus* Montf. Нижние горизонты дамерских отложений—кварцевые песчаники, которые так хорошо проявляются в остальных районах северо-восточной периферии Цириульского массива, в этом разрезе встречаются в виде изолированных в мощной кварцево-альбитофировой дайке.

В окрестностях с. Биджини в глинистых породах дамер констатируется по аналогии с разрезами Джвари—Лопаницкали.

В окрестностях с. Коби, в р. Хевагеле, дамеру соответствуют кварцевые песчаники (5 м) и известняки (10 м) с *Spiriferina fusca falloti* Cott. и *Zeilleria cf. inabilis* (Opp.).

На северной периферии Цириульского массива, в ущелье Кацхуры, в северном крыле антиклинального поднятия, под красными отложениями обнажаются красные мраморовидные известняки (22 м), конгломераты и кварцевые песчаники мощностью 15 м. Красные известняки содержат „*Rhynchonella*“ cf. *variabilis* (Dow., „R.“ cf. *paronai* Haas, *Salgirella alberti tenuis* Noutz.,

Zeilleria subdigona (Opp.), *Chlamys* cf. *textoria* (Schloeth.). Несмотря на то, что некоторые из приведенных форм своим распространением ограничены средней частью нижней юры, они все же не пригодны для точного определения возраста. Тем не менее, принимая во внимание то обстоятельство, что нижняя возрастная граница красных известняков в остальных разрезах Дзиурульского массива не выходит за пределы домера, можно заключить, что и отложения, вмещающие эту фауну, должны быть отнесены к домеру. Наряду с этим в пользу высказанного мнения говорит и стратиграфическое положение рассматриваемых осадков.

Тоарский ярус

Тоарские отложения Дзиурульского массива наиболее хорошо охарактеризованы фаунистически.

В ущелье р. Нарулы тоарскому ярусу соответствует 4-метровая пачка красных мраморовидных известняков, которая в основном датируется по своему стратиграфическому положению, т. к. найденные в них *Mytiloides amygdaloides* (Goldf.) и *Calliphylloceras dzirulensis* (Djan.) являются формами верхней части нижней юры и не указывают на присутствие именно тоарского яруса.

В ущелье р. Квирилы, у с. Мартотубани тоарские отложения представлены аналогичными породами мощностью 10 м. Здесь в нижних слоях (2,5 м) найден *Harpoceras falcifer* (Sow.), определяющий их принадлежность к однократной зоне нижнего тоара. В последующих слоях такой же мощности встречаются характерные формы для среднего тоара—*Peronoceras subarmatum* (Y. et B.), *Hildoceras bifrons* (Brug.), *Phymatoceras comense evoluta* (Renz), *Ph. cf. tirolense* (Hauer), *Praehaploceras zwieselei* Monest. Отсюда же взят *Coeloceras taquianum* (d'Orb.), встречающийся в нижнем и среднем тоаре Западной Европы. В более верхней части (5 м) пачки совместно с „*Rhynchonella*“ *striata* Noutz., *Mytiloides amygdaloides* (Goldf.), *M. gryphoides* (Schloeth.), *M. quenstedti* Pöhl., *M. cinctus* (Goldf.), *M. dzirulensis* Kakh., *Calliphylloceras nilssoni* (Heb.), *C. dzirulensis* (Djan.), *C. imereticum* (Neum.), *C. avevronnense* (Mep.) встречаются верхнетоарские *Calliphylloceras thevenini* (Monest.), *Polyplectus cf. discoides* (Ziet.), *P. cf. subplanatus* (Opp.), *Grammoceras thouarsense* (d'Orb.), *G. quadratum* (Haug.), *G. saemanni* (Dum.), *Pseudogrammoceras cf. bingmanni* (Denck.), подтверждающие наличие в этих отложениях зоны *Pseudogrammoceras fallaciosum* верхнего тоара.

40

Таким образом, на основании руководящих видов в долине р. Квирилы устанавливается наличие нижнетоарской зоны *Harpoceras falcifer*, среднетоарской *Hildoceras bifrons* и верхнетоарской *Pseudogrammoceras fallaciosum*.

В красных известняках, обнажающихся в окрестностях с. Сагени и Санахшире, зона *Hildoceras bifrons* охарактеризована формами *Thysanoceras cornicopiae guilhomardensis* (Monest.), *Peronoceras subarmatum* (Y. et B.), *Hildoceras bifrons* (Brug.) и *Praehaploceras zwieselei* Monest. Присутствие верхнетоарской зоны *Pseudogrammoceras fallaciosum* подтверждается находкой *Polyplectus cf. subplanatus* (Opp.) и *Grammoceras cf. thouarsense* (d'Orb.).

В р. Глинависгеле тоар также представлен красными мраморовидными известняками мощностью в 10,4 м с *Mytiloides dzirulensis* Kakh., *M. samebensis* Kakh., *M. fuscus* (Quenst.), *M. cinctus* (Goldf.), *M. amygdaloides* (Goldf.), *Calliphylloceras nilssoni* (Heb.), *Hildoceras bifrons* (Brug.), *Polyplectus subplanatus* (Opp.), *Grammoceras quadratum* (Haug.), *Phymatoceras* sp., *Praehaploceras zwieselei* Monest.

Из приведенного списка видно, что здесь представлен средний и верхний тоар. Нижний тоар палеонтологически не выражен, но его присутствие в непрерывном разрезе доказывается фаунистически охарактеризованным средним тоаром.

В ущелье р. Дзиурлы, в окрестностях с. Шроша, тоар выражен 11-метровыми красными известняками с *Mytiloceras cf. basis* Kakh., *Mytiloides amygdaloides* (Goldf.), *M. quenstedti* Pöhl., *M. gryphoides* (Schloeth.), *Calliphylloceras nilssoni* (Heb.), *C. dzirulensis* (Djan.). Отмеченные формы встречаются в верхней части нижней юры, а некоторые переходят и в среднюю юру.

Как видно из вертикального распространения указанной фауны, тоар не отбивается, но если учесть, что в соседних разрезах, в аналогичных отложениях и на таком же стратиграфическом уровне, были найдены руководящие формы тоара, то его наличие в этих отложениях не вызывает сомнения.

В р. Чхриалетисгеле тоарские отложения представлены красными органогенными известняками (10 м) с *Nucleatia aspasia* (Mep.), *Inoceramus cf. lokiensis* Sesasch., *Mytiloides gryphoides* (Schloeth.), *M. quenstedti* Pöhl., *M. amygdaloides* (Goldf.), *M. dzirulensis minimus* Kakh., *Calliphylloceras* sp. и *Mesoteuthis*

41

sulcata (Quenst.). Возраст последнего вида не выходит за пределы тоарского яруса.

В р. Циагисгеле к тоарскому ярусу, по-видимому, относятся бурые слюдистые песчаники с линзами известковистых песчаников мощностью в 20 м. В линзах содержатся *Mytiloides gryphoides* (Goldf.), *Pleuromya goldfussi* Roll.

На восточной периферии Дзириульского массива, в окрестностях с. Биджниси, тоарские отложения не обнажены.

В окрестностях с. Джвари тоар представлен аргиллитовыми мергелистыми породами мощностью в 90 м с *Mytiloides quenstedti* Pčel., *M. gryphoides* (Schloth.), *M. amygdaloïdes* (Goldf.) и *Pseudolioceras lythense* (Y. et B.), который в Западной Европе встречается вообще в тоаре, а в Грузии—только в верхнем тоаре. Интересно, что из этой же толщи И. Р. Каходзе (1947) отмечает вид, характерный для верхнего тоара—*Grammoceras thouarsense* (d'Orb.). Тоар, представленный в аналогичной фации мощностью в 100—110 м, прослеживается в ущелье р. Лопаниццкали. В этой толще встречается 40-метровая пластовая жила порфирита. В мергелях взяты *Mytiloides quenstedti* Pčel., *M. cinctus* (Goldf.), *Partschiceras* sp. и *Grammoceras* sp. (ex gr. *thouarsense* d'Orb.).

В ущельях рр. Дзирулы (с. Чонто), Отриа и Чератхеви тоар не отбивается из-за отсутствия руководящих форм, но наличие его по аналогии с соседними разрезами вполне допустимо.

В долине р. Думалы (с. Беретиса) кварцевые песчаники и мелкозернистые карбонатные кварцево-слюдистые песчаники мощностью в 130 м трансгрессивно налегают на размытую поверхность массива. Здесь в нижней части толщи найдены *Entolium cf. demissum* (Phill.), *Mytiloides amygdaloïdes* (Goldf.), а в верхней—*Mytiloides gryphoides* (Schloth.) и *M. cinctus* (Goldf.). Возраст митилоидов, как уже не раз отмечалось, ограничивается верхней частью нижней юры. Такое же вертикальное распространение имеет и *Entolium demissum* (Phill.), с той лишь разницей, что эта форма встречается и в средней юре, поэтому точно датировать вмещающие породы не представляется возможным. Тем не менее, сравнительно большая мощность песчаников разрешает предположить, что в них может присутствовать тоар и аален.

В ущелье р. Кацхуры в тоарских красных известняках мощностью в 12 м совместно с митилоидами встречаются *Calliphylloceras nilssoni* (Heb.) и *Mesoteuthis tripartita* (Schloth.) известный в Западной Европе в тоаре, а на Северном Кавказе—в тоаре и нижнем аалене. Здесь же появление этой формы, исходя из стратиграфического положения вмещающих слоев (между домерскими и нижнеааленскими отложениями), доказывает наличие тоарского яруса.

Ааленский ярус

На Дзириульском массиве всюду, кроме северо-восточной периферии (здесь слои, соответствующие ааленскому ярусу, согласно переходят в байеские), ааленские отложения трансгрессивно перекрываются порфириевой свитой байеса, а местами кварцевыми песчаниками карагана.

В ущелье р. Кзырилы, в красных известняках, мощностью в 5 м, собраны *Mytiloides amygdaloïdes* (Goldf.), *M. quenstedti* Pčel., *Modiolus giganteus* (Quenst.), *Calliphylloceras nilssoni* (Heb.), *C. dzirulensis* (Dan.), *Tatrophylloceras tetricum* (Pusch), *Hammatoceras cf. tenuinsigne* Vač., *H. (Erycites) fallax* (Ben.). Наиболее интересными из этого списка являются формы: *Tatrophylloceras tetricum* (Pusch), *Hammatoceras tenuinsigne* Vač. и *H. (Erycites) fallax* (Ben.). Первые два вида встречаются в аалене вообще, а последний в Западной Европе, на Северном Кавказе и в Грузии не выходит за пределы нижнего аалена—она *Leioceras opalinum*.

В красных известняках с. Сагвина и Санахшире нижний аален устанавливается на основании *Tatrophylloceras tetricum* (Pusch), *Lytoceras vačekii* Thopfch. и *Dumortieria gundersholensis* Haug—вид, характерный для зоны *Dumortieria pseudogardosi*.

В р. Глинависгеле нижний аален представлен такими же отложениями мощностью в 3 м с фауной *Mytiloceramus aff. llaasicus* Kakh., *Mytiloides amygdaloïdes* (Goldf.), *M. dubius* (Sow.), *Calliphylloceras dzirulensis* (Dan.), *Tatrophylloceras tetricum* (Pusch).

В ущельях рр. Нарулы и Дзирулы (с. Шроша) нижний аален, видимо, отсутствует.

В окрестностях с. Шрониа, у карьера красного мрамора, нижнеааленская фауна нами не была найдена, но К. Ш. Нуцубидзе (1966) из этого района описывает *Pleydella aalense* (Ziet.) и *Hammatooceras tenuisigne* Vac., указывающие на присутствие рассматриваемого подъяруса.

В р. Чхриалетисгеле к нижнему аалену относятся красные известняки мощностью в 4—5 м с *Pompholites subtriglobis* (Liss.). Правда, эта форма, как было показано выше, может встречаться и в верхнем аалене, однако пока не имеется никаких данных о том, что на Дзирульском массиве под трансгрессивным байосом присутствуют более высокие горизонты, чем зона *Leioceras opalinum*.

Нижнеааленские отложения прослеживаются в долине р. Думалы (с. Беретиса), где они, по-видимому, представлены крупнозернистыми песчаниками (50—60 м).

На северо-восточной периферии массива ааленскому ярусу соответствует толща аргиллитов с прослоями слюдистых песчаников. В этих отложениях фауна не обнаружена, но непрерывность разреза от тоара до байоса разрешает предположить о наличии всего аалена.

В ущелье р. Кацхуры, в красных известняках мощностью в 6 м, наряду с митилоидами встречаются *Tatrophylloceras cf. tetricum* (Pusch), *Leioceras cf. costosum* (Quenst.) и *Hammatooceras tenuisigne* Vac. Указанная фауна, в частности *Leioceras cf. costosum* (Quenst.), позволяет эту пачку отнести к зоне нижнего аалена—*Leioceras opalinum*.

Подводя итог всему вышесказанному, можно заключить, что в нижнеюрских отложениях Дзирульского массива фаунистически устанавливается нижний синемюр, верхний синемюр (лотаринг), нижний плинсбах (карикс); в домере отмечается присутствие зон *Amaltheus margaritatus* и *Pleuroceras spinatum*, в тоаре—*Nargoceras falcifer*, *Hildoceras bifrons* и *Pseudogrammoceras fallaciosum*, а в нижнем аалене—*Dumortieria pseudoradiosa* и *Leioceras opalinum*.

Кроме того, следует отметить, что кварцево-слидистые песчаники являются скользящей фацией, возрастной диапазон которых охватывает синемюр—верхнюю часть нижней юры.

ПАЛЕОГЕОГРАФИЯ ДЗИРУЛЬСКОГО МАССИВА В РАННЕЮРСКОЕ ВРЕМЯ

Прежде чем перейти к рассмотрению интересующих нас вопросов, необходимо вкратце ознакомиться с палеогеографической обстановкой, которая предшествовала непосредственно юрскому периоду.

Происхождению свиты нижних туффитов предшествовал период континентальной денудации. За этот период вместе с породами кристаллического массива размылась большая часть кварц-порфировой свиты. Последняя, согласно Г. С. Дзэценидзе, Н. И. Схиртладзе и И. Д. Чечелашвили (1950, 1953), в предъюрское время почти непрерывной полосой окаймляла весь массив, за исключением его северо-восточной периферии, где в базальных образованиях нижней юры полностью отсутствует материал размыва кислых эфузивов.

В нижней части нижней юры, в геттанский век сохранились континентальные условия. Хотя все-таки в некоторой части массива, в частности на юго-западной периферии, произошли значительные изменения—денудация сменилась интенсивной аккумуляцией свиты нижних туффитов. Наличие в этих континентальных отложениях грубозернистых песчаников и глин с хорошо сохранившимися остатками флоры говорит в пользу отложения этих осадков в субакватных условиях. По-видимому, к этому времени Дзирульский массив представлял неровно денудированную сушу, в пониженных частях которой образовались временные водоемы, где совместно накапливался обломочный и пирокластический материал.

В начале синемюрского века начинаются нисходящие движения. Денудированная суша с неровным рельефом покрылась эпиконтинентальным морем, в прибрежной части которой накапливаются конгломераты и крупнозернистые кварцевые песчаники (рис. 11). В полосе рр. Нарулы—Мачарулы море наступало с запада. По нашим представлениям, синемюрские отложения имеются и на участках сс. Убиса—Чхиалетисгеле, в окрестностях с. Молити и на восточной периферии в районе с. Биджниси. Если правильны наши представления, то можно допустить, что море поступало и с юго-запада.

Одновременно та часть массива, которая оставалась вне водного покрова, являлась основным поставщиком терригенного материала для конгломератов и кварцевых песчаников. Обломоч-

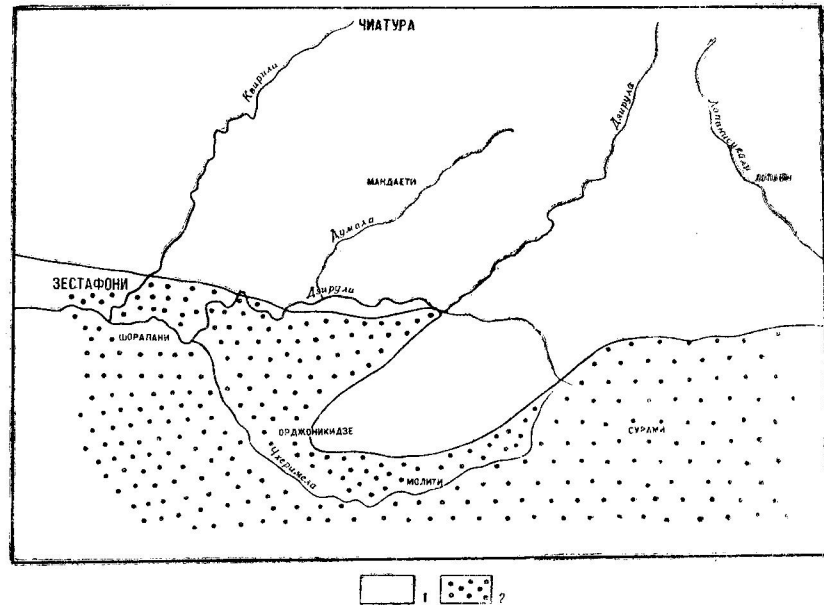


Рис. 11. Фациально-палеогеографическая схема Дзирульского массива для синемюра. 1—суша; 2—конгломераты и песчаники.

ный материал, видимо, поступал не только за счет абразии моря, но и в связи с деятельностью рек.

Полимиктовый состав и значительная мощность конгломератов определяет их происхождение в приусысных участках (Дзоценидзе, Схиртладзе и Чечелашвили, 1953), куда реки, производя эрозию, приносили материал размыва кристаллических пород. Наряду с этим, транспортировка материала шла не издалека, т. к. гальки конгломерата характеризуются плохой окатанностью. Очевидно, денудируемая сушица представляла местность с крутыми склонами, изрезанными короткими маловодными реками. По мере наступления моря, берег значительно отдался и крупнозернистая песчанистая фация сменилась мелкозернистыми или алевритовыми кварцево-слюдистыми песчаниками. Уменьшение размеров зерен в вертикальном направлении, четко выраженная слоистость

и присутствие фауны открытого моря, дают возможность рассматриваемые песчаники отнести к осадкам, отложившимся в перитовой области моря. Вместе с тем, наличие в этих песчаниках растительного детритуса и ископаемой фауны, среди которой преобладают мелководные формы, указывают на их образование недалеко от литоральной зоны.

В кариксе в районе с. Шроша и Убиса отлагаются известковистые песчаники, отличающиеся повышенным содержанием железа. Источником железа должна быть денудируемая сушица, которая при выветривании в условиях жаркого и влажного климата снабжала морской бассейн соответствующими продуктами. Железо отлагалось в море вместе с обломочным материалом, образуя оолитовый гематит. Наличие в песчаниках оолитов гематита указывает на их отложение недалеко от берега (Дзоценидзе и др., 1953).

Появление над песчаниками мергелистых пород и известняков совпадает с прекращением привноса терригенного материала. Это, по-видимому, было вызвано углублением морского бассейна. Наступление моря на массив продолжается, как видно, и в кариксе.

В некоторых районах массива условия осадконакопления остаются такими же как и в синемюре. В ущельях рек Чхриалетисгеле и Циагисгеле (окрестности с. Молити) продолжают накапливаться мелкозернистые кварцево-слюдистые песчаники, а на посточной периферии—крупнозернистые с подчиненными прослоями мелкозернистых слюдистых песчаников. Эта крупнозернистая фация скорее всего должна быть отнесена к отложениям литоральной зоны. Присутствие же в этих осадках единичных прослоев мелкозернистых песчаников ясно указывает на кратковременные колебания береговой линии.

Таким образом, восточная полоса выходов карикских отложений имеет более прибрежный характер, чем осадки южной и юго-западной периферий массива.

Крупнозернистые песчаники, так же как и мелкозернистые, сложены материалом, полученным за счет размыва кристаллических пород. Очевидно, прилегаемая сушица характеризовалась повышенным рельефом, что способствовало развитию речной системы.

В донерее трансгрессия моря, начавшаяся в нижней части нижней юры, значительно увеличивается. Трансгрессивное залегание донереских отложений в ущелье р. Кацхуры и в междуречье Лопаницкали—Дзирулы показывает, что море покрыло и северную и северо-восточную периферию (рис. 12). Следовательно, резко уменьшилась площадь Дзирульского массива. Однако море перекрыло массив неполностью, что подтверждается наличием терригенных отложений, полученных за счет размыза кристаллических пород. Прибрежная фация, подстилающая глинисто-мергелистую толщу, а также мелкозернистые песчаники южной периферии, заставляют искать источник сноса, т. е. сушу в центральной части массива. По-видимому, наступление моря проис-



Рис. 12. Фациально-палеогеографическая схема Дзирульского массива для донера. 1—суши; 2—конгломераты и песчаники; 3—известняки; 4—глинисто-мергелистые породы.

ходило на северную и северо-восточную периферию массива с геосинклинального бассейна южного склона.

Трансгрессивные донереские отложения всюду, за исключением ст. Салиети, где красные известняки непосредственно налегают на кристаллические породы, начинаются крупнозернистыми кварцевыми песчаниками. Местами в основании песчаников

подчищаются и конгломераты. Сравнительно малая мощность этой прибрежной фации, ее быстрая смена в вертикальном направлении глинисто-мергелистой толщей и известняками, является результатом быстрого продвижения моря в глубь суши. Этому, безусловно, способствовал довольно пониженный рельеф прилегающей суши (Кахадзе, 1947).

Появление глинисто-мергелистой фации открытого моря в междуречье рр. Лопаницкали—Дзирулы и окрестностей с. Биджиниси определенно связано с углублением морского дна.

В ущелье р. Кацхуры, в окрестностях ст. Салиети и на восточной периферии (с. Коби) глинисто-мергелистая фация замещается красными зоогенными известняками с фауной; т. к. она в основном состоит из плеченогих, приходится считать, что имеющиеся породы должны были отложиться в условиях мелкого открытого моря. По-видимому, донерское море отлагало известняки на всей северной периферии массива, на что указывает нахождение ксенолита известняка в жиле порфирита в окрестностях сел. Чалы, расположенного восточнее последнего выхода известняков Чнатурекского района (Кахадзе, 1947). К такому же выводу можно прийти, рассматривая известняки, включенные в порфиритовую свиту байоса окрестностей с. Цедани, с той лишь разницей, что в море, которое занимало площадь восточной периферии, одновременно с красными известняками отлагались и сплошные породы (с. Биджиниси).

Происхождение конгломератов, встречающихся среди известняков по ущелью р. Кацхуры, связано с местным поднятием морского дна во время седиментации известняков.

В междуречье рр. Нарулы—Мачарулы, а также в окрестностях сел. Убиса, донер представлен мергелистыми и красными приморовидными известняками богатыми фауной. Общий характер этой фауны при резком преобладании головоногих явно указывает на углубление морского бассейна и на его связь со средиземноморской и среднеевропейской провинциями.

В ущельях рр. Чхриалетисгеле и Циагисгеле в донере чисты такие накоплялись кварцево-слюдистые песчаники, мелководный характер которых не вызывает сомнения.

В тоарский век на северной периферии массива море прошипалось к югу; море проникло в окрестности с. Беретиса

(долина р. Думала), где в прибрежных условиях накапливались конгломераты и грубозернистые песчаники. Вверх по разрезу грубозернистые песчаники переходят в мелкозернистые, появление последних безусловно связано с продвижением береговой линии в глубь суши. Материал, слагающий прибрежную фацию, состоит из пород, полученных за счет размыва кристаллического массива. Следовательно, на нем и в тяге сохранился участок, который оставался вне водного покрова (рис. 13).

Отсутствие в этом районе домерских отложений, как это было в свое время показано И. Р. Каходзе (1947), произошло результате запоздания трансгрессии. Как видно, в тоаре море в этом участке появилось значительно позже, чем в полосе с. Гвиригвина—Чонто.

На всей остальной территории массива условия седимен-
тации почти не изменились по сравнению с предшествующи-
м веком. В районе развития красных известняков накапливались те-
же породы, а на северо-восточной периферии массива про-
должала отлагаться глинисто-мергелистая фация. По-видимому
очертания моря, существовавшие в тоаре, остаются приблизитель-
но такими же, как и в домере. Возможно, некоторое переме-
щение береговой линии имело место на участке р. Чхриалетис-
геле. Здесь наблюдается незначительное углубление моря, выра-
зившееся в смене терригенной фации зоогенным известняками
фауны митилонид и головоногих.

С ааленским веком совпадает регрессия, которая увязывается с предбайосской орогенетической фазой. Признаки этой регрессии хорошо фиксируются в окрестностях сел. Беретика, где мелкозернистые слюдистые песчаники в верхней части смешиваются крупнозернистыми. Отзвуком ааленской регрессии является также обогащение глинистых пород песчанистым материалом в полосе сс. Гвиргвина—Чонто. Правда, в этом районе перекрытие между ааленом и байссом не наблюдается, но появление песчаников, видимо, связано с обмелением, вызванным отступлением береговой линии.

В окрестностях ст. Салиети, с. Кацхи и на всей южной периферии массива, в области распространения красных извест.

ийков, стратиграфическое несогласие между ааленом и байосом определено указывает на эмерсию, образовавшуюся в результате регрессии моря. Однако установить начало этой регрессии не удается, поскольку фауна красных известняков без каких-либо изменений выдерживается до нижнего аалена, а верхние горизонты аалена отсутствуют.

Таким образом, как видно из высказывания, непосредственных данных для того, чтобы увязать регрессию с какой-

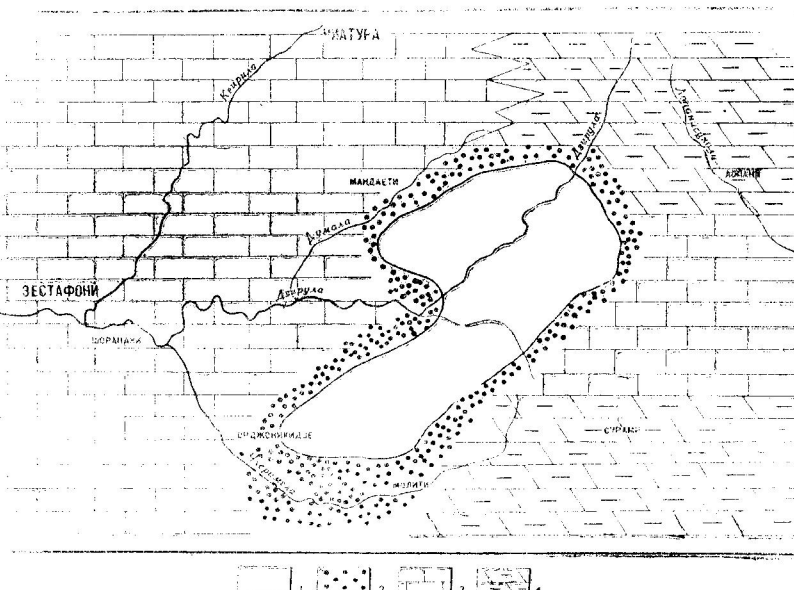


Рис. 13. Фациально-палеогеографическая схема Дзириульского массива для горы Тасула; 1—контакты и песчаники; 2—известники; 3—гравийники; 4—мергелистые породы.

и будь частью яруса, мы не имеем. Но тем не менее, обединение фауны аммонитов в нижнем аалене заставляет предполагать, что первая Россия началась в нижней части этого яруса.

ОПИСАНИЕ ФАУНЫ (ГОЛОВОНОГИЕ)

Класс CEPHALOPODA

Подкласс ECTOCOCHLIA

Надотряд AMMONOIDEA

Отряд Ammonitida

Подотряд Phylloceratina

Надсемейство Phyllocerataceae

Семейство JURAPHYLLITIDAE Arkell, 1950

Род Juraphyllites Müller, 1939

Juraphyllites planispira (Reynes)

Табл. I, фиг. 1а, 16

1886. Rhacophyllites cf. planispira Geyer, стр. 227, табл. II, фиг. 3
a—c.

1893. Phylloceras planispira Geyer, стр. 47, табл. VII, фиг. 2
a—c.

1909. Rhacophyllites cf. planispira Rosenberg, стр. 228, табл.
XI, фиг. 12 a—b.

1934. Rhacophyllites planispira Monestier, стр. 20, табл. III,
фиг. 55, 59, 60, 62, 63.

В коллекции данный вид представлен многочисленными аммонитами. Рассматривая наши экземпляры можно согласиться с мнением Ж. Монестье (Monestier, 1934), что данный вид, по-видимому, всегда представлен молодыми формами.

Размеры:

Д ¹	П	В	Т
Обр. 164/70 23,7 мм (100)	5 мм (21)	10,7 мм (45)	5,8 мм (24)
Обр. 156/70 20,2 мм (100)	4,6 мм (22)	9 мм (45)	5 мм (24)
Обр. 159/70 16,3 мм (100)	3,7 мм (22)	7,2 мм (44)	4 мм (24)

Описание. Раковина уплощенная, с медленно объемлющими оборотами, которые в поперечном сечении имеют овальную

¹ Д—общий диаметр раковины; П—ширина пупка; В—высота оборота; Т—толщина оборота.

форму. Наружная сторона округлая. Пупок умеренно широкий, с отвесными низкими стенками.

Перегородочная линия удовлетворительной сохранности. Первая боковая лопасть двуветвистая. Вторая боковая лопасть, которая по сравнению с первой короче, плохо сохранена и поэтому число ветвей не видно. Наружное седло трехлепестковое, первое и второе боковые седла оканчиваются двумя лепестками. Слаборасчлененное, первое вспомогательное седло имеет один лепесток.

Сравнение. От наиболее близкого вида *Juraphyllites stellata* (Sow.) (Geyer, 1886, стр. 224, табл. III, фиг. 17—19) описываемая форма отличается меньшим размером и формой поперечного сечения оборота.

Геологический возраст и распространение. Нижняя и средняя часть нижней юры Швейцарии, Австрии; домер Франции.

Местонахождение. Ущелье р. Нарулы, окрестности с. Циплаваке, фиолетовые мергели и известняки, карикс; ущелье р. Дзирулы (с. Шроша), красноватые известняки с остатками криноидей, карикс.

Количество экземпляров—31.

Juraphyllites libertus (Gemmellaro)

Табл. I, фиг. 2

1893. Rhacophyllites libertus Geyer, стр. 48, табл. VI, фиг.
8—12.

1899. Rhacophyllites libertus Fucini, стр. 8, табл. XX(II),
фиг. 1.

1900. Rhacophyllites libertus Bettoni, стр. 38, табл. III, фиг.
2, 3, 4; табл. IX, фиг. 1.

1901. Rhacophyllites libertus Fucini, стр. 71, табл. XII, фиг.
5—8.

1909. Rhacophyllites libertus Rosenberg, стр. 223.

1913. Rhacophyllites libertus Haas, стр. 24, табл. I (III), фиг.
16—17.

1927. Rhacophyllites libertus Schröder, стр. 143, табл. VIII (II),
фиг. 3 а, б.

1934. *Rhacophyllites libertus* Monestier, стр. 17, табл. IV, фиг. 1, 5; табл. V, фиг. 14; табл. VI, фиг. 1, 6, 11.
 1966. *Juraphyllites libertus* Нуцубидзе, стр. 55, табл. IX, фиг. 4—5.

К описываемому виду принадлежат аммониты удовлетворительной сохранности.

Размеры:

	Д	П	В	Т
Обр. 165/70	35 мм(100)	9 мм(25)	15,1мм(43)	10,3мм(29)

Описание. Раковина со слабо объемлющими оборотами и незначительно выпуклыми боками. Поперечное сечение последнего оборота имеет форму овала. Наибольшая толщина оборота находится ниже середины. Пупок умеренно широкий, с отвесными стенками.

Скульптура состоит из довольно глубоких и широких четырех пережимов. Они начинаются у пупкового края и радиально направляются к брюшной поверхности, где образуют обращенную вперед дугу.

В перегородочной линии, кроме наружной лопасти и седла, сохранились почти все элементы. Первая боковая лопасть трехветвистая, вторая боковая—двухветвистая, вспомогательные лопасти слабо расчленены. Первое и второе боковые седла оканчиваются двумя лепестками, а вспомогательное седло—одним лепестком.

Сравнение. Описываемый экземпляр по очертаниям и особенностям своей скульптуры приближается к *Juraphyllites timatensis* (d'Orb.), изображенном Ж. Монестье (Monestier, 1834, табл. V, фиг. 35), отличаясь меньшим количеством пережимов и относительно широким пупком.

Геологический возраст и распространение. Плинсбах Швейцарии, Италии, Германии, Франции и Грузии—Дзирульский массив.

Местонахождение. Ущелье р. Квирилы (с. Мартотубани), ущелье р. Дзирулы (с. Шроша), красные известняки, домер.

Количество экземпляров—2.

Семейство **PHYLLOCERATIDAE** Zittel, 1884
 Подсемейство **PHYLLOCERATINAE** Zittel, 1884

Род **Phylloceras** Suess, 1865
Phylloceras hebertinum (Reynes)

Табл. I, фиг. 3а, 3б

1893. *Phylloceras meneghini* Geyer, стр. 41, табл. V, фиг. 4—6.
 1899. *Phylloceras Meneghini* Fucini, стр. 150, табл. XIX, фиг. 7а, б.
 1900. *Phylloceras Hebertinum* Bettoni, стр. 43.
 1901. *Phylloceras Meneghini* Fucini, стр. 40, табл. VI, фиг. 4, 5.
 1909. *Phylloceras Meneghini* Rosenberg, стр. 208.
 1913. *Phylloceras* cf. *Hebertinum* Haas, стр. 16, табл. I, фиг. 10; табл. VII, фиг. 4.
 1913. *Phylloceras Meneghini* Haas, стр. 17, табл. I, фиг. 11—12; табл. VII, фиг. 5.
 1934. *Phylloceras Hebertinum* Monestier, стр. 12, табл. VI, фиг. 22, 23; табл. IX, фиг. 1, 2, 5—7, 12, 30, 31; табл. XI, фиг. 18.
 1947. *Phylloceras hebertinum* Крымгольц, стр. 161, табл. XXV, фиг. 2а, б.
 1955. *Phylloceras hebertinum* Топчишили, стр. 4, табл. I, фиг. 1, 2.
 1956. *Phylloceras hebertinum* Нуцубидзе, стр. 56, табл. X, фиг. 1—2.
 1967. *Phylloceras* cf. *hebertinum* Géczy, стр. 12, табл. II, фиг. 1; табл. LXIII, фиг. 4.

Аммониты состоят из хорошо сохранившихся ядер.

Размеры:

	Д	П	В	Т
Обр. 169/70	39 мм (100)	4,6 мм (11)	21,6 мм (55)	19 мм (48)
Обр. 167/70	42 мм (100)	5 мм (11)	23,4 мм (55)	19,2 мм (45)

Описание. Раковина вздутая и инволютная. Высокий последний оборот почти полностью перекрывает предыдущие. Сечение оборотов овальное, боковые стороны выпуклые. Наи-

большая толщина оборота находится посередине. Наружная сторона закруглена. Пупок узкий, с отвесными стенками.

Перегородочная линия не наблюдается.

Сравнение. Экземпляр, описанный Г. Гейером (Geyer, 1893, табл. V, фиг. 5), проявляет те же основные признаки, что и рассматриваемая форма. Небольшое отличие заключается в форме поперечного сечения последнего оборота, что, по-видимому, должно быть результатом возрастной изменчивости.

От близкого *Phylloceras frondosum* (Reup.) (Haas, 1913, стр. 15, табл. I, фиг. 8, 9) наш экземпляр отличается более выпуклыми боками и более узким пупком.

Геологический возраст и распространение. Домер Австрии, Италии, Германии, Франции, Венгрии, Сибири Северного Кавказа и Грузии—Дзириульский массив.

Местонахождение. Ущелье р. Квирилы (с. Мартотубани), окрестности с. Циплааке, р. Глинависгеле, красные известняки, домер.

Количество экземпляров—7.

Phylloceras perzetes Monestier

Табл. I, фиг. 4

1934. *Phylloceras perzetes* Monestier, стр. 14, табл. IV, фиг. 37.

1965. *Phylloceras perzetes* Топчишили, стр. 5, табл. II, фиг. 3.

В коллекции этот вид представлен ядром удовлетворительной сохранности.

Размеры:

Д П В Т

Обр. 173/70 27 мм (100) 1,6 мм (5) 15,8 мм (58) 7 мм (26)

Описание. Раковина уплощенная, с умеренно возрастающими в высоту оборотами. Уплощенные боковые поверхности равномерно сближаются как к пупку, так и к наружной стороне. Пупок очень узкий и почти полностью перекрывается оборотами, которые в поперечном сечении имеют форму сдавленного с боков овала.

Перегородочная линия плохой сохранности. Она представлена первой боковой лопастью и седлом. Первая боковая

лопасть двуветвистая. Седло оканчивается лепестками, количество которых из-за плохой сохранности невозможно определить.

Сравнение. Наш образец очертанием раковины и высокими оборотами весьма приближается к *Phylloceras zetes* (d'Orb.) (Fucini, 1899, стр. 148, табл. XIX, фиг. 4), от которого отличается более узким пупком и формой поперечного сечения оборота.

Геологический возраст и распространение. Домер Франции и Грузии—Дзириульский массив.

Местонахождение. Ущелье р. Дзириулы (с. Шроша), красные известняки и мергели, домер.

Количество экземпляров—1.

Phylloceras bonarelli Bettioni

Табл. I, фиг. 5 а, 5 б

1900. *Phylloceras Zetes* Bettioni, стр. 39 (частично), табл. IX, фиг. 2.

1900. *Phylloceras Bonarelli* Bettioni, стр. 41, табл. III, фиг. 9.

1901. *Phylloceras Bonarelli* Fucini, стр. 38, табл. VI, фиг. 3.

1934. *Phylloceras cf. Bonarelli* Monestier, стр. 13, табл. IX, фиг. 20, 22; табл. XI, фиг. 21.

1942. *Phylloceras Bonarelli* Bettioni nov. var. Otkun, стр. 22, табл. II, фиг. 2, 2а.

1967. *Phylloceras bonarelli* Géczy, стр. 11, табл. III, фиг. 1, 2; табл. LXIII, фиг. 2, 3.

К данному виду принадлежат ядра различной величины.

Размеры:

Д П В Т

Обр. 174/70 57,5 мм (100) 4 мм (6) 34 мм (59) 19,4 мм (33)

Обр. 176/70 43 мм (100) 2,7 мм (6) 24 мм (55) 14 мм (32)

Описание. Раковина с быстро возрастающими в высоту сильно объемлющими оборотами. Наибольшая толщина находится ниже середины высоты оборота, недалеко от пупкового края. Боковые стороны уплощены и наклонены к наружной поверхности, где, соединяясь, образуют маленький дугообразный изгиб. Пупок очень узкий, с отвесными стенками.

Перегородочная линия не наблюдается.

Сравнение. Г. Откун (см. выше), выделяя из этого вида вариетет, отмечает, что в отличие от типа он имеет более узкий пупок, резкий переход боковых сторон к пунковому краю и иную форму поперечного сечения оборотов. С последним отличительным свойством мы не можем согласиться, т. к. боковые поверхности формы, изображенной А. Беттони (см. выше), также наклонены к наружной поверхности и образуют совершенно тождественную разновидность Г. Откуна форму поперечного сечения. Исходя из высказанного, мы приходим к заключению, что те маленькие различия, которые отмечает Г. Откун, не являются существенным основанием для выделения вариетета. Поэтому мы вполне соглашаемся с Б. Геци (см. выше), который внес форму Г. Откуна в синонимику данного вида.

По общему облику раковины наша форма довольно схожа с предыдущим видом, однако отличается от него более широким пупком и сравнительно толстыми оборотами.

Геологический возраст и распространение. Плинибах Игалии, Франции, Турции и Венгрии.

Местонахождение. Ущелье р. Квирилы (с. Мартотубани), красные известняки, дамер; ущелье р. Дзирулы (с. Шроша), красные известняки с остатками криноидей, карике.

Количество экземпляров—6.

Род *Calliphylloceras* Spath, 1927

Calliphylloceras nilssoni (Hebert)

Табл. I, фиг. 6

1871. *Phylloceras Nilssoni* Neumaug, стр. 330, табл. XIV, фиг. 4, 5.

1881. *Phylloceras Nilssoni* Meneghini, стр. 96, табл. XVIII, фиг. 7, 9.

1886. *Phylloceras Nilssoni* Vaček, стр. 67, табл. IV, фиг. 1—7.

1906. *Phylloceras Nilssoni* Renz, стр. 287, табл. XIII, фиг. 6.

1912. *Phylloceras Geyeri* Haas, стр. 4, табл. XX, фиг. 27.

1919. *Phylloceras Nilssoni* Fucini, стр. 6, табл. XVI, фиг. 3.

1927. *Phylloceras Nilssoni* Schröder, стр. 127, табл. VII (I),

фиг. 7а—с, 8.

1965₁. *Calliphylloceras nilssoni* Топчишили, стр. 6, табл. II, фиг. 4.

В коллекции этот вид представлен ядрами хорошей сохранности,
58

Размеры:

	Д	П	В	Т
Обр. 180/70	53,5 мм (100)	4,5 мм (8)	28,7 мм (53)	21,8 мм (40)
Обр. 189/70	56,4 мм (100)	4,6 мм (8)	32 мм (56)	—
Обр. 187/70	31,3 мм (100)	3,1 мм (9)	17,3 мм (55)	—

Описание. Раковина средней толщины, сильно инволютная, с незначительно уплощенными боками и высокими оборотами. Поперечное сечение оборотов имеет форму овала с наибольшей толщиной в нижней части. Переход с боковых сторон к наружной постепенный. Пупок узкий и глубокий, с почти вертикальными стенками.

На последнем обороте имеется шесть пережимов. Вблизи пункового края пережимы слегка изгибаются назад и, отклоняясь от радиуса, направляются к наружной поверхности.

Из элементов перегородочной линии, кроме вспомогательных дощатей, все элементы хорошо наблюдаются. Первая боковая дощатья трехветвистая, вторая—двухветвистая. Первая боковая дощатья значительно глубже второй. Наружное седло оканчиваются двумя лепестками, первое боковое—тремя, а второе боковое и первое вспомогательное—двумя лепестками. Остальные вспомогательные седла оканчиваются одним лепестком.

Сравнение. От наиболее сходного по форме раковины и пренебрежимо лёгкой линии *Calliphylloceras nilssoni* (Heb.) (d'Orbigny, 1849, стр. 342, табл. 110, фиг. 1—3), с которым описываемый вид иногда объединяют, отличается более прямыми, неизгибающимися в средней части пережимами.

По очертаниям раковины и пережимов рассматриваемый вид приближается к *Calliphylloceras supralasicum* (Pompr.) (Крымовац, 1961, табл. I, фиг. 3), от которого отличается сравнительно широким пупком и меньшим количеством пережимов. Причем последние на нашей форме более резко выражены.

Геологический возраст и распространение. Нижняя часть нижней юры и нижний додгер Германии, Италии, Греции и Грузии—Дзирульский массив.

Местонахождение. Правый берег (с. Мартотубани) и левый берег (сс. Сагвание—Санахшире) ущелья р. Квирилы,

ущелья рр. Глиниависгеле (с. Циплагаке), Дзирулы (с. Шроша) и Кацхуры (с. Кацхи), красные известняки, тоар—нижний зален.

Количество экземпляров—17.

Calliphylloceras dzirulensis (Djanelidze)

Табл. I, фиг. 7

1946. *Phylloceras heterophyllum* Sow. var. *dziruiensis* Джанелидзе, т. VII, № 4, стр. 173.

1966. *Calliphylloceras dzirulensis* Нуцубидзе, стр. 58, табл. X, фиг. 3, За; табл. XI, фиг. 3.

В нашем распоряжении имеются ядра различной величины, среди которых некоторые достигают весьма крупных размеров.

Размеры:

	Д	П	В	Т
Обр. 196/70	61,5 мм (100)	3,6 мм (5)	31,8 мм (51)	16,5 мм (26)
Обр. 198/70	109,6 мм (100)	5,6 мм (5)	62,1 мм (56)	30,6 мм (27)

Описание. Раковина уплощенная, с высокими оборотами. Последний оборот почти полностью перекрывает предыдущие. Поперечное сечение оборотов оральное. Наибольшая толщина приходится на нижнюю часть. Наружная поверхность округлая. Пупок очень узкий, с пологими стенками.

На раковине наблюдается от 6 до 10 пережимов, которые начинаются у пупка и радиально направляются к наружной поверхности, где изгибаются вперед.

Все элементы перегородочной линии хорошо сохранились. Лопасти сильно расчленены. Первая боковая лопасть гораздо глубже второй. Наружное седло имеет двухлепестковое окончание, первое боковое—трехлепестковое. Второе боковое и первое вспомогательное седла оканчиваются двумя лепестками, а остальные вспомогательные седла—одним лепестком.

Сравнение. От *Phylloceras heterophyllum* (Sow.), описанного и изображенного М. Неймайром (Neumayr, 1871, стр. 309, табл. XII, фиг. 1), описанный вид главным образом отличается наличием пережимов.

Геологический возраст и распространение. Верхняя часть нижней юры Грузии—Дзирульский массив.

Местонахождение. Ущелье р. Нарулы, правый (с. Мартвили) и левый берег (с. Сагвиле—Санахизе) ущелья реки Арилы, окрестности с. Циндахаке, ущелья рр. Глиниависгеле, Дзирулы (с. Шроша) и Кацхуры (с. Кацхи), красные известняки, тоар—нижний зален.

Количество экземпляров—26.

Calliphylloceras emeryi (Bettoni)

Табл. II, фиг. 1а, 1б

1934. *Phylloceras* sp. ind. aff. *Nilssoni* Geyer, стр. 38, табл. V, фиг. 1а—1б.

1937. *Phylloceras Emeryi* Bettoni, стр. 49, табл. IV, фиг. 2—4.

1944. *Phylloceras Emeryi Fucini*, стр. 44, табл. VI, фиг. 6а, б.

1953. *Holcophylloceras emeryi* Нуцубидзе, стр. 62, табл. X, фиг. 4 а, б.

1957. *Calliphylloceras emeryi* Géczy, стр. 24, табл. V, фиг. 9; табл. VI, фиг. 2; табл. VII, фиг. 1; табл. LXIII, фиг. 21.

В коллекции имеются ядра хорошей и удовлетворительной сохранности.

Размеры:

	Д	П	В	Т
обр. 211/70	60,7 мм (100)	6,2 мм (10)	30,7 мм (51)	21,6 мм (35)

Описание. Раковина средней толщины, с сильно объемными оборотами. Поперечное сечение последнего оборота имеет форму овала. Наибольшая толщина оборота находится предварительно посередине. Боковые стороны выпуклые, переходящие к наружной поверхности и к пупковому краю постепенно. Наружная поверхность закруглена. Пупок узкий.

Перегородочная линия сохранилась только на одном экземпляре. Первая боковая лопасть очень широкая и оканчивается тремя ветвями, вторая боковая лопасть менее глубокая и уже не трой. Она так же, как и третья боковая,—двухветвистая. Наружное седло оканчивается двумя лепестками, первое боковое—тремя, второе боковое и первое вспомогательное—двумя лепестками. Остальные вспомогательные седла оканчиваются одним лепестком.

Сравнение. По очертаниям раковины, степени инволюции оборотов описываемая форма приближается к изображенной Г. Гейером (Geyer, 1893, табл. IV, фиг. 1—6) *Calliphylloceras capitanei* (Catt.), от которой отличается менее уплощенными оборотами и иным поперечным сечением оборота, а также большим количеством пережимов. Кроме того, для пережимов нашей формы характерен резкий изгиб у пупкового края.

Геологический возраст и распространение. Домер Италии, Швейцарии, Венгрии, Грузии—Дзирульский массив.

Местонахождение. Ущелья рр. Нарулы и Квирилы (с. Мартотубани), мергели и красные известняки, домер; ущелье р. Дзирулы (у Самебского моста), красные известняки, домер.

Количество экземпляров—6.

Calliphylloceras aveugonense (Meneghini)

Табл. II, фиг. 2

- 1881. *Phylloceras aveugonense* Meneghini, стр. 93.
- 1921. *Phylloceras aveugonense* Monestier, стр. 10, табл. III, фиг. 4, 9, 10; табл. IV, фиг. 8.
- 1942. *Phylloceras aveugonense* Otkun, стр. 21, табл. I, фиг. 1 ?, 2—6.
- 1966. *Holcophylloceras aveugonense* Нуцубидзе, стр. 61, табл. XI, фиг. 4—5.
- 1967. *Calliphylloceras aveugonense* Géczy, стр. 36, табл. V, фиг. 6, 7; табл. LXIII, фиг. 34, 35.

В коллекции этот вид представлен ядрами удовлетворительной сохранности.

Размеры:

Д	П	В	Т
Обр. 207/70	40 мм (100)	2,4 мм (6)	22 мм (55)

Описание. Раковина средней толщины, с уплощенными боками. Обороты сильно объемлющие, имеют в поперечном сечении форму овала. Боковые стороны последнего оборота почти параллельны друг другу. Наружная сторона широкая, закругленная. Пупок очень узкий.

Скульптура состоит из 5 слабо изгибающихся пережимов.

Сравнение. По форме раковины и сечению оборота, рассматриваемая форма очень похожа на описанный выше *Calliphylloceras nilssoni* (Neb.). Отличие между ними заключается в количестве пережимов и величине пупка. *Calliphylloceras aveugonense* (Menegh.) имеет меньшее число пережимов и более узкий пупок.

От близкого *Calliphylloceras spadae* (Meneghini) (1881, стр. 93, табл. XIX, фиг. 1—4) описываемая форма отличается меньшим количеством пережимов.

Геологический возраст и распространение. Верхний тоар Италии, Франции, Венгрии и Грузии—Дзирульский массив; нижний аален Турции.

Местонахождение. Ущелье р. Квирилы (с. Мартотубани), красные известняки, верхний тоар.

Количество экземпляров—4.

Calliphylloceras thevenini (Monestier)

Табл. II, фиг. 3а, 3б

- 1921. *Phylloceras Thevenini* Monestier, стр. 10, табл. III, фиг. 33—35; табл. IV, фиг. 7.

В коллекции данный вид представлен ядрами удовлетворительной сохранности.

Размеры:

Д	П	В	Т
Обр. 214/70	47 мм (100)	2,7 мм (5)	29,5 мм (62)

Описание. Раковина средней толщины с умеренно возрастающими в высоту оборотами; последний оборот почти полностью перекрывает предыдущие. Обороты высокие, с уплощенными боками, которые округло переходят в брюшную поверхность. Поперечное сечение оборотов овальное. Пупок очень узкий, с пологими стенками.

Поверхность раковины покрыта очень слабо выраженными пережимами.

Сравнение. Из видов наиболее близких к описываемому можно отметить *Calliphylloceras selinoides* (Meneghini) (1881, стр. 90, табл. XIX, фиг. 5, 6), у которого поперечное сечение оборота

приближается к эллипсоидальной форме, а пережимы более четкие.

Геологический возраст и распространение. Верхний тоар Франции.

Местонахождение. Ущелье р. Квирилы (с. Мартотубани), красные известняки, верхний тоар.

Количество экземпляров—1.

Род *Tatrophylloceras* Besnossow, 1957

Tatrophylloceras tetricum (Pusch)

Табл. II, фиг. 4а, 4б

1837. *Ammonites tetricum* Pusch, стр. 158, табл. XIII, фиг. 11а, б.

1853. *Ammonites tetricum* Oppel, стр. 216.

1869. *Phylloceras tetricum* Zittel, стр. 61, табл. I, фиг. 1а, б, 2, 3.

1871. *Phyiloceras tetricum* Neumayr, стр. 322, табл. XVI, фиг. 2.

1874. *Ammonites tetricus* Dumortier, стр. 271, табл. LVII, фиг. 5 и 6.

1886. *Phylloceras tetricum* Vaček, стр. 68, табл. V, фиг. 1—6.

1958. *Tatrophylloceras tetricum* Безносов, стр. 29, табл. III, фиг. 3а, б.

1966. *Tatrophylloceras tetricum* Нуцубидзе, стр. 59.

К данному виду принадлежит несколько ядер удовлетворительной сохранности.

Размеры:

	Д	П	В	Т
Обр. 215/70	94 мм (100)	9 мм (9)	55 мм (58)	38 мм (40)
Обр. 218/70	48 мм (100)	4,5 мм (9)	27,8 мм (58)	19,5 мм (40)

Описание. Раковина средней толщины, с сильно объемлющими и умеренно возрастающими в высоту оборотами. Боковые стороны слабо выпуклы и постепенно спускаются к пупку. Вверху они сравнительно быстро переходят в слабо дугообразно выгнутую наружную поверхность. Поперечное сечение последнего оборота овальное. Пупок узкий.

На раковине наблюдаются валики, которые появляются при высоте оборота почти 40—50 мм. Валики особенно четко выражены на сифональной поверхности, где слабо изгибаются впе-

реди снеги среди они ограничены очень слабыми пережимами, которые имеют такое же очертание.

Перегородочная линия сохранилась лишь отдельными элементами. Первая боковая лопасть трехветвистая. Наружное седло, так же как первое и второе боковые, оканчивается двумя выростами.

Сравнение. Наша форма очертанием раковины и характером скульптуры проявляет большое сходство с *Tatrophylloceras heinosuleatum* Besnossow (Безносов, 1958, стр. 30, табл. IV, фиг. 1а, б; 2а, б; 3), от которого отличается строением перегородочной линии и более выпуклыми боками.

Геологический возраст и распространение. Аален Польши, Германии, Франции, Италии и Северного Кавказа; нижний аален Грузии—Южный склон Б. Кавказа.

Местонахождение. Правый (с. Мартотубани) и левый берег (с. Сагвине—Санахшире) ущелья р. Квирилы, ущелья рр. Глинависгеле (с. Цинлаваке), Кацахуры (с. Кацхи), красные известняки, нижний аален.

Количество экземпляров—5.

Подотряд *Lytoceratina*

Надсемейство *Lytocerataceae*

Семейство *LYTOCERATIDAE* Neumayr, 1875

Подсемейство *LYTOCERATINAE* Neumayr, 1875

Род *Lytoceras* Suess, 1865

Lytoceras gauthieri (Reynes)

Табл. III, фиг. 1

Фиг. *Lytoceras Gauthieri Bettoni*, стр. 28, табл. III, фиг. 1.

Имеется ядро удовлетворительной сохранности.

Размеры:

	Д	П	В	Т
Обр. 220/70	34,4 мм (100)	12,5 мм (36)	13 мм (37)	9,5 мм (27)

Описание. Раковина уплощенная, с умеренно возрастающими в высоту оборотами. Поперечное сечение оборотов имеет овальную форму. Пупок широкий, с отвесными стенками.

На боковой поверхности раковины наблюдается четыре радиальных пережима, из которых последний выделяется более четко.

Перегородочная линия не сохранилась.

Сравнение. Особенностью, отличающей этот вид от близкого ему *Lytoceras czizekii* (Hauer) (Bettoni, 1900, стр. 27, табл. VIII, фиг. 3), является уплощенность боковых сторон оборота.

Геологический возраст и распространение. Домер Италии.

Местонахождение. Ущелье р. Лопаницкали (с. Гвиргвина), мергели, домер.

Количество экземпляров—1.

Lytoceras rasile Vaček

Табл. III, фиг. 2

1886. *Lytoceras rasile* Vaček, стр. 63, табл. III, фиг. 5—8.
1966. *Megalytoceras rasile* Нуцубидзе, стр. 66, табл. XIV, фиг. 2а; табл. XV, фиг. 1.
1967. *Lytoceras rasile* Géczy, стр. 70, табл. XXII, фиг. 2, 4; табл. XXIII, фиг. 3; табл. LXIV, фиг. 24.

В нашем распоряжении один образец, имеющий ряд признаков, позволяющих отождествить его с данным видом.

Размеры:

Д	П	В	Т
Обр. 222/70	27 мм (100)	13,3 мм (49)	9,2 мм (34)

Описание. Раковина средней толщины с едва объемлющими оборотами. Поперечное сечение последних почти круглое. Наибольшая толщина оборота находится посередине. Боковые стороны равномерно выпуклые и постепенно переходят в сифональную поверхность, которая широко-округлая. Пупок широкий, с отвесными стенками.

Поверхность раковины покрыта очень тонкими нитевидными валиками. Они начинаются у пупкового края и радиально переходят в округлую наружную поверхность.

Сравнение. От близкого описанного и изображенного L. Bettoni *Lytoceras capellini* Bett. (1900, стр. 37, табл. II, фиг. 6) наша форма отличается наличием радиальных валиков.

Геологический возраст и распространение. Айлен Италии, Венгрии и Грузии—Дзибульский массив.

Местонахождение. Ущелье р. Квирилы (ст. Сагнети), красные известняки, нижний аален.

Количество экземпляров—2.

Lytoceras aff. sepositum Meneghini

Табл. III, фиг. 3

В коллекции имеются ядра различной сохранности.

Размеры:

Д	П	В	Т
Обр. 223/70	28 мм (100)	12,3 мм (43)	7,5 мм (26) 11,2 мм (40)

Описание. Раковина с медленно возрастающими в высоту выпуклыми оборотами. Ширина последнего оборота превосходит высоту, благодаря этому его поперечное сечение приближается к поперечно-овальной форме. Пупок широкий, с отвесными высокими стенками.

При высоте почти 22 мм на боковой поверхности последнего оборота появляются концентрические ребра. Они возникают на стенах пупка, переходят на боковую, а затем и на наружную поверхность. Ребра расположены сравнительно редко. Промежутки между ними вдвое шире самих ребер.

Сравнение. Описываемая форма похожа на *Lytoceras sepositum* Meneghini (1881, стр. 109, табл. XXII, фиг. 3, 4) сондам очертанием раковины и отсутствием ребер на ранних оборотах.

Отличие между ними выражается в форме поперечного сечения оборота и в характере скульптуры. Рассматриваемая форма имеет более низкое поперечное сечение и высокие редко расположенные ребра.

Местонахождение. Ущелье р. Квирилы (с. Мартот-чхан), красные известняки, верхний тоар.

Количество экземпляров—2.

Lytoceras vačekii Thoptchishvili

Табл. III, фиг. 4а, 4б

1886. *Lytoceras* n. sp. ind. Vaček, стр. 64, табл. I, фиг. 6, 7.
1965₁. *Lytoceras vačekii* sp. n. Топчишвили, стр. 9, табл. I,
фиг. 7.

Голотип. Геологический ин-т АН ГССР, № 225/70; ущелье р. Квирилы (с. Мартотубани); красные известняки нижнего аалена.

В коллекции данный вид представлен хорошо сохранившимся ядром.

Размеры:

	Д	П	В	Т
Обр.225/70	51 мм (100)	25 мм (49)	16,6 мм (32)	21,5 мм (42)

Описание. Раковина почти вздутая, состоящая из умеренно возрастающих оборотов. Каждый из них едва объемлет предыдущий. Их поперечное сечение имеет поперечно-ovalную форму. Наибольшая ширина находится почти посередине высоты оборота. Наружная поверхность выпуклая, дугобразная, постепенно переходящая в боковые стороны. Переход последних в стенки пупка более резкий. Пупок широкий, с отвесными стенками.

На поверхности ядра прослеживаются пережимы, которые, начинаясь у пупка, непрерывно переходит на сифональную поверхность.

Сравнение. Наибольшее сходство описанный вид проявляет с *Lytoceras rasile* Vaček (см. выше), от которого отличается поперечно-ovalным сечением и отсутствием валиков.

Геологический возраст и распространение. Аален Италии и Грузии—Дзирульский массив.

Местонахождение. Левый берег ущелья р. Квирилы (с. Сагвине—Санахшире), красные известняки, нижний аален.

Количество экземпляров—1.

Lytoceras kvirilaensis Thoptchishvili

Табл. III, фиг. 5а, 5б

1965₁. *Lytoceras Kvirlaensis* sp. n. Топчишвили, стр. 7, табл. I, фиг. 5—6.

Голотип. Геологический ин-т АН ГССР, № 231/70; ущелье р. Квирилы (с. Мартотубани), красные известняки верхнего аалена.

Описываемый вид представлен в нашей коллекции ядром различной величины.

Размеры:

	Д	П	В	Т
Обр.233/70	40,7 мм (100)	15,3 мм (37)	14,3 мм (34)	19,3 мм (47)
Обр.231/70	75,6 мм (100)	26,5 мм (35)	28,3 мм (37)	32,6 мм (43)

Описание. Раковина вздутая и состоит из умеренно возрастающих в высоту оборотов. Последний оборот едва объемлет предыдущий. При изучении довольно большого числа экземпляров, создалось убеждение, что отношение ширины оборота к высоте изменяется с ростом раковины. На ранних оборотах, при диаметре 40,7 мм, их поперечное сечение имеет поперечно-ovalную форму, в ширине значительно превышает высоту. На более поздней стадии (диаметр 192 мм) обороты становятся скорее высокими, чем широкими. Небольшая толщина последнего оборота приходится на среднюю часть его высоты. Боковые стороны выпуклые и постепенно через округлый перегиб переходят в несколько уплощенную наружную поверхность. Их переход к пупку также постепенный. Пупок широкий.

Скульптура представлена 5—6 пережимами, которые на внешней поверхности значительно ослабляются.

Перегородочная линия сохранилась на разных экземплярах в виде отдельных элементов. Первая боковая лопасть, так же как вторая боковая, четырехветвистая и очень широкая. Наружное седло оканчивается двумя большими ветвями, которые, в свою очередь, разделяются на дополнительные ветви. Первое боковое седло имеет почти такое же строение, как наружное седло. Второе боковое седло оканчивается одной ветвью.

Сравнение. Отождествить рассматриваемую форму с каким-нибудь представителем литоцерасов нам не удалось, т. к. между ними наблюдается значительное различие. Единственный вид, с которым проявляют большое сходство наши экземпляры, особенно молодые, это *Lytoceras etruscum* Fucini (1901, стр. 76, табл. XII, фиг. 11), хотя отличаются от него присутствием пережимов.

Геологический возраст и распространение. Верхний тоар Грузии—Дзирульский массив.

Местонахождение. Правый (с. Мартотубани) и левый берег (с. Сагвие—Санахшире) ущелья р. Квирилы, красные известняки, верхний тоар.

Количество экземпляров—11.

Род *Thysanoceras* Hyatt, 1867

Thysanoceras cornicopiae guilhomardensis
(Monestier)

Табл. IV, фиг. 1а, 16

1923. *Lobolytoceras Simensi* Buckman, табл. 440, фиг. 1—2.

1931. *Lytoceras cornicopiae* var. *guilhomardensis* Monestier,
стр. 5, табл. VI, фиг. 12, 26, 27.

1965₁. *Thysanoceras cornicopiae* var. *guilhomardensis* Топчиши-
ли, стр. 10, табл. II, фиг. 8.

В коллекции имеются ядра удовлетворительной и плохой сохранности.

Размеры:

Д П В Т

Обр. 236/70 111,3 мм (100) 32 мм (28) 52,4 мм (47) 33,4 мм (30)

Описание. Раковина уплощенная, с едва объемлющими и быстро возрастающими в высоту оборотами. С ростом раковины боковые поверхности оборота значительно уплощаются. Поперечное сечение последнего оборота имеет овальное очертание, вытянутое в высоту. Их наибольшая толщина находится в средней части высоты оборота. Наружная сторона округлая, полого переходит в бока. Последние круто перегибаются в пупковые стенки. Пупок умеренно широкий. Ребра сохранились только на маленьком участке наружной поверхности.

Перегородочная линия, за исключением отдельных элементов, почти полностью стерта. Лопасти сильно расчленены и имеют веерообразную форму. Первое боковое седло оканчивается двумя ветвями.

Сравнение. От *Thysanoceras cornicopiae* (Y. et B.) (Wright, 1883, стр. 410, табл. LXXIII, фиг. 1—3) описываемая

форма отличается быстро возрастающими оборотами, уплощенными боками и формой поперечного сечения последнего оборота.

Геологический возраст и распространение. Средний тоар, зона *Hildoceras bifrons* Франции, Англии и Грузии—Дзирульский массив.

Местонахождение. Левый берег ущелья р. Квирилы (с. Сагвие—Санахшире), красные известняки, средний тоар.

Количество экземпляров—2.

Подотряд *Ammonitina*

Надсемейство *Psilocerataceae*

Семейство *ARIETITIDAE* Hyatt, 1874

Род *Arnioceras* Hyatt, 1867

Arnioceras ceratitoides mexicanum Erben

Табл. IV, фиг. 2

1885. *Ammonites ceratitoides* Quenstedt, стр. 105 (частично),
табл. 13, фиг. 23.

1902. *Arnioceras ceratitoides* Fucini, стр. 164, табл. XIV, фиг.
13; табл. XV, фиг. 1—8, 11, 15.

1956. *Arnioceras ceratitoides* subsp. *mexicanum* Erben, стр. 254
табл. 29, фиг. 3—7; табл. 30, фиг. 1, 2.

В коллекции данный вид представлен ядром, на котором большая часть последнего оборота совсем уничтожена. В результате цифровая характеристика размеров рассматриваемого образца не может быть дана. Однако общая форма и характер скульптуры не вызывают сомнения в его принадлежности к указанному виду.

Описание. Раковина с медленно возрастающими в высоту оборотами. Боковые стороны оборотов слегка выпуклы и постепенно переходят в наружную поверхность, где несмотря на ее плохую сохранность, прослеживается киль. Пупок широкий.

На боковых сторонах оборота проходят радиально направленные ребра средних размеров, в верхней части незначительно, изгибающиеся вперед и исчезающие у края наружной поверхности. Разделяющие их промежутки значительно шире самих ребер.

Перегородочная линия не сохранилась.

Сравнение. От *Arnioceras ceratitoides* (Quenstedt) (1885, стр. 100, табл. 13, фиг. 8—11) описываемая форма отличается более тонкими и часто расположеными ребрами, а также сравнительно узкой сифональной стороной.

Очертанием раковины и характером скульптуры наш образец приближается к *Arnioceras abjectum* Fuc. (Erben, 1956, стр. 252, табл. 28, фиг. 20, 21; табл. 29, фиг. 1, 2), от которого отличается более широким пупком.

Геологический возраст и распространение. Нижний синемюр Германии, Италии и Мексики.

Местонахождение. Правый берег ущелья р. Квирилы, слюдистые песчаники, нижний синемюр.

Количество экземпляров—1.

Род *Vermiceras* Hyatt, 1889

Vermiceras sp.

Табл. IV, фиг. 3

В нашем распоряжении имеются плохо сохранившиеся ядра, которые по наблюдаемым признакам должны быть отнесены к указанному роду. Между тем недостаточная сохранность ядер не позволяет их отождествить с каким-либо видом данного рода.

Описание. Раковина эволютная, с низкими, медленно возрастающими оборотами. Боковые стороны оборотов незначительно выпуклые. На узкой наружной поверхности проходит невысокий, но ясно выраженный киль, по бокам которого прослеживаются неглубокие бороздки. Пупок очень широкий.

Скульптура представлена крутыми, радиально направленными ребрами. Они начинаются у пупковых стенок и доходят до наружного края, где становятся более выступающими, но бугорков не образуют. По своей ширине межреберные промежутки почти в два раза презывают ширину ребер.

Сравнение. На рассматриваемой форме прослеживается ряд признаков, которые дают возможность сравнить ее с близким *Vermiceras aff. supraspiratus* (Vähnner) (Нуцубидзе, 1966,

стр. 71, табл. XVI, фиг. 4). Последняя в отличие от нашего экземпляра имеет заостренные и сравнительно редко расположенные ребра.

Геологический возраст и распространение рода. Синемюрский ярус Западной Европы, Южной Америки, Азербайджана и Грузии—Южный склон Б. Кавказа и Локский массив.

Местонахождение. Правый берег ущелья р. Квирилы, слюдистые песчаники, нижний синемюр.

Количество экземпляров—2.

Надсемейство *Eoderocerataceae*

Семейство *EODEROERATIDAE* Spath, 1929

Род *Microderoceras* Hyatt, 1871

Microderoceras sp. ind.

В коллекции имеется деформированное, неполное ядро, которое по своему общему габитусу не должно выходить за пределы данного рода. Степень сохранности экземпляра затрудняет определение его видовой принадлежности.

Описание. На боковых сторонах оборота проходят радиальные ребра, начинающиеся у пупкового края. Они разделены промежутками, в 1 раза превосходящими их по ширине. Вблизи перехода боковой стороны оборота во внешнюю, ребра образуют ряд бугорков. От каждого из них отходит пучок очень тонких внешних ребер, которые, пересекая наружную сторону оборота, соединяются у бугорка противоположной стороны. В нижней части оборота, около пупка, прослеживается второй ряд бугорков, причем последние выражены слабее чем бугорки, расположенные у внешнего края.

Сравнение. Плохая сохранность описываемого экземпляра весьма затрудняет его сравнение с известными видами данного рода.

Геологический возраст и распространение рода. Верхний синемюр (лотаринг) Западной Европы, Азербайджана и Грузии—Локский массив.

Местонахождение. Правый берег ущелья р. Квирилы, слюдистые песчаники, верхний синемюр (лотаринг).

Количество экземпляров—2.

Семейство **POLYMORPHITIDAE** Haug, 1887

Род **Polymorphites** Haug, 1887

Polymorphites sp. ind.

Табл. IV, фиг. 4,5

В нашем распоряжении плохо сохранившиеся ядра. Несмотря на такую сохранность образцов, наблюдаемые характерные признаки не вызывают никакого сомнения в их принадлежности к указанному роду.

Описание. На маленьких экземплярах при диаметре 18,6 мм поперечное сечение оборота имеет форму квадрата, т. е. высота оброта почти такая же, как и толщина, а на более крупных, при диаметре 33 мм, высота несколько превосходит толщину. Боковые стороны обротов уплощены и параллельны. Округлыми перегибами они переходят в низкие, отвесные стени пупка и в уплощенную наружную поверхность.

Скульптура состоит из хорошо выраженных ребер, которые начинаются у стенок пупка и затем направляются вверх по боковой стороне. У перегиба боковых сторон к наружной, ребра несколько вздуваются, образуя небольшие бугорки. Далее ребра, не прерываясь и не ослабляясь, проходят через наружную сторону. Промежутки между ребрами приблизительно в 2 раза превышают их ширину.

Сравнение. Степень сохранности рассматриваемой формы делает невозможным сравнение ее с описанными видами.

Геологический возраст и распространение рода. Каракс Западной Европы.

Местонахождение. Ущелье р. Нарулы, мергелистые породы, каракс.

Количество экземпляров—4.

Род *Acanthopleuroceras* Hyatt, 1900

Acanthopleuroceras sp.

Табл. IV, фиг. 6

В коллекции имеется внутреннее ядро удовлетворительной сохранности.

Отождествление рассматриваемой формы с каким-либо видом данного рода не удалось. Возможно, в данном случае мы имеем дело с совершенно новым, неизвестным до сих пор видом. Однако от выделения нового вида мы воздержались, т. к. у нас всего один экземпляр и при этом не отличающийся хорошей сохранностью.

Размеры:

	Д	И	В	Т
Обр. 49/70	32,4 мм (100)	15,8 мм (48)	8,3 мм (25)	7,4 мм (22)

Описание. Раковина уплощенная, с медленно возрастающими в высоту обротами. Поперечное сечение последнего оброта овальное. Наружная поверхность плавным округлым перегибом отделяется от почти плоских боковых сторон. Посередине наружной поверхности проходит четко обособленный киль. Пупок широкий.

Скульптура представлена широкими ребрами с бугорками у конца перегиба и у пупка. Ребра разделены промежутками, превосходящими их по ширине.

Перегородочная линия не сохранилась.

Сравнение. От *Acanthopleuroceras binotatum* (Opp.), изображенного в „Основах палеонтологии“ (1958, Мэллюски—головоногие, II, табл. XXVI, фиг. 9 а, б), описываемая форма отличается овальным поперечным сечением оброта и более широкими ребрами.

Геологический возраст и распространение рода. Каракс Западной Европы и побережья Охотского моря.

Местонахождение. Правый берег ущелья р. Квирилы, мергелистые породы, каракс.

Количество экземпляров—1.

Семейство DACTYLIOCERATIDAE Hyatt, 1867

Род Ceoloceras Hyatt, 1867

Ceoloceras raquinianum (d'Orbigny)

Табл. V, фиг. 1а, 16

1849. Ammonites Raquinianus d'Orbigny, стр. 332, табл. 106,
фиг. 1—5.
1858. Ammonites Raquinianum Quenstedt, стр. 51.
1884. Stephanoceras Raquinianum Wright, стр. 478, табл.
LXXXVI, фиг. 5—7; табл. LXXXVII, фиг. 1—4, 7, 8.
- 1965₁. Ceoloceras raquinianum Топчишили, стр. 11, табл. II,
фиг. 9, 10.
1966. Peronoceras cf. raquinianum Нуцубидзе, стр. 77, табл.
XVII, фиг. 3.

В коллекции данный вид представлен ядрами вполне удовлетворительной сохранности.

Размеры:

Д П В Т

Обр. 50/70 31,7 мм (100) 15,4 мм (48) 9,6 мм (30) 16 мм (50)

Описание. Раковина сильно вздутая с низкими, почти соприкасающимися оборотами. Поперечное сечение оборотов имеет форму поперечного овала. Выпуклые боковые стороны резко спускаются к пупковому краю. Наружная поверхность широкая и незначительно округлая. Ее переход к боковым сторонам также довольно резкий. Наибольшая толщина находится на среднюю часть высоты оборота. Пупок широкий, с высокими стенками, пупковый край округлый.

Скульптура состоит из хорошо развитых крупных ребер. Они возникают в нижней части стенок и поднимаются вверх к сифональной поверхности. У внешнего перегиба, где боковые стороны переходят в наружную, ребра образуют незначительно вытянутые поперец оборота бугорки. От каждого бугорка отходит 2—3 ребра, которые, не прерываясь, пересекают наружную поверхность и соединяются у бугорка противоположной стороны. Кроме отмеченных ребер, здесь имеются одиночные ребра, переходящие через наружную поверхность, не сбразуя бугорков.

Сравнение. По очертанию раковины и характеру скульптуры, описываемая форма очень близка к Coeloceras crassum (Y. et B.) (Meneghini, 1881, стр. 70, табл. XVI, фиг. 3а, б), но отличается от него наличием на боковой поверхности одиночных ребер, не образующих бугорков.

Геологический возраст и распространение. Нижний и средний тоар Франции, Германии и Англии. Средний тоар Грузии—Дзирульский массив.

Местонахождение. Ущелье р. Квирилы (с. Мартотубани), красные известняки, средний тоар.

Количество экземпляров—2.

Род Peronoceras Hyatt, 1867

Peronoceras subarmatum (Young et Bird)

Табл. V, фиг. 2а, б; 3

1849. Ammonites subarmatum d'Orbigny, стр. 268, табл. 77,
фиг. 1—3.
1849. Ammonites subarmatus Quenstedt, стр. 174, табл. 13,
фиг. 12.
1858. Ammonites subarmatus Oppel, стр. 257.
1874. Ammonites subarmatus Dumortier, стр. 99, табл. XXVIII,
фиг. 6—9.
1881. Ammonites subarmatus Meneghini, стр. 67, табл. XIV,
фиг. 4—6.
1884. Stephanoceras subarmatum Wright, стр. 477, табл. LXXXV,
фиг. 1—4.
1885. Ammonites subarmatus Quenstedt, стр. 370, табл. 46,
фиг. 16, 17.
1906. Coeloceras subarmatum Renz, стр. 281, табл. XIII, фиг. 4.
1927. Coeloceras (Peronoceras) subarmatum Schröder, стр. 102.
1931. Coeloceras (Peronoceras) subarmatum Monestier, стр. 46,
табл. III, фиг. 3, 9, 11.
1961. Peronoceras subarmatum Крымгольц, стр. 32, табл. I,
фиг. 7.
1964. Peronoceras subarmatum Станкевич, стр. 15, табл. I,
фиг. 6а, б.
- 1965₁. Peronoceras cf. subarmatum Топчишили, стр. 12, табл.
II, фиг. 11.

В нашем распоряжении имеется обломок оборота и более или менее хорошо сохранившееся ядро.

Размеры:

	Д	П	В	Т
Обр.252/70	56,2мм(100)	31,8 мм (56)	11,5 мм (20)	—

Описание. Обороты едва объемлющие, медленно возрастающие в высоту. Поперечное сечение сбортов округлое, несколько угловатое. Слабо выпуклые боковые поверхности через крутой перегиб переходят в слабо выпуклую наружную поверхность. Пупок очень широкий, с отвесными стенками.

На боковой поверхности раковины наблюдаются прямые, хорошо выраженные ребра. Они расположены редко, так что промежутки между ними в 2 раза превышают их ширину. Здесь с одиночными ребрами незакономерно чередуются ребра, соединяющиеся у сифональной стороны попарно в округлые бугорки. Затем от каждого из них отходит по 2—3 ребра, непрерывно переходящих через наружную поверхность и достигающих бугорков противоположной стороны. Одиночные ребра также непрерывно пересекают сифональную сторону, с той лишь разницей, что они бугорков не образуют.

Сравнение. Рассматриваемая форма внешним очертанием и формой раковины наибольшее сходство проявляет с *Peropoceras desplacei* (d'Orbigny, 1849, табл. 107), от которого отличается более высоким расположением бугорков и сравнительно тонкими ребрами.

От *Peropoceras bollensis* (Sow.) (Zieten, 1830, стр. 16, табл. XII, фиг. 3) отличается наличием на боковой поверхности парных ребер.

Близкому *Peropoceras fibulatum* (Sow.) (Wright, стр. 1884, стр. 476, табл. LXXXV, фиг. 5—11) свойственны более тонкие ребра.

Геологический возраст и распространение. Средний тоар, зона *Hildoceras bifrons* Англии, Франции, Германии, Италии, Греции, Северного Кавказа и Грузии—Дзиругульский массив.

Местонахождение. Правый (с. Мартотубани) и левый берег (сс. Сагвине—Санахшире) ущелья р. Квирилы, красные известняки, средний тоар.

Количество экземпляров—2.

Надсемейство **Amaltheaceae**

Семейство **AMALTHEIDAE** Hyatt, 1867

Род **Amaltheus** Montfort, 1808

Amaltheus margaritatus Montfort

Табл. V, фиг. 4

1830. *Ammonites amaltheus* Zieten, стр. 4, табл. IV, фиг. 1.
1849. *Ammonites margaritatus* d'Orbigny, стр. 246, табл. 67,
фиг. 1—3.
1849. *Ammonites amaltheus* Quenstedt, стр. 93, табл. V, фиг. 4.
1853. *Ammonites amaltheus* Oppel, стр. 43, табл. II, фиг. 11, 12.
1858. *Ammonites amaltheus* Quenstedt, стр. 466, табл. XX,
фиг. 1.
1878. *Amaltheus margaritatus* Bayle, табл. XCIII, фиг. 1—3.
1881. *Amaltheus margaritatus* Meneghini, стр. 66, табл. XIII, фиг. 3.
1882. *Amaltheus margaritatus* Wright, стр. 397, табл. LIII; LIV;
LVI, фиг. 4—15, 19, 20.
1885. *Ammonites amaltheus* Quenstedt, стр. 315 (частично),
табл. XL, фиг. 3—5, 9, 10; табл. XLI, фиг. 1, 2.
1893. *Amaltheus margaritatus* Geyer, стр. 26, табл. III, фиг. 1, 3—6.
1900. *Amaltheus margaritatus* Bettioni, стр. 24, табл. I, фиг. 4;
табл. VII, фиг. 16.
1909. *Amaltheus margaritatus* Rosenberg, стр. 285.
1927. *Amaltheus margaritatus* Schröder, стр. 263.
1931. *Amaltheus margaritatus* Коенъ, стр. 84, табл. III, фиг. 3.
1937. *Amaltheus margaritatus* Frentzen, стр. 83, табл. III, фиг.
19—25; табл. IV, фиг. 1—7, 9—27.
1947. *Amaltheus margaritatus* Крымгольц, стр. 181, табл.
XXXIII, фиг. 3, 4.
1958. *Amaltheus margaritatus* Howarth, стр. 13, табл. III, фиг.
4—6; в тексте фиг. 8, 9.
1960. *Amaltheus margaritatus* Стефанов, стр. 277, табл. I,
фиг. 3—5, 7, 11.
1961. *Amaltheus margaritatus* Крымгольц, стр. 34, табл. I,
фиг. 8, 9.
1964. *Amaltheus margaritatus* Станкевич, стр. 17, табл. II,
фиг. 1, 2.

1966. *Amaltheus margaritatus* Нуцубидзе, стр. 82, табл. XVIII,
фиг. 2—3; табл. XL, фиг. 1—21.

В нашем распоряжении имеются многочисленные отпечатки на иороде и внутренние ядра различной сохранности. Почти все образцы более или менее деформированы.

Размеры:

Д	П	В	Т
Обр. 271/70 40 мм (100)	13,5 мм (33)	15 мм (37)	—

Описание. Раковина уплощенная, состоит из довольно быстро возрастающих в высоту, слабо объемлющих оборотов. Незначительно выпуклые боковые стороны оборота постепенно переходят в необособленную наружную поверхность, на которой проходит киль. Пупок умеренно широкий, с низкими стенками.

Скульптура состоит из одиночных ребер, слабо изгибающихся серпообразно по длине. Ребра начинаются у пунктового края, направляются вперед, затем несколько ниже середины боковых сторон оброта полого отклоняются и образуют плавную дугу, обращенную выпуклостью назад. Далее, они направляются вперед и, не доходя до наружной поверхности, исчезают. Вблизи от пупка ребра более узкие, четко выраженные, и расстояние между ними значительно меньше, чем в верхней части боковой поверхности, где ребра выпадают и становятся более широкими. На кибе прослеживаются косо расположенные ребрышки, число которых значительно превосходит число ребер боковых сторон.

Сравнение. Вышепомечеными признаками наш образец похож на *Amaltheus stokesi* (Sow.) (Станкевич, 1964, стр. 18, табл. II, фиг. 5), но отличается неразделенными на ветви ребрами и их исчезновением в верхней части боковой поверхности.

От *Amaltheus striatus* Howarth (1958, стр. 12, табл. II, фиг. 19, 20) описываемый вид отличается более высокими оборотами, сильнее изогнутыми ребрами и отсутствием бугорков.

Геологический возраст и распространение. Домер, зона *Amaltheus margaritatus* Англии, Франции, Германии, Италии, Австрии, Португалии, Болгарии, Сибири, Дальнего Востока, Северного Кавказа и Грузии—Южный склон Б. Кавказа, Дзиурульский и Локский массивы.

Местонахождение. Ущелья рр. Квирилы (с. Мартотубани) и Дзиурулы (у Самебского моста), красные известняки, домер; ущелья рр. Дзиурулы (с. Чонто) и Отриа (с. Отриа), окрестности с. Джвари, ущелья рр. Чератхеви, Лопанисцкали (с. Гвиргвина), глинисто-мергелистые породы, домер.

Количество экземпляров—252.

Amaltheus subnodosus (Young et Bird)

Табл. V, фиг. 5а, 5б

1858. *Ammonites amaltheus depressum* Quenstedt, стр. 169, табл. 20, фиг. 14.
 1878. *Amaltheus margaritatus* Bayle, табл. XCIII, фиг. 4.
 1885. *Ammonites amaltheus depressus* Quenstedt, стр. 327, табл. 41, фиг. 18, 19; стр. 329, табл. 42, фиг. 6.
 1893. *Amaltheus margaritatus* Geyer, стр. 26, табл. III, фиг. 2а, б.
 1937. *Amaltheus nodifer* stad. *nodiferum* Frentzen, стр. 40, табл. I, фиг. 6, 7—17.
 1937. *Amaltheus coronatus* stad. *coronatum* Frentzen, стр. 73, табл. III, фиг. 5.
 1937. *Amaltheus coronatus* stad. *costatum* Frentzen, стр. 76, табл. III, фиг. 8, 13, 14.
 1958. *Amaltheus subnodosus* Howarth, стр. 8, табл. II, фиг. 11—18.
 1960. *Amaltheus subnodosus* Стефанов, стр. 274, табл. II, фиг. 1—7, 14; табл. III, фиг. 2.
 1966. *Amaltheus subnodosus* Нуцубидзе, стр. 84, табл. XVIII, фиг. 4—6.

В коллекции данный вид представлен ядрами хорошей и удовлетворительной сохранности.

Размеры:

	Д	П	В	Т
Обр. 286/70	25,4 мм (100)	9,1 мм (35)	9,5 мм (37)	6,9 мм (27)
Обр. 287/70	26,4 мм (100)	9,4 мм (35)	9,7 мм (36)	7,4 мм (28)
Обр. 291/70	17,8 мм (100)	6 мм (37)	6,8 мм (38)	5 мм (26)

Описание. Раковина уплощенная, обороты умеренно возрастающие в высоту, каждый из оборотов почти умеренно объемлет предыдущий.

Б. М. В. Топчишвили

Боковые стороны уплощены и округло переходят в узкую наружную поверхность, посередине которой прослеживается киль. Сечение сбровотов имеет форму овала с наибольшей толщиной в нижней части высоты оборота. Пупок широкий, закругленный с низкими стенками.

Скульптура представлена довольно крупными, резко выступающими ребрами. Они начинаются у пупкового края и радиально направляются к середине боковых сторон, где образуют бугорки. Отходя от последних, ребра слегка изгибаются в обратном направлении и, переходя на сифональную поверхность, исчезают у киля. Промежутки между ребрами в 2 раза превышают их ширину. Киль покрыт косо расположеными, наклоненными вперед ребрышками, благодаря которым киль приобретает вид завитой веревочки.

Сравнение. *Amaltheus margaritatus* Montf., изображенный А. д'Орбиньи (d'Orbigny, 1849, табл. 68, фиг. 5), был под вопросом отождествлен с описанным видом (Howarth, 1958, стр. 8). Однако степенью инволютности и более быстро возрастающими в высоту оборотами он достаточно отличается от нашей формы, поэтому мы не включаем его в синонимику рассматриваемого вида.

На первый взгляд, описываемая форма приближается к *Amaltheus striatus* How. (см. выше), но последний имеет более высокие обороты и сравнительно тонкие ребра.

Геологический возраст и распространение. Домер, зона *Amaltheus margaritatus* Англии, Германии, Франции, Болгарии и Грузии—Дзиурульский массив.

Местонахождение. Ущелья рр. Нарулы и Дзиурулы (у Самебского моста), красные известняки, домер; ущелье р. Дзиурулы (с. Шроша), мергелистые породы, домер.

Количество экземпляров—10.

Amaltheus subnodosus howarthi Stephanov

Табл. V, фиг. 6

1937. *Amaltheus nodifer* stad. opperosum Frentzen, стр. 40,
табл. I, фиг. 4—5.

1960. *Amaltheus subnodosus* var. *howarthi* n. var. Stephanov
стр. 175, табл. II, фиг. 8—13.

В коллекции имеется внутреннее ядро удовлетворительной сохранности.

Размеры:

	Д	П	В	Т
Обр.295/70	37,3 мм (100)	14 мм (37)	13,2 мм (35)	—

Описание. Раковина довольно уплощенная, с умеренно возрастающими в высоту оборотами. Поперечное сечение обротов овальное, с высотой значительно превышающей толщину. Наружная сторона довольно узкая, посередине проходит невысокий киль. Пупок широкий и ограничен низкими, но отвесными стенками.

Скульптура представлена одиночными ребрами средних размеров. В нижней части высоты оброта ребра выступают сильнее, чем в верхней, где становятся более широкими и расплывчатыми. Здесь же ребра слегка отгибаются вперед и, не достигая киля, исчезают. Промежутки между ребрами примерно в 1,5 раза превышают их ширину.

Сравнение. От предыдущего вида *Amaltheus subnodosus* (Y. et B.) наш экземпляр отличается поперечным сечением оброта и отсутствием бугорков на боковой поверхности.

Геологический возраст и распространение. Домер, зона *Amaltheus margaritatus* Германии и Болгарии.

Местонахождение. Ущелье р. Нарулы, красные известняки, домер.

Количество экземпляров—1.

Надсемейство *Harpocerataceae*

Семейство *HARPOCERATIDAE* Zittel, 1884

Род *Hildoceras* Hyatt, 1867

Hildoceras bifrons (Bruguiere)

Табл. V, фиг. 7а, 7б

1819. *Ammonites bifrons* d'Orbigny, стр. 219, табл. 56, фиг. 1, 2, 3..

1819. *Ammonites bifrons* Quenstedt, стр. 108, табл. VII, фиг. 13, 14..

В коллекции этот широко известный и неоднократно описанный вид представлен ядрами достаточно хорошей сохранности.

P a 3 M e p b l

Д П В Т
Обр. 297/70 32,1 мм (100) 10 мм (31) 12,7 мм (39) 10,5 мм (32)

Описание. Раковина средней толщины, состоит из уменьшающихся в высоту оборотов. Их поперечное сечение приближается к форме прямоугольника.

Довольно уплощенные боковые стороны параллельны. Они округло переходят в наружную поверхность и стенки пушки

Последний умеренно широкий, ступенчатой формы, стеки его овальные, выпуклый край скруглый.

Скульптура представлена единичными, изгибющимися по длине ребрами. Разделяющие их промежутки примерно в два раза шире самих ребер. Ребра возникают у верхней границы широкий бороздки, идущей в направлении спирали. Отсюда они изгибаются вперед, сбрасывая дуговидный изгиб, обращенный вершиной в противоположную сторону. Посередине уплощенной наружной поверхности проходит заструйный киль, по обеим сторонам которого наблюдаются неглубокие бороздки. Последние от краев наружной поверхности ограничены килевидными выступами, присущими которых придают сифональной стороне трехкильный характер.

Сравнение. По общим очертаниям раковины рассматриваемый образец особенно близко сходство проявляет с одной из форм *Hildoceras sublevisoni* Fuc., из брошенной Б. Гечи (Géczy, 1937, стр. 130, табл. XXX, фиг. 4), но отличается от нее более четкой и глубокой продольной бороздкой, более широкими и редко расположенными ребрами.

Геологический возраст и распросранение. Средний юр, зона *Hildoceras bifrons* Франции, Англии, Германии, Италии, Австрии, Болгарии, Днепропетровска, Северного Кавказа и Грузии—Южный склон Б. Кавказа и Дзирульский массив.

Местонахождение. Правый (с. Маргубин) и левый берег (сс. Сагвине—Санахшире) ущелья р. Кирмы, р. Глинишке, красные известняки, средний тоар.

Количество экземпляров = 3.

Род **Harpoceras** Waagen, 1869

Harpoceras falcifer (Sowerby)

Табл. V, фиг. 8а, 8б

1830. Ammonites falcifer Zieten, стр. 16, табл. XII, фиг. 2.
 1858. Ammonites falcifer Oppel, стр. 243.
 1881. Ammonites falcifer Meneghini, стр. 14, табл. III, фиг. 2, 3.
 1885. Ammonites falcifer Quenstedt, стр. 351, табл. 43, фиг. 5.
 1959. Harpoceras falcifer Сапунов, стр. 29, табл. IV, фиг. 7, 8.

В коллекции данный вид представлен ядром довольно хорошей сохранности.

Размеры:

Д	П	В	Т
---	---	---	---

Сбр. 300/70	52,2 мм (100)	13,5 мм (25)	24 мм (45)	17 мм (32)
-------------	---------------	--------------	------------	------------

Описание. Раковина средней толщины, обороты сильно объемлющие, быстро возрастающие в высоту. Уплощенные боковые поверхности слегка наклонены друг к другу. Их переход в наружную сторону и в стенки пупка довольно резкий. Поперечное сечение исследованного оборота приближается по форме к прямоугольнику. Наибольшая толщина находится в нижней части высоты оборота. На маленьком участке уплощенной, широкой наружной поверхности сохранился киль, ограниченный с обеих сторон узкими бороздками. Пупок довольно узкий, ступенчатый, с отвесными стенками.

Боковые стороны оборота украшены серповидно изогнутыми ребрами. Они сильно сближены и сравнительно узки в нижней части боковой стороны, значительно расширены кверху, где их поверхность становится уплощенной. Ребра начинаются на пупковом перегибе и в нижней части направлены несколько вперед от направления радиуса. У середины боковой стороны оборота они отгибаются назад, образуя угловатый изгиб, обращенный вершиной к устью раковины. В верхней части ребра округло поворачивают вперед и исчезают на наружной поверхности. Промежутки между ребрами примерно равны или немного превышают ширину самих ребер.

Сравнение. По общему своему облику, описываемый вид схож с *Harpoceras serpentinum* (Rein.) (d'Orbigny, 1849, стр. 215, табл. 55), но отличается от него большей высотой оборотов и более узким пупком.

Геологический возраст и распространение. Нижний тоар, зона *Harpoceras falcifer* Германии, Италии и Болгарии.

Местонахождение. Ущелье р. Квирилы (с. Мартотубани), красные известняки, нижний тоар.

Количество экземпляров—1.

***Harpoceras isseli* (Fucini)**

Табл. VI, фиг. 1,2

1904. *Hildoceras Isseli* Fucini, стр. 289 (частично), табл. XX,
фиг. 15, 18.

1934. *Harpoceras Isseli* Monestier, стр. 81, табл. I, фиг. 21—27,

30, 31, 34, 35.

1965. *Harpoceras isseli* var. Топчишили, стр. 15, табл. II,
фиг. 14.

В нашем распоряжении имеются ядра вполне удовлетворительной сохранности.

Размеры:

Д	П	В	Т
---	---	---	---

Обр. 302/70	29,6 мм (100)	8,6 мм (29)	12,8 мм (43)	7,4 мм (25)
-------------	---------------	-------------	--------------	-------------

Обр. 303/70	37,4 мм (100)	11,8 мм (31)	15,5 мм (41)	8,5 мм (23)
-------------	---------------	--------------	--------------	-------------

Описание. Раковина представляет собой уплощенную спираль, с умеренно возрастающими в высоту оберотами. Плоские боковые поверхности резко отграничены от уплощенной, но узкой наружной стороны и менее отчетливо от стенки пупка. Поперечное сечение оборотов имеет эвольвую форму с наибольшей толщиной в средней части высоты. На сифональной поверхности проходит заостренный киль, по обе стороны которого наблюдаются узкие бороздки. Пупок умеренно широкий, ступенчатый.

Скульптура состоит из тонких, серповидно изогнутых ребер. Они начинаются на пупковом перегибе и направлены вперед от радиуса. На расстоянии $\frac{1}{3}$ боковой поверхности ребра сравнительно круто загибаются назад, в верхней части плавно поворачивают вперед и исчезают на наружной стороне. Внизу ребра узкие и очень сближены. Кверху их ширина так же, как и расстояние между ними, значительно возрастает.

Сравнение. Рассматриваемые экземпляры по основным признакам строения раковины и характеру скульптуры вполне соответствуют двум изображениям Ж. Монестье (Monestier, 1934, табл. I, фиг. 25, 26). От остальных форм, внесенных в синонимику данного вида, они отличаются более часто расположеными ребрами, что, по-видимому, должно быть объяснено внутривидовым изменением.

Несколько схож описываемый вид с *Harpoceras celebratum* Fucini (1904, стр. 275, табл. XVIII, фиг. 1—9), однако, от этого вида он отличается присутствием на наружной поверхности

бороздок, густо расположенными и менее изгибающимися ребрами.

Геологический возраст и распространение. Домер, зона *Amaltheus margaritatus* Италии, Франции и Грузии—Дзиурльский массив.

Местонахождение. Окрестности с. Циплаваке, ущелье р. Глинависгеле, красные известняки, домер.

Количество экземпляров—5.

Род *Polyplectus* Buckman, 1890

Polyplectus cf. discoides (Zieten)

Табл. VI, фиг. 3

1830. *Ammonites discoides* Zieten, стр. 21, табл. XVI, фиг. 1 а—с.
1849. *Ammonites discoides* d'Orbigny, стр. 356, табл. 115, фиг. 1—4.
1858. *Ammonites discoides* Quenstedt, стр. 283, табл. 40, фиг. 7.
1878. *Lioceras discoides* Bayle, табл. LXXXVIII, фиг. 2—5.
1884. *Harpoceras discoides* Wright, стр. 467, табл. LXXXII, фиг. 12, 13.
1885. *Ammonites discoides* Quenstedt, стр. 426, табл. 53, фиг. 9.
1885. *Ammonites capellinus jurensis* Quenstedt, стр. 417, табл. 53, фиг. 1, 3, 4, 5.
1885. *Harpoceras discoides* Haug, стр. 620.
1889. *Polyplectus discoides* Buckman, стр. 215, табл. XXXVII, фиг. 1—5.
1902. *Harpoceras* (*Polyplectus*) *discoides* Janensch, стр. 62, табл. IV, фиг. 2.
1947. *Polyplectus discoides* Крымгольц, стр. 171, табл. XXX, фиг. 5, 6.
1961. *Polyplectus discoides* Крымгольц, стр. 47, табл. II, фиг. 4, 5.
1964. *Polyplectus discoides* Станкевич, стр. 23, табл. II, фиг. 8—10; табл. IV.
1965₁. *Polyplectus cf. discoides* Топчишили, стр. 16, табл. II, фиг. 15.

1965. *Polyplectus discoides* Ростовцев, стр. 52, табл. I, фиг. 2, 3.
1966. *Polyplectus discoides* Нуцубидзе, стр. 94, табл. XX, фиг. 3.

В коллекции имеется неполное ядро, на котором сохранился ряд особенностей, характерных для данного вида.

Описание. Сильно уплощенная раковина состоит из высоких, почти полностью объемлющих оборотов. В поперечном сечении они имеют форму вытянутого в высоту треугольника. Наибольшая толщина находится в нижней части оборота. Отсюда плоские боковые поверхности наклонены к наружной стороне, где сходятся под острым углом. В результате наружная сторона совершенно не обособлена. Киль не наблюдается. Степки пупков низкие, но вертикальные, пупковый край округлый.

Скульптура представлена единичными ребрами, изгибающимися серпообразно по длине. Наибольших размеров они достигают в верхней части боковых сторон, где, слегка загибаясь вперед, сбрасывают дугу, сбрасываемую выпуклостью назад. Вблизи от пупка ребра сближаются, но не соединяются, а выше расходятся, и промежутики между ними значительно увеличиваются.

Перегородочная линия плохо сохранена; судя по отдельным фрагментам, она должна быть сильно расчлененной.

Сравнение. Более узкий пупок, сильно сдавленные обороты и отсутствие киля на наружной стороне отличают рассматриваемый образец от наиболее близкого *Polyplectus subplanatus* (Oppel) (1856, стр. 244).

Геологический возраст и распространение. Средний и верхний тоар, зоны *Hildoceras bifrons* и *Pseudogrammoceras fallaciosum* Германии, Франции, Англии, Италии, Северного Кавказа и Грузии—Дзиурльский массив.

Местонахождение. Ущелье р. Кеирилы (с. Мартотубани), красные известняки, верхний тоар.

Количество экземпляров—1.

Polyplectus cf. subplanatus (Oppel)

Табл. VI, фиг. 4

1830. *Ammonites elegans* Zieten, стр. 22, табл. XVI, фиг. 5—6.
1849. *Ammonites complanatus* d'Orbigny, стр. 353 (частично), табл. 114, фиг. 1, 2, 4.

1858. *Ammonites subplanatus* Oppel, стр. 244.
 1881. *Harpoceras complanatus* Meneghini, стр. 16 (частично),
 табл. IV, фиг. 3а, б, с.
 1874. *Ammonites subplanatus* Dumortier, стр. 51 (частично),
 табл. X
 1878. *Lioceras subplanatum* Bayle, табл. LXXXVII, фиг. 1.
 1885. *Harpoceras subplanatum* Haug, стр. 619, табл. XI, фиг. 9.
 1902. *Harpoceras (Polyplectus) subplanatum* Janensch, стр. 60,
 табл. IV, фиг. 1, 1а.
 1906. *Harpoceras subplanatum* Renz, стр. 272, табл. XIII, фиг. 1.
 1961. *Polyplectus cf. subplanatus* Крымгольц, стр. 49, табл. II,
 фиг. 6.
 1964. *Polyplectus cf. subplanatum* Станкевич, стр. 24, табл.
 IX, фиг. 5.
 1966. *Polyplectus subplanatus* Нуцубидзе, стр. 94, табл. XX,
 фиг. 4; табл. XXI, фиг. 1.

В коллекции имеются обломки ядер. Наблюдаемые признаки: форма пупка, поперечное сечение оборота и скульптура, позволяют дать этим образцам видовое определение, хоть и приблизительное.

Сравнение. Раковина, по-видимому, дисковидной формы; состоит из высоких, сильно съемлющих оборотов. Их поперечное сечение имеет угловато-овальную форму, со слабо выпуклыми, сходящимися кверху под острым углом боками. На узкой наружной поверхности прислеживается четко обособленный, заостренный киль. Вертикальные пупковые стенки резко отделены от боков крутым перегибом.

Скульптура представлена серпособразно изогнутыми ребрами. Они начинаются у пупкового края, направлены вначале вперед, от радиуса, далее, немножко ниже средней части боковой поверхности сбера, резко отгибаются назад. В верхней части оборота ребра более плавно изгибаются в обратном направлении и, переходя на сифональную поверхность, исчезают, не достигая киля. Их нижний изгиб, обращенный выпуклостью вперед, более угловат, а верхний, имеющий противоположное направление, широко закруглен.

Сравнение. От *Polyplectus discoides* (Ziet.) наш экземпляр отличается слабо выпуклыми боками, формой поперечного сечения оборота и наличием заостренного киля.

Геологический возраст и распространение
Верхний тоар, зона *Pseudogrammoceras fallaciolum* Германия
Франции, Греции и Северного Кавказа.

Местонахождение. Протый (с. Миртотубини) и лазый берег (сс. Сагвине—Сапахшире) ущелья р. Квирилы, р. Глиниске (с. Циплаваке), красные известняки, верхний тоар.

Количество экземпляров—3.

Род *Grammoceras* Hyatt, 1867

Grammoceras thouarsense (d'Orbigny)

Табл. VI, фиг. 5а, 5б

1830. *Ammonites radians* Zieten, стр. 5, табл. IV, фиг. 3а, б, с.
 1849. *Ammonites thouarsensis* d'Orbigny, стр. 222, табл. 57.
 1858. *Ammonites thouarsensis* Oppel, стр. 248.
 1878. *Grammoceras Thouarsense* Bayle, табл. LXXVIII, фиг. 3—5.
 1884. *Harpoceras striatum* Wright, стр. 451 (частично), табл. LXXXIV, фиг. 4.
 1885. *Harpoceras striatum* Haug, стр. 611.
 1885. *Ammonites radians depressus* Quenstedt, стр. 410, табл. 52, фиг. 1, 2.
 1889. *Grammoceras toarcense* Buckman, стр. 169 (частично), табл. XXVIII, фиг. 7—13.
 1898. *Harpoceras striatulo-costatum* Венеске, стр. 51, табл. V,
 фиг. 4, 6; стр. 53, фиг. в тексте 1, 2.
 1902. *Grammoceras toarcense* Janensch, стр. 91, табл. III,
 фиг. 2, 2а.
 1904. *Grammoceras toarcense* Buckman, табл. CXXXII.
 1906. *Harpoceras toarcense* Renz, стр. 268, табл. XIII, фиг. 3.
 1927. *Grammoceras thouarcense* Schröder, стр. 64.
 1947. *Grammoceras toarcense* Крымгольц, стр. 138, табл. XXVIII, фиг. 1а, б, 2а, б.
 1961. *Grammoceras thouarcense* Крымгольц, стр. 51, табл. II,
 фиг. 8.
 1964. *Grammoceras thouarsense* Станкевич, стр. 25, табл. V,
 фиг. 1а, б, 2а, б, 6.
 1965₁. *Grammoceras thouarsense* Топчишвили, стр. 17, табл. III,
 фиг. 16—17.

1965. *Grammoceras thouarsense* Ростовцев, стр. 59, табл. III,
фиг. 2а, б.
1966. *Grammoceras thouarsense* Нуцубидзе, стр. 96, табл. XXI,
фиг. 3—4.
1967. *Grammoceras thouarsense* Гасанов, стр. 163, табл. IV,
фиг. 1—4.

В коллекции этот широко распространенный вид представлен ядрами различной сохранности.

Размеры:

Д	П	В	Т
Обр. 309/70	34 мм (100)	12,6 мм (36)	12,2 мм (35)

9,6 мм (28)

Описание. Раковина уплощенная, состоит из слабо объемлющих сбортов, умеренно возрастающих в высоту. Поперечное сечение сбортов приближается к свалысму. Уплощение боковых сторон придает сечению сбюта слабую угловатость. На наружной поверхности наблюдается киль, по бокам которого проходят слабо выраженные бороздки. Пупок широкий, с отвесными стенками, отделяющимися от боковых сторон довольно крутым перегибом. Сечение пупка ступенчатое.

Скульптура представлена крупными, серповидно изогнутыми ребрами. В нижней части ребра слегка отгибаются назад, а в верхней более отчетливо поворачивают в противоположную сторону, образуя скруглый изгиб. Переходя на наружную поверхность ребра сильно выдаются и склоняются вперед. Промежутки между ребрами несколько превышают ширину самих ребер.

Сравнение. *Grammoceras striatum* (Branc) (1879, стр. 71, табл. I, фиг. 1—3), отождествленный Г. А. Крымгольцем (1961) с *Grammoceras thouarsense* (d'Orb.), отличается от нашего экземпляра более толстыми сбортами и отсутствием бороздок по обеим сторонам киля. Поэтому мы воздерживаемся от внесения его в синонимику описываемого вида.

Рассматриваемый вид очень схож с *Grammoceras quadratum* (Haug) (см. ниже). Отличительными признаками являются форма поперечного сечения сбюта и характер ребер. Для *Grammoceras thouarsense* (d'Orb.) свойственно более узкое поперечное сечение и более изгибающиеся ребра.

От *Grammoceras audax* Buckm. (Крымгольц, 1961, стр. 57, табл. III, фиг. 4) наша форма отличается сближенными, более изгибающимися ребрами и овальным поперечным сечением оборота.

Геологический возраст и распространение. Верхний тоар, зона *Pseudogrammoceras fallaciosum* Франции, Германии, Англии, Греции, Северного Кавказа, Азербайджана и Грузии—Дзирильский массив.

Местонахождение. Правый (с. Мартотубани) и левый берег (сс. Сагвине—Санахшире) ущелья р. Квирылы, красные известняки, верхний тоар.

Количество экземпляров—3.

Grammoceras quadratum (Haug)

Табл. VI, фиг. 6

1849. *Ammonites radians quadratus* Quenstedt, стр. 113.
1874. *Ammonites Grunowi* Dumortier, стр. 67, табл. XIV, фиг. 6, 7; табл. XV, фиг. 1, 2.
1885. *Hildoceras quadratum* Haug, стр. 638.
1885. *Ammonites radians quadratus* Quenstedt, стр. 409, табл. 51, фиг. 9.
1889. *Grammoceras quadratum* Buckman, стр. 201, табл. XXXIV, фиг. 6, 7.
1902. *Harpoceras quadratum* Janensch, стр. 69, табл. VI, фиг. 3, 3а.
1906. *Hildoceras quadratum* Renz, стр. 234, табл. X, фиг. 3, 3а.
1947. *Grammoceras quadratum* Крымгольц, стр. 169, табл. XXVII, фиг. 3—5.
1961. *Grammoceras quadratum* Крымгольц, стр. 53, табл. II, фиг. 7а, б.
1965. *Grammoceras quadratum* Топчишили, стр. 18, табл. III, фиг. 18.
1965. *Grammoceras quadratum* Ростовцев, стр. 56, табл. II, фиг. 1а, б; табл. III, фиг. 1а, б; табл. V, фиг. 2а, б.
1966. *Grammoceras quadratum* Нуцубидзе, стр. 97, табл. XXI, фиг. 6, 7.

В нашем распоряжении имеется два сравнительно хорошо сохранившихся аммонита и столько же сбломков, представляющие собой внутренние ядра.

Размеры:

Д П В Т

Обр. 319/70 50 мм (100) 20 мм (40) 15 мм (30) 14,3 мм (28)

Описание. Раковина уплощена, состоит из слабо объемлющих с搏отов, медленно возрастающих в высоту. Сечение с搏отов квадратное, с почти параллельными боками и сравнительно широкой уплощенной наружной стороной. На последней прослеживается хорошо разогнутый киль, который окаймлен двумя бороздками. Плоские боковые стороны резко ограничены от наружной поверхности и стенок пупка. Пупок широкий, имеет ступенчатое строение.

Скульптура состоит из резко выраженных, грубых, почти прямых ребер. Наибольших размеров ребра достигают у наружной стороны, где они незначительно загибаются вперед. Промежутки, разделяющие ребра, примерно в 1,5 раза превышают их по ширине.

Сравнение. По общему своему облику описываемый вид довольно близок к предыдущему, но четко отличается от него квадратным сечением с搏отов, более грубыми и менее изгибающимися ребрами. По этим же признакам, а также более редко расположенным ребрами рассматриваемый вид отличается от *Grammoceras subquadratum* Buckm. (Станкевич, 1964, стр. 26, табл. V, фиг. 5).

Геологический возраст и распространение. Верхний тоар, зона *Pseudogrammoceras fallaciosum* Германии, Франции, Англии, Греции, Северного Кавказа и Грузии—Дзиурльский массив.

Местонахождение. Ущелья рр. Квирилы (с. Мартотубани), Глинаисгеле (с. Циплаваке), красные известняки, верхний тоар.

Количество экземпляров—4.

Grammoceras saemannii (Dumortier)

Табл. VI, фиг. 7

1874. *Ammonites saemannii* Dumortier, стр. 61, табл. XIII,
фиг. 4—6.

1885. *Hildoceras saemannii* Haug, стр. 638, табл. XI, фиг. 18.

1904. *Pseudogrammoceras saemannii* Buckman, стр. CXLIX, фиг 145
1947. *Grammoceras saemannii* Крымгольц, стр. 169, табл. XXVIII, фиг. 6.
1961. *Grammoceras saemannii* Крымгольц, стр. 57, табл. III, фиг. 2.
1964. *Grammoceras saemannii* Станкевич, стр. 27, табл. V, фиг. 3, 4; табл. VI.
1965. *Grammoceras saemannii* Ростовцев, стр. 57, табл. IV, фиг. 3.

В коллекции данный вид представлен плохо сохранившимися ядрами.

Описание. Раковина, по-видимому, уплощена, обороты умеренно возрастают в высоту, в поперечном сечении имеют форму угловатого овала. Наибольшая толщина их находится ниже середины. Слабо выпуклые боковые поверхности, круто перегибаясь, переходят в наружную сторону и стенки пупка. Наружная поверхность уплощена и несет посередине невысокий киль, ограниченный с обеих сторон широкими бороздками. Стенки пупка низкие, отвесные.

Скульптура представлена хорошо развитыми, слабо серповидно изгибающимися ребрами. Начинаясь у пупкового края, ребра совершенно незначительно отклоняются назад, а в верхней части высоты обрата сравнительно резко изгибаются вперед. При переходе к наружной поверхности ребра вновь загибаются вперед. Межреберные промежутки заметно превышают ширину самих ребер.

Из элементов перегородочной линии сохранилась только первая боковая лопасть, которая оканчивается тремя ветвями.

Сравнение. Своим внешним видом описываемая форма больше всего напоминает *Grammoceras thouarsense* (d'Orb.) (см. выше), но отличается от него более частыми и слабее изогнутыми ребрами.

В отличие от *Grammoceras quadratum* (Haug) (см. выше) наша форма имеет иное поперечное сечение с搏отов и сильнее изгибающиеся по длине ребра.

Геологический возраст и распространение Верхний тоар, зона *Pseudogrammoceras fallaciosum* Франции, Англии, Германии и Северного Кавказа.

Местонахождение. Ущелье р. Квирилы (с. Мартотубани), красные известняки, верхний тоар.

Количество экземпляров—2.

Под *Pseudogrammoceras* Buckman, 1901

Pseudogrammoceras cf. bingmanni (Denckmann)

Табл. VI, фиг. 8

1889. *Grammoceras fallaciosum* var. *Bingmanni* Buckman, стр. 206, табл. XXXIV, фиг. 3—5.
1902. *Harpoceras fallaciosum* var. cf. *bingmanni* Janensch, стр. 73, табл. VII, фиг. 2a.
1904. *Pseudogrammoceras Bingmanni* Buckman, стр. CXLV, фиг. 137.
1965. *Pseudogrammoceras bingmanni* Ростовцев, стр. 60, табл. II, фиг. .

В нашем распоряжении съемок внутреннего ядра, на котором видны характер поперечного сечения, скульптура и некоторые участки лопастной линии.

Описание. Оборот со слабо выпуклыми боками, которые через округлый перегиб переходят в дугобразно изогнутую наружную поверхность. На последней проходит обособленный киль. Поперечное сечение оборота имеет форму овала несколько заостренного кверху. Стенки пупка низкие, отвесные.

Скульптура состоит из крупных, слабо серповидно изогнутых ребер. По ширине своей ребра заметно уже, чем разделяющие их промежутки.

Перегородочная линия плохо сохранилась, видно только первое боковое седло с тремя ветвями.

Сравнение. От *Pseudogrammoceras fallaciosum* (Buckle) (1878, табл. LXXVIII, фиг. 1—2) рассматриваемый образец отличается более изогнутыми и реже расположеными ребрами.

Геологический возраст и распространение. Верхний тоар, зона *Pseudogrammoceras fallaciosum* Англии, Германии и Северного Кавказа.

Местонахождение. Ущелье р. Квирилы (с. Мартотубани), красные известняки, верхний тоар.

Количество экземпляров—1.

Семейство **GRAPHOCERATIDAE** Buckman, 1905

Под *Pseudolioceras* Buckman, 1889

Pseudolioceras lythense (Young et Bird)

Табл. VI, фиг. 9

1853. *Harpoceras Lythense* Oppel, стр. 246.
1874. *Ammonites Lythense* Dumortier, стр. 56, табл. XI, фиг. 9—10.
1881. *Ammonites Lythense* Meneghini, стр. 53.
1884. *Harpoceras Lythense* Wright, стр. 444, табл. LXII, фиг. 4—6.
1885. *Ammonites lythense* Haug, стр. 622.
1885. *Ammonites Lythensis falcatus* Quenstedt, стр. 350, табл. 43, фиг. 1.
1898. *Ammonites Lythense* Haug, стр. 13, табл. III, фиг. 1.
1966. *Pseudolioceras lythense* Нуцубидзе, стр. 120, табл. XXVI, фиг. 6.

В коллекции данный вид представлен сильно деформированным ядром.

Размеры:

	Д	П	В	Т
Обр. 325/70	47,5 мм (100)	12 мм (25)	24 мм (50)	—

Описание. Раковина состоит из довольно быстро возрастающих, по-видимому, слабо объемлющих оборотов с незначительно выпуклыми боками. Поперечное сечение последнего оборота имеет овальное очертание, вытянутое в высоту. Кверху боковые стороны постепенно сближаются и через округлый перегиб переходят в узкую необособленную наружную поверхность, на маленьком участке которой сохранился высокий киль. Пупок умеренно узкий, с низкими стенками.

Скульптура представлена одиночными, серповидно изгибающимися ребрами, разделенными более узкими, чем ребра промежуточными. М. В. Топчишвили

жутками. Ребра в нижней половине боковой поверхности направлены косо вперед, у середины ее резко изгибаются и в верхней половине образуют дугу, обращенную выпуклостью назад.

Сравнение. Более широкий пупок, сравнительно густо расположенные ребра отличают описываемую форму от близкого *Pseudoliceras beyrichi* (Schloenb.) (Крымгольц, 1961, стр. 76, табл. IV, фиг. 11; табл. VIII, фиг. 4; табл. IX, фиг. 4, 5).

Геологический возраст и распространение. Верхний тоар Англии, Германии, Франции, Италии и Грузии—Дзиурульский массив.

Местонахождение. Окрестности с. Джвари, глинистомергелистые породы, верхний тоар.

Количество экземпляров—1.

Род *Leioceras* Hyatt, 1867

Leioceras cf. *costosum* (Quenstedt)

Табл. VI, фиг. 10

1886. *Ammonites opalinus costosus* Quenstedt, стр. 447, табл. 55, фиг. 5, 20, 21.
1889. *Lioceras costosum* Buckman, стр. XXXVII, табл. VI, фиг. 1—4.
1905. *Harpoceras (Lioceras) costosum* Venckse, стр. 415, табл. LIV, фиг. 5.
1926. *Ludwigia costosa* Schmidtill, стр. 92, табл. XII, фиг. 24.
1926. *Ludwigia murchisonae* Schmidtill, стр. 95 (частично), табл. XII, фиг. 4, 10, 26.
1927. *Lioceras costosum* Schneider, стр. 44.
1940. *Lioceras costosum* Gérard et Bichelonne, стр. 49, табл. XXVIII, фиг. 3.
1947. *Leioceras costosum* Крымгольц, стр. 173, табл. XXIX, фиг. 12а, б.
1961. *Leioceras costosum* Крымгольц, стр. 81, табл. V, фиг. 6а, б.
1964. *Leioceras costosum* Станкевич, стр. 38, табл. X, фиг. 6, 7а, б.
1966. *Leioceras costosum* Нуцубидзе, стр. 126, табл. XXVIII, фиг. 5—6.

В коллекции имеется плохо сохранившееся ядро, которое, по-видимому, относится к данному виду.

Описание. Раковина состоит из высоких оборотов, со слабо выпуклыми, почти уплощенными боками. Они постепенно, через округлый перегиб, переходят в наружную поверхность. Поперечное сечение последнего оборота имеет форму высокого обала. Посередине наружной поверхности проходит хорошо выраженный киль. Пупок умеренно узкий.

Пупковый край окаймляется узкой гладкой полосой, с верхней границы которой начинаются ребра. Ребра четко выражены, слабо серпообразно изогнуты по длине. Некоторые из них в верхней половине высоты оборота раздваиваются. В нижней части они сближены, а в верхней отделяются, благодаря чему значительно увеличивается расстояние между ними. Здесь межреберные промежутки заметно шире самих ребер.

Сравнение. От близкого *Leioceras acutum* (Quenstedt) (1858, стр. 336, табл. 46, фиг. 4) описываемый вид отличается сравнительно низкими оборотами и реже расположенными ребрами.

Геологический возраст и распространение. Нижний аален, зона *Leioceras opalinum* Германии, Англии, Франции, Северного Кавказа и Грузии—Южный склон Б. Кавказа, Локский массив.

Местонахождение. Ущелье р. Кацахуры, красные известняки, нижний аален.

Количество экземпляров—1.

Семейство HAMMATOCERATIDAE Buckman, 1887

Род *Hammatoceras* Hyatt, 1867

Hammatoceras cf. *tenuinsigne* Vaček

Табл. VII, фиг. 1

1886. *Hammatoceras tenuinsigne* Vaček, стр. 88, табл. XII, фиг. 6, 7.
1940. *Hammatoceras tenuinsigne* Gérard et Bichelonne, стр. 41, табл. XIV, фиг. 3.
1961. *Hammatoceras (Hammatoceras) cf. tenuinsigne* Крымгольц, стр. 105, табл. VI, фиг. 5.
1966. *Hammatoceras tenuinsigne* Нуцубидзе, стр. 147, табл. XXXIV, фиг. 1..

В нашем распоряжении одно ядро, на котором неполностью сохранилась скульптура. Тем не менее, все остальные наблюдаемые признаки, позволяют с достаточной уверенностью дать ему видовое определение.

Размеры:

Д	П	В	Т
Обр. 330/70	95,7 мм (100)	27 мм (29)	43 мм (44)

Описание. Раковина имеет уплощенную форму, обороты высокие, их поперечное сечение приближается к овальному, несколько удлиненному в высоту. Боковые поверхности оборотов слегка выпуклые и постепенно переходят в узкую наружную сторону. Здесь проходит узкий киль. Пупок умеренно широкий.

Скульптура состоит из ребер. К сожалению, ребра сохранились только в верхней части высоты оборота, где они незначительно изгибаются вперед.

Перегородочная линия настолько плохо сохранилась, что не дает возможности судить о строении ее отдельных элементов.

Сравнение. Неудовлетворительная сохранность нашего образца затрудняет его сравнение с близкими видами.

Геологический возраст и распространение. Нижний аален, зона *Leioceras opalinum* Италии, Франции и Грузии — Дзириульский массив; аален Венгрии; верхний аален, зона *Ludwigia murchisonae* Северного Кавказа.

Местонахождение. Ущелья рр. Квирилы (с. Мартотубани) и Кацхуры (с. Кацхи), красные известняки, нижний аален.

Количество экземпляров — 2.

Подрод *Erycites* Gemmellaro, 1886

Hammatoceras (Erycites) fallax (Benecke)

Табл. VII, фиг. 2а, 2б

1874. *Ammonites fallax* Dumortier, стр. 264, табл. LV, фиг. 3—6.

1886. *Hammatoceras fallax* Vaček, стр. 93, табл. XV, фиг. 1—9.

1961. *Hammatoceras (Erycites) fallax* Крымгольц, стр. 108, табл. VII, фиг. 1, 2.
 1966. *Hammatoceras (Erycites) fallax* Нуцубидзе, стр. 150, табл. XXXIII, фиг. 4, 4а; табл. XXXIV, фиг. 2, 2а; табл. XXXV, фиг. 2, 2).

В коллекции имеется один образец, представляющий собой внутреннее ядро вполне удовлетворительной сохранности.

Размеры:

Д	П	В	Т
Обр. 331/70	63,5 мм (100)	15,3 мм (24)	27,5 мм (43)

Описание. Раковина гладкая, состоит из сильно объемлющих, умеренно возрастающих в высоту оборотов. Поперечное сечение обеих сторон овально-округлое, с наибольшей толщиной приблизительно в средней части высоты оборота. Боковые поверхности оборотов выпуклые и постепенно переходят в широкую, дугообразно изогнутую наружную сторону. На последней прослеживается низкий киль. Дорельно крутые, не обоссаженные стенки пупка, закругленным перегибом ограничены от боков. Пупок глубокий, имеет воронковидную форму.

Скульптура представлена крупными, хорошо выраженными ребрами, разделенными промежутками, значительно превышающими их по ширине. Они начинаются в нижней части пупка, и затем, не отклоняясь от направления радиуса, поднимаются вверх. Приблизительно у середины высоты оборота, в месте его наибольшей толщины, ребра делятся на 2 и 3 ветви, которые, переходя на наружную поверхность, слегка отклоняются вперед и у киля прерываются. Ребра, составляющие эти ветви, по сравнению с основными ребрами, уже и расположены гуще.

Сравнение. Наш аммонит в отличие от форм внесенных в синонимику данного вида, имеет более узкий пупок, хотя исключением является одна форма, иллюстрированная М. Вачеком (Vaček, 1886, табл. XV, фиг. 5), которая по степени инволютиности и величине пупка совершенно идентична с нашим образцом.

От наиболее близкого вида *Hammatoceras (Erycites) tenax* Vaček (1886, стр. 94, табл. XV, фиг. 10—14) описываемая форма отличается более высоким положением места ветвления ребер и отсутствием на боковой поверхности бугорков.

Геологический возраст и распространение.
Нижний аален, зона *Leioceras opalinum* Италии, Франции, Северного Кавказа и Грузии—Дзирульский массив.

Местонахождение. Ущелье р. Квирилы (с. Мартотубани), красные известняки, нижний аален.

Количество экземпляров—1.

Род *Phymatoceras* Hyatt, 1867

Phymatoceras comense evoluta (Renz)

Табл. VII, фиг. 3а, 3б

1881. *Ammonites Comensis Meneghini*, стр. 21, табл. V, фиг. 1, 2.

1874. *Ammonites Tirolensis Dumortier*, стр. 86, табл. XXIV, фиг. 1, 2.

1906. *Hildoceras comense* var. *evoluta* Renz, стр. 257, табл. XI, фиг. 1, 1а.

1965₁. *Lillia comensis* Buch var. *evoluta* Топчишили, стр. 20, табл. III, фиг. 19—20.

Мы располагаем одним ядром хоршой сохранности, позволяющим проследить характерные признаки этого вида.

Размеры:

Д	П	В	Т
Обр.332/70	70,5 мм (100)	32 мм (45)	22,1 мм (31) 16,3 мм (23)

Описание. Уплощенная раковина состоит из слабо объемлющих оборотов, умеренно взрастающих в высоту, прямоугольного сечения, с плоскими, параллельными боками. Последние плавно переходят в дугообразно выпуклую наружную поверхность. Внешний и пупковый перегибы закруглены в сечении. На наружной стороне проходит киль, окаймленный с двух сторон бороздками. Пупок широкий, с округлым краем и ступенчатым строением.

У пупкового края расположены крупные четко обособленные бугорки, число которых на последнем обороте достигает 16. В более ранней стадии роста они сравнительно маленькие, заостренные, позже становятся высокими и сосковидными. От бугор-

ков отходят по 2, реже по 3 слабо изогнутых по длине ребра. Помимо этих ребер, между ветвями присутствует по одному промежуточному ребру. Все они грубы и сильно выступают. В верхней части боковой поверхности ребра достигают наибольшей ширины и высоты. Здесь они слегка изгибаются вперед и приблизительно у края сифональной поверхности исчезают. По-видимому, ребра в поперечном сечении имеют дугообразную форму, промежутки, разделяющие ребра, немного превышают их по ширине. Число ребер на последнем обороте равно 40.

Из элементов перегородочной линии на боковой поверхности оборота наблюдается глубокая первая боковая лопасть, имеющая трехветвистое окончание.

Сравнение. В литературе часто встречаются под именем *Phymatoceras comense* (Buch) совершенно отличающиеся друг от друга формы, которые по своим внешним признакам явно выходят за пределы этого вида. К. Ренц хорошо сгруппировал все эти формы и выделил из *Ph. comense* (Buch.) несколько вариететов, с одной из которых (var. *evoluta*) наша форма проявляет наибольшее сходство. Отмеченный исследователь совершенно справедливо поместил в синонимику рассматриваемой разновидности *Phymatoceras tirolensis* (Hauer), описанный и изображенный Д. Дюмортье (Dumortier, 1874, стр. 86, табл. XXIV, фиг. 1, 2), т. к. он своим очертанием, характером ребер и бугорков больше соответствует ей, чем указанному виду.

Геологический возраст и распространение. Средний тоар, зона *Hildoceras bifrons* Италии, Франции, Греции и Грузии—Дзирульский массив.

Местонахождение. Ущелье р. Квирилы (с. Мартотубани), красные известняки, средний тоар.

Количество экземпляров—1.

Phymatoceras cf. tirolense (Hauer)

Табл. VII, фиг. 4

1889. *Phymatoceras tirolense* Buckman, стр. XXX.

1931. *Lillia tirolensis* Monestier, стр. 22, табл. IV, фиг. 3, 5 и 6.

1964. *Phymatoceras tirolense* Станкевич, стр. 49, табл. XII.

Геологический возраст и распространение. Нижний аалён, зона *Leioceras opalinum* Италии, Франции, Северного Кавказа и Грузии—Дзириульский массив.

Местонахождение. Ущелье р. Квирилы (с. Мартотубани), красные известняки, нижний аален.

Количество экземпляров—1.

Род *Phymatoceras* Hyatt, 1867

Phymatoceras comense evoluta (Renz)

Табл. VII, фиг. За, 3б

1881. *Ammonites Comensis Meneghini*, стр. 21, табл. V, фиг. 1, 2.

1874. *Ammonites Tirolensis Dumortier*, стр. 86, табл. XXIV, фиг. 1, 2.

1906. *Hildoceras comense* var. *evoluta* Renz, стр. 257, табл. XI, фиг. 1, 1а.

1965₁. *Lillia comensis* Buch var. *evoluta* Топчишвили, стр. 20, табл. III, фиг. 19—20.

Мы располагаем одним ядром хоршшей сохранности, позволяющим проследить характерные признаки этого вида.

Размеры:

Д П В Т

Обр.332/70 70,5 мм (100) 32 мм (45) 22,1 мм (31) 16,3 мм (23)

Описание. Уплощенная раковина состоит из слабо объемлющих оборотов, умеренно возрастающих в высоту, прямоугольного сечения, с плоскими, параллельными боками. Последние плавно переходят в дугообразно выпуклую наружную поверхность. Внешний и пупковый перегибы закруглены в сечении. На наружной стороне проходит киль, окаймленный с двух сторон бороздками. Пупок широкий, с округлым краем и ступенчатым строением.

У пупкового края расположены крупные четко обособленные бугорки, число которых на последнем обороте достигает 16. В более ранней стадии роста они сравнительно маленькие, заостренные, позже становятся высокими и сосковидными. От бугор-

ков отходят по 2, реже по 3 слабо изогнутых по длине ребра. Помимо этих ребер, между ветвями присутствует по одному промежуточному ребру. Все они грубы и сильно выступают. В верхней части боковой поверхности ребра достигают наибольшей ширины и высоты. Здесь они слегка изгибаются вперед и приблизительно у края сифональной поверхности исчезают. Повидимому, ребра в поперечном сечении имеют дугообразную форму, промежутки, разделяющие ребра, немного превышают их по ширине. Число ребер на последнем обороте равно 40.

Из элементов перегородочной линии на боковой поверхности оборота наблюдается глубокая первая боковая лопасть, имеющая трехветвистое окончание.

Сравнение. В литературе часто встречаются под именем *Phymatoceras comense* (Buch) совершенно отличающиеся друг от друга формы, которые по своим внешним признакам явно выходят за пределы этого вида. К. Ренц хорошо сгруппировал все эти формы и выделил из *Ph. comense* (Buch.) несколько вариететов, с одной из которых (var. *evoluta*) наша форма проявляет наибольшее сходство. Отмеченный исследователь совершенно справедливо поместил в синонимику рассматриваемой разновидности *Phymatoceras tirolensis* (Нашер), описанный и изображенный Д. Дюмортье (Dumortier, 1874, стр. 86, табл. XXIV, фиг. 1, 2), т. к. он своим очертанием, характером ребер и бугорков больше соответствует ей, чем указанному виду.

Геологический возраст и распространение. Средний тоар, зона *Hildoceras bifrons* Италии, Франции, Греции и Грузии—Дзириульский массив.

Местонахождение. Ущелье р. Квирилы (с. Мартотубани), красные известняки, средний тоар.

Количество экземпляров—1.

Phymatoceras cf. tirolense (Hauer)

Табл. VII, фиг. 4

1889. *Phymatoceras tirolense* Buckman, стр. XXX.

1931. *Lillia tirolensis* Monestier, стр. 22, табл. IV, фиг. 3, 5 и 6.

1964. *Phymatoceras tirolense* Станкевич, стр. 49, табл. XII.

В коллекции данный вид представлен обломками внутреннего ядра. Среди них один образец сравнительно хорошей сохранности. Он представлен полностью сохранившимися внутренними оборотами и $\frac{1}{2}$ частью последнего оборота.

Описание. Обороты низкие, едва объемлют предыдущие. Высота небольших оборотов несколько меньше их ширины, а на последнем обороте высота немного превосходит последнюю. Однако и в первом, и во втором случае эта разница такая незначительная, что форма поперечного сечения оборота, на всех стадиях роста раковины, не выходит за пределы квадрата. Уплощенные боковые стороны резко, но округло ограничены от широкой, также уплощенной наружной поверхности. В ее средней части проходит четко выраженный, довольно широкий, но невысокий киль, ограниченный с обеих сторон широкими бороздками. Пупок ступенчатый, с высокими отвесными стенками, которые крутым окружным перегибом переходят в боковые стороны.

Скульптура отчетливо выражена и состоит из ребер и пупьеских бугорков. Бугорки высокие, слегка вытянуты в почти радиальном направлении, расположены непосредственно на пупковом перегибе. Ребра сильно выступают, промежутки между ними шире, чем они сами. Каждому бугорку соответствуют два или три ребра. Между главными ребрами возникают промежуточные, лишенные бугорков. Все ребра почти прямые, изгибаются вперед только в верхней части оборота и то незначительно.

Сравнение. От близкого предыдущего вида рассматриваемая форма отличается квадратным поперечным сечением оборота, более тонкими ребрами и формой бугорка. Для *Phymatoceas comense evoluta* (Renz) (см. выше) характерны более высокие и сосковидные бугорки. От *Phymatoceras lilli* (Найег) (Buckman, 1898, стр. XIV, табл. I, фиг. 1—6) отличается более низкими оборотами и сравнительно высокими и заостренными бугорками.

Геологический возраст и распространение. Средний тоар, зона *Hildoceras bifrons* Германии, Англии, Франции и Северного Кавказа.

Местонахождение. Ущелье р. Квирилы (с. Мартотубани), красные известняки, средний тоар.

Количество экземпляров—3.

Надсемейство *Haplocerataceae*

Семейство *HAPLOCERATIDAE* Zittel, 1884

Род *Praehaploceras* Monestier, 1931

Praehaploceras zwieselei Monestier

Табл. VIII, фиг. 1, 2

1913. *Praehaploceras Zwieselei* Monestier, стр. 69, табл. VII,

фиг. 10, 11, 14; табл. IX, фиг. 23.

1965₁. *Praehaploceras zwieselei* Топчишили, стр. 21, табл. III,

фиг. 21—22.

В коллекции данный вид представлен ядрами хорошей и довлетворительной сохранности.

Размеры:

	Д	П	В	Т
Обр. 336/70	27,3 мм (100)	8,4 мм (30)	11,3 мм (41)	8,7 мм (31)
Обр. 337/70	31,3 мм (100)	8,6 мм (27)	13,2 мм (42)	9,8 мм (31)

Описание. Раковина средней толщины, состоит из сильно объемлющих оборотов, быстро возрастающих в высоту. В поперечном сечении обороты имеют форму сдавленного с боков овала. Боковые стороны слабо выпуклы, сравнительно постепенно переходят в узкую, закругленную наружную поверхность. Здесь проходит очень неясно выраженный киль. Низкие, отвесные стенки пупка резко ограничены от боковых сторон. Пупок умеренно широкий, ступенчатого строения.

Скульптура представлена расплывчатыми, слегка S-образно изогнутыми ребрами, начинающимися у пупкового края. Немного выше пупка ребра слегка отгибаются назад и, направляясь к сифональной поверхности, в верхней части высоты оборота образуют маленький изгиб, обращенный выпуклостью к начальным оборотам. У пупкового края ребра сближаются, а в некоторых случаях и сливаются между собой. В верхней половине высоты оборота межреберное расстояние значительно возрастает и почти в два раза превосходит по ширине самих ребер.

Сравнение. По форме раковины и общему облику скульптуры наша форма обнаруживает сходство с верхнетоарским *Pseudogrammoceras reynesi* Monestier (1921, стр. 19, табл. I, фиг. 25—27). Отличие от него заключается в менее четко выраженным киле и более густо расположенных ребрах.

Геологический возраст и распространение. Средний тоар, зона *Hildoceras bisrons* Франции и Грузии—Дзи-рульский массив.

Местонахождение. Празый (с. Мартотубани) и левый берег (сс. Сагвина—Санахшире) ущелья р. Квирилы, р. Глинавис-геле, красные известняки, средний тоар.

Количество экземпляров—16.

Подкласс *ENDOCOCHLIA*

Отряд *Decapoda*

Подотряд *Belemnoidea* Naef, 1912

Семейство *BELEMNITIDAE* d'Orbigny, 1845

Род *Passaloteuthis* Lissajous, 1915

Passaloteuthis apicicurvata (Blainville)

Табл. VIII, фиг. За, 3б

1869. *Belemnites apicicurvatus* Dumortier, стр. 34, табл. II,
фиг. 1—12.

1912. *Belemnites apicicurvatus* Werner, стр. 119, табл. XI, фиг.
2, 3.

1947. *Passaloteuthis apicicurvata* Крымгольц, стр. 198, табл.
XXXIX, фиг. За, б.

В коллекции данный вид представлен рострами удовлетворительной сохранности.

Размеры:

	Др ¹	СБ	ББ	О
Обр. 344/70	90 мм (692)	13 мм (100)	10,8 мм (83)	63,2 мм (486)
	сб	бб	р	
	14,7 мм (113)	11,8 мм (90)	82 мм (630)	

Описание. Ростр средней величины, слегка изгибающийся в нижней половине высоты. Длина ростра превосходит толщину, в месте наибольшего расширения, в 6 раз. Ростр как с брюш-

¹ Др—общая длина ростра; СБ—спиннобрюшной диаметр у начала альвеолы; ББ—боковой диаметр у начала альвеолы; О—длина постальвеолярной части ростра; сб—спиннобрюшной диаметр в наиболее расширенном месте ростра; бб—боковой диаметр в наиболее расширенном месте ростра; р—расстояние от наиболее расширенного места ростра до стигии.

ной, так и с боковой стороны имеет цилиндрическое очертание. У начала альвеолы ростр слабо сжат с боков, которые немного уплощены. Наиболее расширенное место расположено в конце альвеолы. Отсюда книзу ростр постепенно суживается, заканчиваясь несколько смещенным к спинной стороне острием. Поперечное сечение ростра овальное. Бороздки на ростре не сохранились.

Сравнение. От несколько сходного *Passaloteuthis tolli* (Pavl.) (Крымгольц, 1947, стр. 199, табл. XXXIX, фиг. 4) описываемый вид отличается меньшей сдвинутостью с боков, меньшей величиной апикального угла и эксцентрическим расположенным острием.

Геологический возраст и распространение. Плиенсбах Франции, Германии, Северного Кавказа и Грузии—Южный склон Б. Кавказа.

Местонахождение. Ущелье р. Дзибульы (с. Шроша), мергелистые породы, домер.

Количество экземпляров—2.

Род *Homaloteuthis* Stolley, 1919

Homaloteuthis subbrevisformis (Lissajous)

Табл. VIII, фиг. 4а, 4б

1906. *Belemnites aff. insculptus* Богданович, стр. 128, табл.
VIII, фиг. 6—7.

1931. (?) *Homaloteuthis subbrevisformis* Крымгольц, стр. 21,
табл. I, фиг. 23—25.

1947. *Homaloteuthis subbrevisformis* Крымгольц, стр. 205,
табл. XLII, фиг. 5 а—с.

1966. *Homaloteuthis cf. subbrevisformis* Нуцубидзе, стр. 158,
табл. XXXVIII, фиг. 2.

В нашем распоряжении имеется ростр, который по своим внешним признакам безусловно относится к данному виду.

Размеры:

	Др	СБ	ББ	О
Обр. 346/70	60,8 мм (420)	14,5 мм (100)	13,3 мм (91)	30,5 мм (210)
	сб	бб	р	
	15,5 мм (106)	—	49,2 мм (339)	

Описание. Ростр небольшой, почти цилиндрической формы, в верхней части (по высоте) суживается постепенно, в нижней—сравнительно быстрее. В альвеолярной части ростр незначительно сдавлен с боков, его поперечное сечение имеет форму овала. Место наибольшей толщины приходится на переднюю часть. Острое незначительно смещено от центра, поэтому сбоку он кажется более или менее симметричным. Альвеола глубокая, занимает половину длины ростра.

Сравнение. Ближайшим видом является *Homaloteuthis breviformis* (Völtz), иллюстрированный и описанный Ф. Квенштедтом (Quenstedt, 1849, стр. 428, табл. 27, фиг. 23—26). Основные отличия состоят в том, что у *Homaloteuthis subbreviformis* (Liss.) ростр достигает больших размеров и характеризуется менее резким заострением заднего конца.

Геологический возраст и распространение. Нижний аален Франции; аален Северного Кавказа.

Местонахождение. Ущелье р. Чхриалетисгеле, красные известняки, нижний аален.

Количество экземпляров—1.

Род *Mesoteuthis* Lissajous, 1915

***Mesoteuthis tripartita* (Schlotheim)**

Табл. VIII, фиг. 5

- 1849. *Belemnites elongatus* d'Orbigny, стр. 90, табл. VIII, фиг. 6—11.
- 1849. *Belemnites digitalis tripartitus* Quenstedt, стр. 418, табл. 26, фиг. 31 а—б.
- 1858. *Belemnites tripartitus* Quenstedt, стр. 225, табл. XXXVI, фиг. 10.
- 1874. *Belemnites tripartita* Dumortier, стр. 34, табл. II, фиг. 2—7.
- 1898. *Belemnites tripartitus* Benecke, стр. 46, табл. IV, фиг. 4а.
- 1902. *Belemnites tripartitus* Janensch, стр. 118, табл. XI, фиг. 6 а—б, 7а, 8.
- 1912. *Belemnites tripartitus crassus* Werner, стр. 135, табл. XIII, фиг. 5.
- 1947. *Mesoteuthis tripartita* Крымгольц, стр. 201, табл. XL, фиг. 1 а—с.

1966. *Mesoteuthis tripartita* Нуцубидзе, стр. 162, табл. XXXVIII, фиг. 9.

В коллекции данный вид представлен довольно хорошо сохранившимся образцом.

Размеры:

	Др	СБ	ББ	О
Обр. 347/70	74,3 мм (629)	11,8 мм (100)	11,6 мм (98)	38 мм (322)
	сб	бб		р
	13,2 мм (111)	13,2 мм (111)	65,5 мм (555)	

Описание. Ростр средних размеров, конического очертания. Поперечное сечение вдоль всей длины ростра округлое. Место наибольшего расширения находится в переднем конце. От этого места книзу ростр суживается, вначале весьма постепенно, затем, приближаясь к заднему концу, более резко, заканчиваясь центрально расположенным острием. Альвеола достигает приблизительно половины длины ростра. В нижней части ростра имеются две нечеткие, спинно-боковые бороздки.

Сравнение. Описываемый вид очень близок к *Mesoteuthis triscissa* (Jan.) (Крымгольц, 1947, стр. 201, табл. XL, фиг. 2), от которого отличается более правильной формой ростра и округлым поперечным сечением.

Геологический возраст и распространение. Тоар Франции и Германии; тоар и нижний аален Северного Кавказа.

Местонахождение. Ущелья рр. Квирилы (с. Мартотубани) и Кацхуры (с. Кацхи), красные известняки, тоар.

Количество экземпляров—2.

***Mesoteuthis sulcata* (Quenstedt)**

Табл. VIII, фиг. 6а, 6б

- 1849. *Belemnites tripartitus sulcatus* Quenstedt, стр. 419, табл. 26, фиг. 16а, б, с, д, 22—24.
- 1912. *Belemnites tripartitus sulcatus* Werner, стр. 131, табл. XI, фиг. 8 а, б, с; табл. XII, фиг. 1.

В коллекции имеются ростры, как неважной, так и удовлетворительной сохранности.

Р а з м е р ы:

Др СБ ББ О

Обр. 349/70 117,6 мм (840) 14 мм (100) 11,8 мм (84) 83 мм (592)
 сб бб р
 14,7 мм (105) 12,1 мм (86) 106 мм (757)

Описание. Ростр крупный, субцилиндрической формы, постепенно суживающийся по всей длине. Боковые стороны ростра слегка уплощены. Поперечное сечение в области альвеолы имеет форму сдавленного с боков овала. Альвеола сравнительно короткая, а постальвеолярная часть довольно длинная и почти в шесть раз превосходит спинно-брюшной диаметр у начала альвеолы. На несколько эксцентричном острие начинаются три бороздки, среди которых брюшная бороздка длиннее (53 мм) и выражена четче, чем спинно-боковые.

Сравнение. Наш образец очертанием ростра и формой поперечного сечения весьма похож на *Mesoteuthis longisulcata* (Quenstedt) (1849, стр. 413, табл. 25, фиг. 11, 23), но в отличие от него имеет более короткие спинно-боковые бороздки.

Геологический возраст и распространение

Местонахождение. Ущелье р. Чхриалетисгеле, красные известняки, тоар.

Количество экземпляров=10.

— этого массива

ГРУЗИЯ		ЗА ПРЕДЕЛАМИ ГРУЗИИ										
		Локский массив	Южный склон Б. Кавказа	Азербайджан	Северный Кавказ	Донецкий бассейн	Западная Европа	Турция	Сибирь	Дальний Восток	Северная Америка	Южная Америка
X			X	X	X	X	X	X				

Таблица распространения нижнеюрских головоногих Дзирульского массива

Наименование видов

ЛИТЕРАТУРА

- Бацевич Л. Ф., 1877. Геологическое описание Шорапанского уезда, Кутаисской губернии. Мат. для геол. Кавказа, сер. I, кн. 7, Тифлис.
- Безносов Н. В., 1958. Юрские аммониты Северного Кавказа и Крыма. *Phylloceratina* и *Lytoceratina*. Л.
- Богданович К. И., 1906. Система Дибрара в Юго-Восточном Кавказе. Тр. Геол. Ком., новая сер., в. 26, С.-Петербург.
- Бамкрелидзе П. Д. и Чихелидзе С. С., 1933. К геологии части долины р. Дзирулы (на груз. яз. рез. франц.). Бюлл. Геол. ин-та, т. I, в. 2.
- Бамкрелидзе П. Д., 1949. Геологическое строение Аджаро-Триалетской складчатой системы. Геол. ин-т АН Груз. ССР, Моногр., № 2, Тбилиси.
- Гасанов Т. А., 1967. Нижняя юра Азербайджана. Ин-т геологии им. акад. И. М. Губкина АН Азерб. ССР.
- Жанелидзе А. И., 1946. О возрасте красных известняков Дзирульского массива. Сообщ. АН Груз. ССР, т. VII, № 4.
- Дзоценидзе Г. С., Схиртладзе Н. И., Чечелашвили И. Д., 1950. О литологии питающей области лейасовых осадков Дзирульского массива (на груз. яз.). Тр. Геол. ин-та АН Груз. ССР, сер. минералпетрогр., т. II.
- Дзоценидзе Г. С., Схиртладзе Н. И., Чечелашвили И. Д., 1953. Литология лейасских отложений Дзирульского массива (рез. на русс. яз.). Т. III.
- Канчабели А. Л., 1964. Новые материалы о «нижних туффитах» по лосы Шроша-Нарула (рез. на русс. яз.). Сообщ. АН Груз. ССР, XXXIII:3.
- Кахадзе И. Р., 1947. Грузия в юрское время. Тр. Геол. ин-та АН Груз. ССР, т. III (VIII), Тбилиси.
- Кахадзе И. Р., 1948. Лейасские и байосские иноцерамы Грузии (рез. на русс. яз.). Ibid, сер. геолог. IV (IX), 1,2.
- Коенъ Е. Р., 1931. Геология на Предбалканах въ Тетевенско заедно с фауната на срѣдния лиасъ. Спис. на Бѣлг. Геол. Друж., год III, кн. I, София.
- Коенъ Е. Р., 1932. Faуната на горния лиасъ, докера и малма въ Тетевенския Балканъ и палеогеографското ѝ значение. Ibid, год IV, кн. I. София.
- Крымгольц Г. Я., 1931. Юрские белемниты Крыма и Кавказа. Тр. Геол.-разв. Упр. ВСНХ-ССР, вып. 76, М.-Л.
- Крымгольц Г. Я., 1947. Нижне-и среднеюрские отложения в СССР. Атлас руков. форм ископ. фауны СССР, т. VIII, нижний и средний отделы юрской системы, Л.
- Крымгольц Г. Я., 1961. Аммониты нижне- и среднеюрских отложений Северного Кавказа. Изд. ЛГУ.
- Крымгольц Г. Я., Нуцубидзе К. Ш., 1958. Надсемейство *Psiloscerataceae*. В кн: Основы палеонтологии. Моллюски-головоногие, т. II.

- Крымгольц Г. Я., 1958. Надсемейство Eoderocerataceae. *Ibid.*
- Нуцубидзе К. Ш., 1949. Лейасские брахиоподы периферии Дзирульского массива (рез. на русс. яз.). Тр. Геол. ин-та АН Груз. ССР., сер. геол., V (Х).
- Нуцубидзе К. Ш., 1951. О стратиграфическом значении лейасских брахиопод периферии Дзирульского массива (рез. на русс. яз.). Сб. тр. Геол. ин-та АН Груз. ССР.
- Нуцубидзе К. Ш., 1962. Зоны лейаса в Грузии и прилегающих районах Кавказа. Докл. Сов. геол. к I Междунар. коллоквиуму по юрской системе, Тбилиси.
- Нуцубидзе К. Ш., 1966. Нижнеюрская фауна Кавказа. Тр. Геол. ин-та АН Груз. ССР., нов. сер., вып. 8, Тбилиси.
- Ростовцев К. О., 1965. Амониты верхнего тоара Западного Кавказа. Тр. КФВНИИ, вып. 16.
- Сапунов И., 1959. Стратиграфски и палеонтологки проучвания на тоарса от околностите на гр. Тетевен. Тр. върху геол. на България, сер. пал., кн. I, София.
- Сапунов И., Начев Ив., 1959. Амонитна фауна на Южната част на западна Стара Планина. *Ibid.*
- Сванидзе Ц. И., 1965. Исследование флоры нижнеюрских отложений окрестностей с. Шроша. Изв. Геол. об-ва Грузии, т. IV, вып. 2.
- Сорокин А. И., Симонович С. Е., 1885. К геологии Кутаисской губернии Шорапанского уезда. Мат. для геол. Кавказа, сер. I, кн. 12, Тифлис.
- Станкевич Е. С., 1964. Амониты юрских песчано-глинистых отложений Северо-Западного Кавказа. Изд-во «Наука», М.-Л.
- Стефанов Юл., 1960. Представители на семейство Amaltheidae в България. Тр. върху геол. на България, сер. пал., кн. II, София.
- Топчишили М. В., 1965₁. Некоторые новые и малоизвестные амониты лейасовых отложений Дзирульского массива (на груз. яз.). АН Груз. ССР., Изв. Геол. об-ва Грузии, т. IV, в. 2.
- Топчишили М. В., 1965₂. О возрасте лейасовой терригенной свиты южной периферии Дзирульского массива (рез. на русс. яз.). Сообщ. АН Груз. ССР., XXXVII: 3.
- Чихелидзе С. С., 1948. Геологические наблюдения в юго-восточной части Дзирульского массива (рез. на русс. яз.). Тр. Геол. ин-та АН Груз. ССР., сер. геол., IV (IX).
- A bich H., 1865. Aperçu de mes voyages en Transcaucanie en 1864. Bull. de la Soc. Imp. Natur. Moscou, t. XXXVIII, N 1.
- B a y l e E., 1878. Explication de la carte géologique de France, vol. IV, Atlas, I partie. Fossiles principaux des terrains, Paris.
- Benecke E., 1898. Beitrag z. Kenntniß des jura in Deutsch-Lothringen. Abh. z. geol. Specialkarte v. Elsass-Lothringen, N. F., Hft. I, Strassburg.
- Benecke E., 1905. Die Versteinerungen der Eisenerzformation v. Deutsch-Lothringen und Luxemburg. *Ibid.*, Hft. VI, Strassburg.
- Bettolini A., 1900. Fossili Domeriani della provincia di Brescia. Mém. Soc. pal. Suisse, vol. XXVII, Genève.

- B r a n c o W., 1879. Der untere Dogger Deutsch-Lothringen. Abh. z. geol. Specialkarte v. Elsass-Lothringen. Bd. II, Hft. I, Strassburg.
- B u c k m a n S., 1889—1904. A Monograph on the inferior Oolite Ammonites of the British Islands. Paleontogr. Soc., London.
- B u c k m a n S., 1920—1926. Yorkshire type Ammonites. London.
- D u m o r t i e r E., 1869—1874. Etudes paléontologiques sur les dépôts jurassiques du bassin du Rhône, Paris.
- E r b e n H., 1956. El Jurásico inferior de México y sus Ammonitas. XX Congreso geol. intern., Mexico.
- F a v r e E., 1875. Recherches géologiques dans la partie centrale de la chaîne du Caucase, Lyon.
- F o u r n i e r E., 1896. Description géologique du Caucase central (Thèse), Marseille.
- F r e n t z e n K., 1937. Ontogenie, Phylogenie und Systematik der Amalthea, en des Lias Delta Südwestdeutschlands. Abh. der Heidelberg Akademie der Wissenschaften, Math.-Natur. Kl., Abh. №23, Heidelberg.
- F u c i n i A., 1899. Ammoniti del Lias medio dell' Appennino centrale esistenti nel Museo di Pisa. Palaeontogr. Italica, vol. V, Pisa.
- F u c i n i A., 1901—1905. Cefalopodi Liassici del Monte di Cetona. *Ibid.*, vol. VII—XI, Pisa.
- F u c i n i A., 1919. Il Lias superiore di Taormina eisuo! Fossili. *Ibid.*, vol. XXV, Pisa.
- G é c e z y B., 1967. Ammonoïdes jurassiques de Csernye, montagne Bakony, Hongrie.—Part II (excl. Hammatoceratidae). Geol. Hung., ser. Palaeont., fasc. 35. Budapest.
- G é r a r d Ch. et B i c h e l o n n e J., 1940. Les Ammonites aalénienes du minéral de fer de Lorraine. Mém. Soc. géol. France, N. S., vol. XIX, fasc. 1—2, mem. 42. Paris.
- G e y e r G., 1886. Über die liasischen Cephalopoden des Hierlatz bei Hallstatt. Abh. K. K. geol. Reichsanstalt, Bd. XII, Wien.
- G e y e r G., 1889—1893. Die mittelaliasche Cephalopoden-Fauna des Hinterschafberges in Oberösterreich. *Ibid.*, Bd. XV, Wien.
- H a a s O., 1912—1913. Die Fauna des mittleren Lias von Ballino in Südtirol. Beitr. z. Pal. und Geol. Österreich-Ung. und des Orients. Bd. XXXY—XXVI, Wien.
- H a u g E., 1885. Beiträge zu einer Monographie der Ammoniten-gattung Harpoceras. Neutes Jb. f. M., G. u. P., B.—B. III, Stuttgart.
- H o w a r t h M., 1958. A Monograph of the Ammonites of the Liassic family Amaltheidae in Britain. Part I. London.
- H u g O., 1898. Beiträge zur Kenntnis der Lias—und Dogger-Ammoniten aus der zone der Freiburger Alpen. Mém. Soc. pal. Suisse, vol. XXV, Genf.
- J a n e n s c h W., 1902. Die Jurensischichten des Elsass. Abh. z. geol. Spezialkarte v. Elsass-Lothringen, N. F., Hft. V, Strassburg.
- M e n e g h i n i J., 1867—1881. Monographie des fossiles du calcaire rouge ammonitique de Lombardie et de l'Apennin central, Milan.
8. М. В. Топчишили

- Monestier J., 1921. Ammonites rares ou peu connues et ammonites nouvelles du Toarcien supérieur du sud-est de l'Aveyron. Mém. Soc. géol. France. Mém. N 54, vol. XXIII, fasc. 2, Paris.
- Monestier J., 1931. Ammonites rares ou peu connues et ammonites nouvelles du Toarcien moyen de la région sud-est de l'Aveyron. Ibid, N. S., Mém. N 15, vol. VII, fasc. I, Paris.
- Monestier J., 1934. Ammonites du Domérien de la région sud-est de l'Aveyron et de quelques régions de la Lozère à l'exclusion des Amaithéidés. Ibid, N. S., Mém. N 23, vol. X, fasc. 3, Paris.
- Neumayr M., 1871. Die Phylloceraten des Dogger und Malm. Jurastudien 3. Jb. K. K. geol. Reichsanstalt, Bd. 21, Hft. 3, Wien.
- Neumayr M. und Uhlig V., 1892. Über die von H. Abich im Kaukasus gesammelten Jurafossilien. Denkschrift der Mat.-Nat. Kl. K. Akad. Wiss., Bd. LIX, Wien.
- Oppel A., 1853. Der mittlere Lias Schwabens. Jahresh. d. Vereins f. vaterl. Naturk. in Würtemberg, X Jahrg., Stuttgart.
- Oppel A., 1856—1858. Die Juraformation Englands, Frankreichs und des südwestlichen Deutschlands. Würtemberg, Naturwiss. Jahresheft, Bd. XII—XIV, Stuttgart.
- Orbigny A. d' 1842—1849. Paléontologie française. Terrains jurassiques. Vol. I, Céphalopodes, Paris.
- Otkun G., 1942. Étude paléontologique de quelques gisements du lias d'Anatolie. Publ. de l'Inst. d'Étud. et de Rech. Minières de Turquie, Ankara.
- Pusch G., 1837. Polens Paläontologie, Stuttgart.
- Renz C., 1906. Ueber die mesozoische Formations-gruppe der südwestlichen Balkanhalbinsel. Neues Jb. f. M., G. u P., Bd. XXI, Stuttgart.
- Rosenberg P., 1909. Die Liatische Cephalopodenfauna der Kratzalpe im Hagengebirge. Beitr. z. Pal. und Geol. Österr.-Ung. und des Orients, Bd. XXII, Wien.
- Quenstedt F., 1849. Petrefactenkunde Deutschlands. Bd. I, Cephalopoden, Tübingen.
- Quenstedt F., 1858. Der Jura, Tübingen.
- Quenstedt F., 1883—1886. Die Ammoniten des schwäbischen Jura. Bd. I, Der Schwarze Jura. Bd. II, Der Braune Jura, Stuttgart.
- Schmidt E., 1925—1926. Zur Stratigraphie und Faunenkunde des Doggersandsteins im nördlichen Frankenjura. Palaeontogr., Bd. LXVII, LXVIII, Stuttgart.
- Schneider N., 1927. Étude stratigraphique et paléontologique de l'Aalenien de Gundershoffen (Bas-Rhin). Mém. du Service de la Carte géol. d'Alsace et de Lorraine, N 3, Strassbourg.
- Schröder J., 1927. Die Ammoniten der Jurassischen Fleckenmergel in den Bayrischen Alpen. Palaeontogr., Bd. LXIX, Stuttgart.
- Vaček M., 1886. Ueber die Fauna der Oolithe von Cap San Vigilio, verbunden mit einer Studie über die obere Liasgrenze. Abh. K. K. geol. Reichsanstalt, Bd. XII, Wien.
- Werner E., 1912. Über die Belemniten des schwäbischen Lias und die mit ihnen verwandten Formen des Brauen Jura. Palaeontogr., Bd. LIX, Stuttgart.
- Wright T., 1878—1884. A Monograph on the Lias Ammonites of the British Islands. Palaeontogr. Soc., London.
- Zieten C., 1830. Die Versteinerungen Württembergs, Stuttgart.
- Zittel K., 1869. Bemerkungen über Phylloceras taticum Pusch und einige anderen Phylloceras Arten. Jb. K. K. geol. Reichsanstalt, Bd. XIX, Wien.

ТАБЛИЦА I

ПАЛЕОНОТОЛОГИЧЕСКИЕ ТАБЛИЦЫ

ТАБЛИЦА I

- | | | |
|---------|----------------------------------------------------------------------------------------------------------------------------------------|----|
| 1а, 1б. | <i>Juraphyllites planispira</i> (Р е у н.). Ущелье р. Дзирулы (с. Шроша), карикс. Обр. 164/70. | 52 |
| 2. | <i>Juraphyllites libertus</i> (Г е м м.). Ущелье р. Квирилы (с. Мартотубани), домер. Обр. 165/70. | 53 |
| 3а, 3б. | <i>Phylloceras hebertinum</i> (Р е у н.). Ущелье р. Квирилы (с. Мартотубани), домер. Обр. 167/70. | 55 |
| 4. | <i>Phylloceras perzetes</i> М о н е с т. Ущелье р. Дзирулы (с. Шроша), домер. Обр. 173/70. | 56 |
| 5а, 5б. | <i>Phylloceras bonarelli</i> В ет т. Ущелье р. Квирилы (с. Мартотубани), домер. Обр. 174/70. | 57 |
| 6. | <i>Calliphylloceras nilssoni</i> (Н е б.). Ущелье р. Квирилы (с. Мартотубани), верхний тоар. Обр. 180/70. | 58 |
| 7. | <i>Calliphylloceras dzirulensis</i> (Д ж а н.). Ущелье р. Квирилы (с. Мартотубани), верхний тоар. Обр. 198/70 (уменьшение в 2.5 раза). | 60 |

стр.



ТАБЛИЦА II

ТАБЛИЦА II

- 1а, 1б. *Calliphylloceras emeryi* (B e t t.). Ущелье р. Квирилы (с. Мартотубани), домер. Обр. 211/70. стр. 61
 2. *Calliphylloceras aveugonense* (М е п.). Ущелье р. Квирилы (с. Мартотубани), верхний тоар. Обр. 207/70. 62
 3а, 3б. *Calliphylloceras thevenini* (М о п е с т). Ущелье р. Квирилы (с. Мартотубани), верхний тоар. Обр. 214/70. 63
 4а, 4б. *Tatrophylloceras taticum* (Р у с с ч). Ущелье р. Квирилы (с. Мартотубани), нижний аален. Обр. 215/70. 64

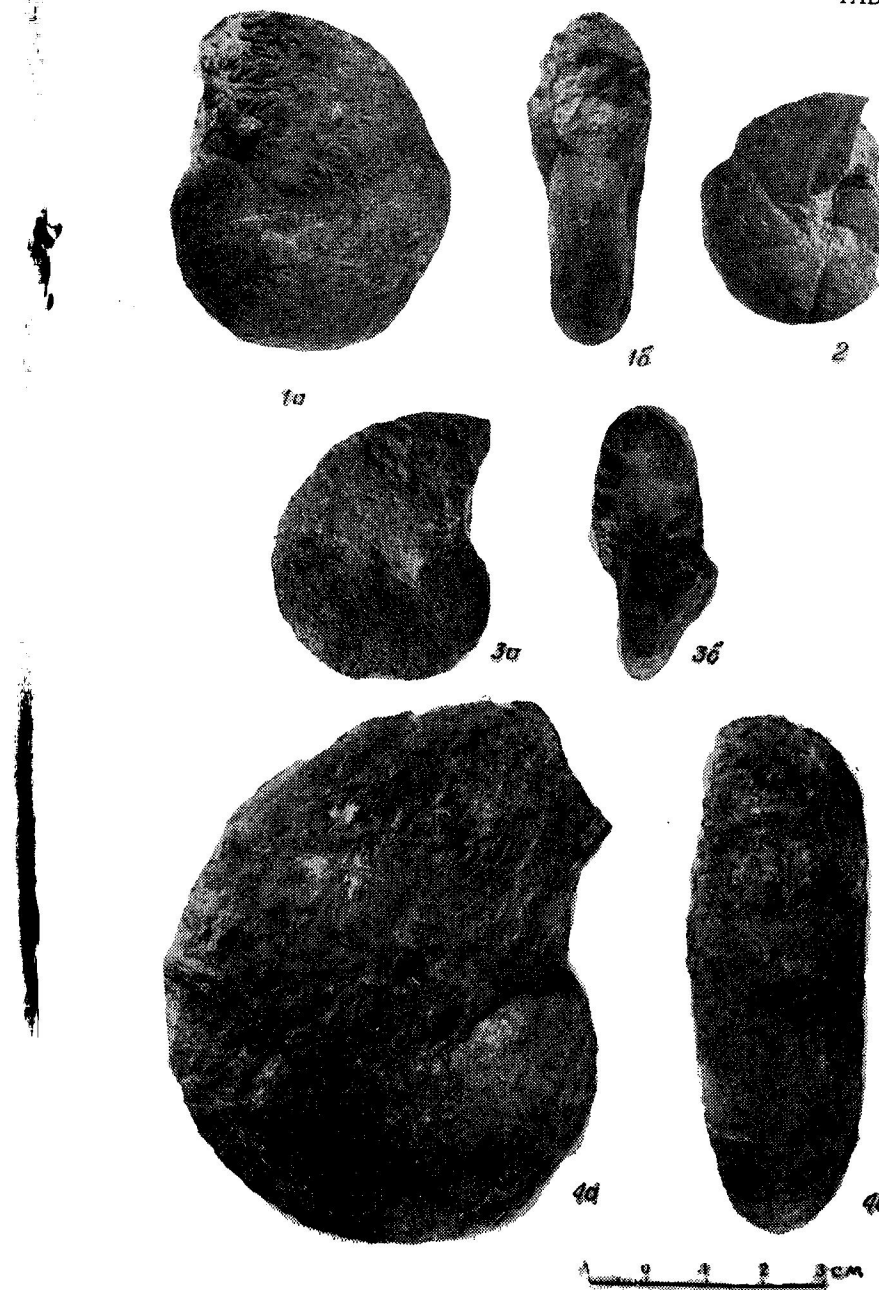


ТАБЛИЦА III

ТАБЛИЦА III

- | | |
|----------------------------------------------------------------------------------------------------------------------|---------|
| 1. <i>Lytoceras gauthieri</i> (Р е у п.). Ущелье р. Лопаницкали (с. Гвиргвина), дамер. Обр. 220/70. | стр. 65 |
| 2. <i>Lytoceras rasile</i> V а č. Ущелье р. Квирилы (ст. Салиети), нижний аален. Обр. 221/70. | 66 |
| 3. <i>Lytoceras aff. sepositum</i> М е п. Ущелье р. Квирилы (с. Мартотубани), верхний тоар. Обр. 223/70. | 67 |
| 4а, 4б. <i>Lytoceras vačeki</i> T h o p t c h. Ущелье р. Квирилы (сс. Сагвине—Санахшире), нижний аален. Обр. 225/70. | 68 |
| 5а, 5б. <i>Lytoceras kvirilaensis</i> T h o p t c h. Ущелье р. Квирилы (с. Мартотубани), верхний тоар. Обр. 231/70. | 68 |



ТАБЛИЦА IV

ТАБЛИЦА IV

- | | |
|---------------------------------------------------------------------------------------------------------------------------------------------------------------------------------------------------------------------------------------------------------------------------------------------------------------------------------------------------------------------------------------------------------------------------------------------------------------------------------------------------------|------------------------------------|
| 1a, 1б. <i>Thysanoceras cornucopiae guilhomardensis</i> (Monest.). Ущелье р. Квирилы (сс. Сагвина — Санахшире), средний тоар. Обр. 236/70.
2. <i>Argioceras ceratitoides mexicanum</i> Eg b. Ущелье р. Квирилы, нижний синемюр. Обр. 238/70.
3. <i>Vermiceras</i> sp. Ущелье р. Квирилы, нижний синемюр. Обр 239/70.
4, 5. <i>Polymorphites</i> sp. i p d. Ущелье р. Нарулы, карикс. 4—обр. 243/70; 5—обр. 246/70.
6. <i>Acanthopleuroceras</i> sp. Ущелье р. Квирилы, карикс. Обр. 249/70. | стр.
70
71
72
74
75 |
|---------------------------------------------------------------------------------------------------------------------------------------------------------------------------------------------------------------------------------------------------------------------------------------------------------------------------------------------------------------------------------------------------------------------------------------------------------------------------------------------------------|------------------------------------|



ТАБЛИЦА V

ТАБЛИЦА V

- | | | |
|---------|-----------------------------------------------------------------------------------------------------------------|---------|
| 1а, 1б. | <i>Coeloceras raquinianum</i> (d' Oг b.). Ущелье р. Квирилы (с. Мартотубани), средний тоар. Обр. 250/70. | стр. 76 |
| 2а, 2б. | <i>Peropoceras subarmatum</i> (Y. et B.). Ущелье р. Квирилы (с. Мартотубани), средний тоар. Обр. 252/70. | 77 |
| 3. | <i>Peropoceras subarmatum</i> (Y. et B.). Ущелье р. Квирилы (сс. Сагвина—Санахшире), средний тоар. Обр. 253/70. | 77 |
| 4. | <i>Amaltheus margaritatus</i> Montf. С. Джвари, домер. Обр. 271/70. | 79 |
| 5а, 5б. | <i>Amaltheus subnodosus</i> (Y. et B.). Ущелье р. Нарулы, домер. Обр. 286/70. | 81 |
| 6. | <i>Amaltheus subnodosus howarthi</i> Steph. Ущелье р. Нарулы, домер. Обр. 295/70. | 82 |
| 7а, 7б. | <i>Hildoceras bifrons</i> (B г и g.). Ущелье р. Квирилы (с. Мартотубани), средний тоар. Обр. 297/70. | 83 |
| 8а, 8б. | <i>Nargoceras falcifer</i> (S o w.). Ущелье р. Квирилы (с. Мартотубани), нижний тоар. Обр. 300/70. | 85 |



ТАБЛИЦА VI

1, 2. <i>Nagioceras isseli</i> (F u c.). Ущелье р. Квирилы (с. Мартотубани), домер. 1—обр. 303/70; 2—обр. 302/70.	стр. 86
3. <i>Polyplectus</i> cf. <i>discoides</i> (Z i e t.). Ущелье р. Квирилы (с. Мартотубани), верхний тоар. Обр. 306/70.	88
4. <i>Polyplectus</i> cf. <i>subplanatus</i> (O r p.). Ущелье р. Квирилы (с. Мартотубани), верхний тоар. Обр. 307/70.	89
5а, 5б. <i>Grammoceras thouarsense</i> (d' O g b.). Ущелье р. Квирилы (с. Мартотубани), верхний тоар. Обр. 309/70.	91
6. <i>Grammoceras quadratum</i> (H а u g.). Ущелье р. Квирилы (с. Мартотубани), верхний тоар. Обр. 319/70.	93
7. <i>Grammoceras saetmanni</i> (D u m.). Ущелье р. Квирилы (с. Мартотубани), верхний тоар. Обр. 302/70.	94
8. <i>Pseudogrammoceras</i> cf. <i>bingmanni</i> (D e n s k.). Ущелье р. Квирилы (с. Мартотубани), верхний тоар. Обр. 324/70.	96
9. <i>Pseudolioceras lythense</i> (Y. et B.). С. Джвари, верхний тоар. Обр. 325/70.	97
10. <i>Leioceras</i> cf. <i>costosum</i> (Q u e n s t.). Ущелье р. Кацхуры (с. Кацхи), нижний аален. Обр. 326/70.	98

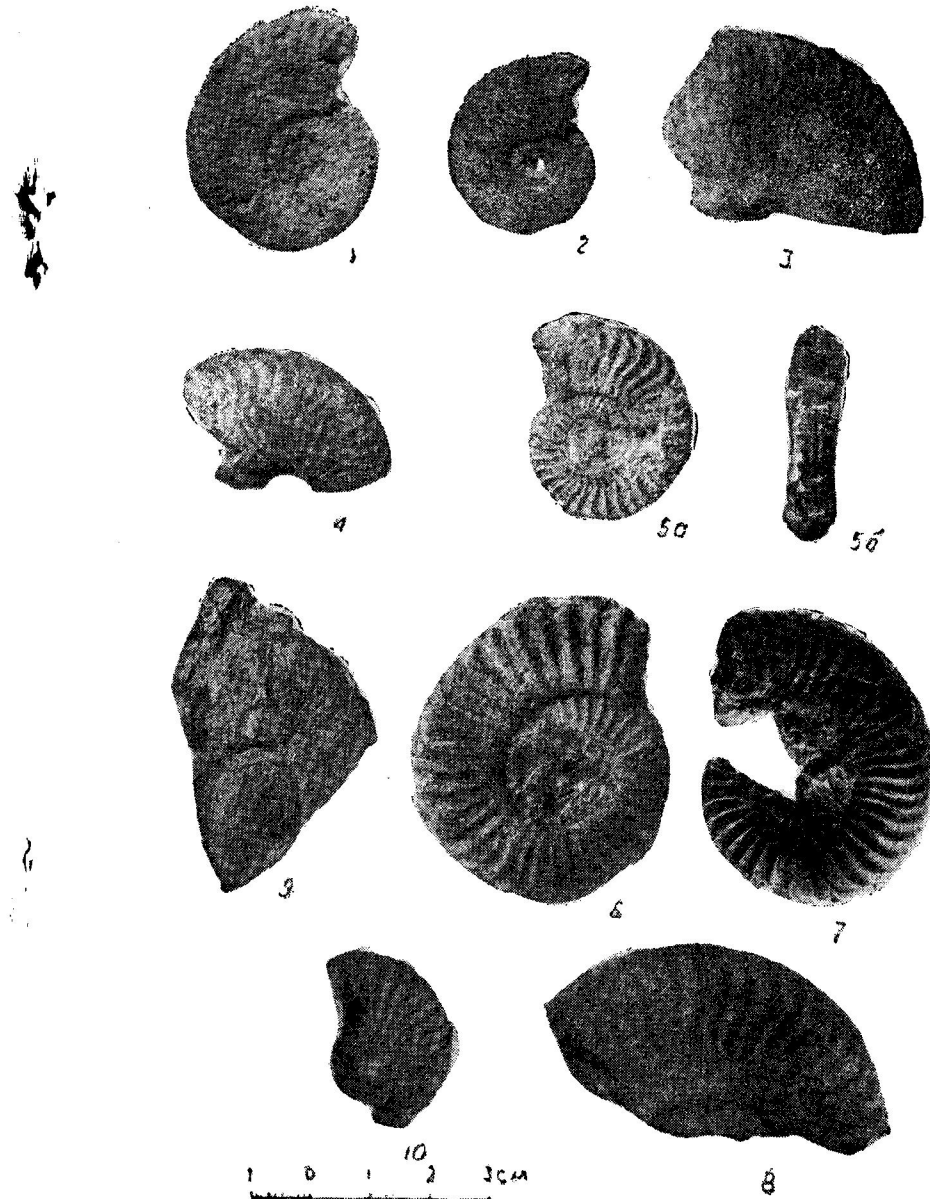


ТАБЛИЦА VII

ТАБЛИЦА VII

- | | |
|---------------------------------------------------------------------------------------------------------------------------------------|------------|
| 1. <i>Hammatoceras</i> cf. <i>tenuinsigne</i> Vаč. Ущелье р. Кацхуры (с. Кацхи), нижний аален. Обр. 330/70. | стр.
99 |
| 2a, 2б. <i>Hammatoceras</i> (<i>Eugycites</i>) <i>fallax</i> (Веп.). Ущелье р. Квирилы (с. Мартотубани), нижний аален. Обр. 331/70. | 100 |
| 3a, 3б. <i>Phymatoceras</i> <i>comense evoluta</i> (Repz). Ущелье р. Квирилы (с. Мартотубани), средний тоар. Обр. 332/70. | 102 |
| 4. <i>Phymatoceras</i> cf. <i>tiroicense</i> (Haege). Ущелье р. Квирилы (с. Мартотубани), средний тоар. Обр. 333/70. | 103 |

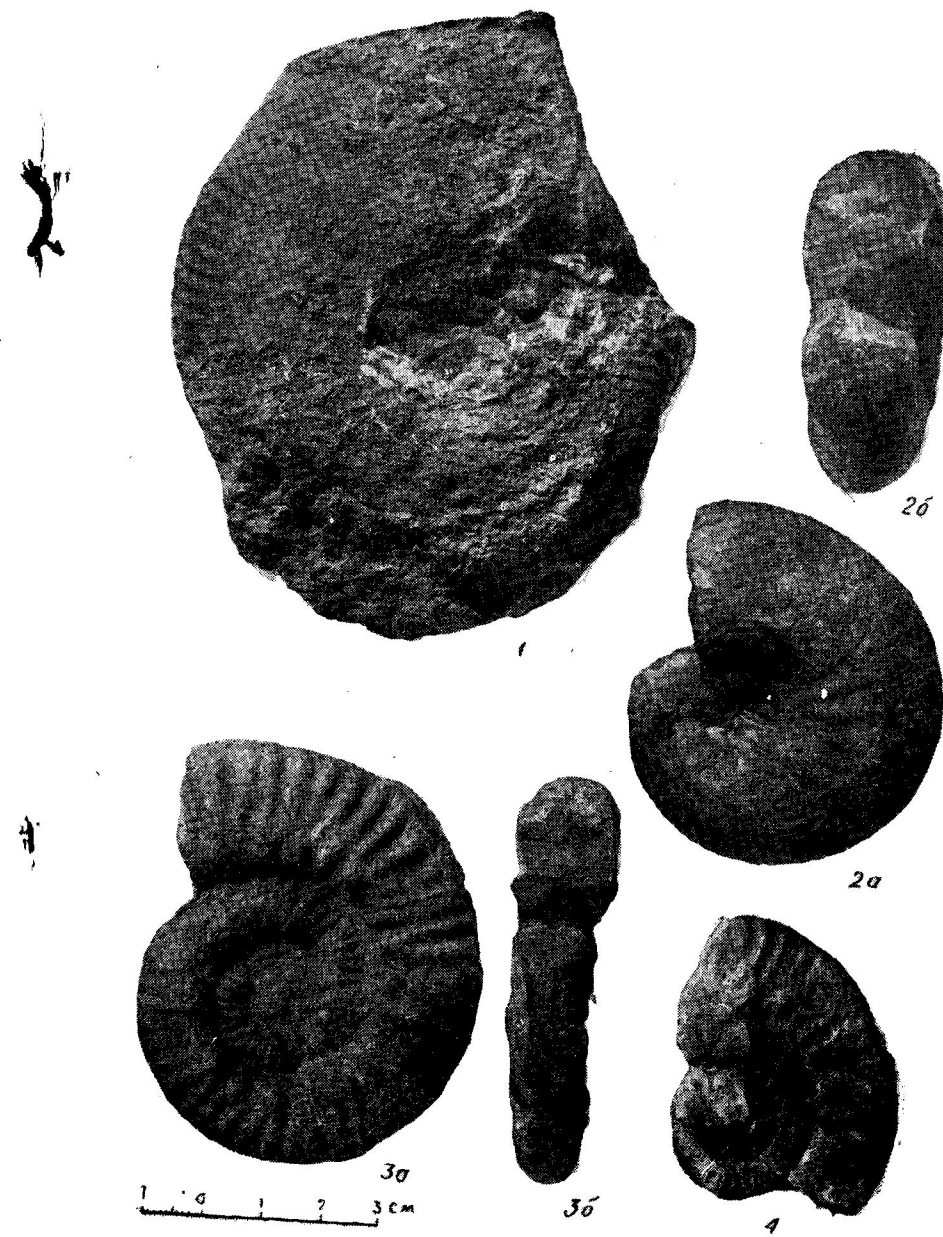


ТАБЛИЦА VIII

ТАБЛИЦА VIII

- | | | | |
|------------------------------------------------------|------------------------------------------------------|--------------------------------------------------------|------|
| 1, 2. <i>Praehaploceras zwieselei</i> Monest. | Ущелье р. Квирилы
(с. Мартотубани), средний тоар. | 1—обр. 338/70; 2—обр. 337/70. | стр. |
| 3а, 3б. <i>Passaloteuthis apicicurvata</i> (Bain). | Ущелье р. Даиралы
(с. Шроша), домер. | Обр. 344/70. а — с брюшной стороны; б — с боковой. | 105 |
| 4а, 4б. <i>Homaloteuthis subbreviformis</i> (Liss.). | Ущелье р. Чхриалетисгеле,
нижний аален. | Обр. 346/70. а — с брюшной
стороной; б — с боковой. | 106 |
| 5. <i>Mesoteuthis tripartita</i> (Schloth.). | Ущелье р. Квирилы
(с. Мартотубани), верхний тоар. | Обр. 347/70. | 107 |
| 6а, 6б. <i>Mesoteuthis sulcata</i> (Quenst.). | Ущелье р. Чхриалетисгеле,
тоар. | Обр. 349/70. а — с брюшной стороны; б — с боковой. | 108 |
| | | | 109 |



ОГЛАВЛЕНИЕ

Введение	5
Стратиграфия	6
Описание разрезов	6
Юго-западная и южная периферии	8
Восточная и северо-восточная периферии	22
Северная периферия	29
Обзор отложений по ярусам	33
Геттанский ярус	33
Синемюрский ярус	34
Плинсбахский ярус	36
Тоарский ярус	40
Ааленский ярус	43
Палеогеография Дзириульского массива в раннеюрское время	45
Описание фауны (головоногие)	52
Литература	111
Палеонтологические таблицы	116

Мириан Владимирович Топчишвили

СТРАТИГРАФИЯ И ФАУНА НИЖНЕЮРСКИХ ОТЛОЖЕНИЙ ДЗИРИЛЬСКОГО МАССИВА

Напечатано по постановлению Редакционно-Издательского Совета
Академии наук Грузинской ССР

*

Редактор издательства Т. П. Бокучава

Художник Г. А. Надирадзе

Техредактор Э. Б. Бокерия

Корректор Н. И. Бакрадзе

Сдано в набор 28.2.1969; Подписано к печати 3.10.1969;
Формат бумаги 60×90¹/₁₆; Печатных л. 9.0; Уч.-Издат. л. 7.64;
УЭ 01347; Тираж 500; Заказ 755;
Цена 64 коп.

გამომცემლობა „მეცნიერება“, თბილისი, 60, კუტუზოვის ქ., 15
Издательство «Мецниереба». Тбилиси 60, ул. Кутузова, 15

გამომცემლობა „მეცნიერება“ სტამბა, თბილისი, 60, კუტუზოვის ქ., 15
Типография Издательства «Мецниереба», Тбилиси, 60, ул. Кутузова, 15